

อินเวอร์เตอร์สามเฟส แบบ SV PWM  
SPACE VECTOR OF INVERTER 3 PHASE

โดย

นาย จรินทร์ พูลพจน์

นาย วิโรจน์ อ่อนคง

นาย อนันตพงศ์ ทิมใจดี

นาย นิกรณ์ จุสิงห์



อาจารย์ที่ปรึกษา

รศ.ประภาส ไพโรสุวรรณ

ปริญญาบัตรนี้เป็นส่วนหนึ่งของการศึกษาตามหลักสูตรปริญญาวิศวกรรมศาสตรบัณฑิต

ภาควิชาวิศวกรรมไฟฟ้า

คณะวิศวกรรมศาสตร์

สถาบันเทคโนโลยีพระจอมเกล้าเจ้าคุณทหารลาดกระบัง

ปีการศึกษา 2546

เอกสารนี้เป็นเอกสารที่สงวนไว้สำหรับการใช้งานเพื่อการศึกษาเท่านั้น ไม่อนุญาตให้นำไปใช้ประโยชน์ด้านการค้า  
ไม่ว่าจะโดยทางใดทั้งสิ้น หากมีข้อผิดพลาดให้ติดต่อแจ้งผู้พิมพ์ให้ตัดแปลงเนื้อหา และต้องอ้างอิงถึงเจ้าของเอกสารทุกครั้งที่มีการนำไปใช้

เลขหมู่.....

เลขทะเบียน.....55585

วัน,เดือน,ปี 20 พ.ค. 2548

b.....  
i.....

ปริญญานิพนธ์ปีการศึกษา 2546

ภาควิชา วิศวกรรมไฟฟ้า

คณะวิศวกรรมศาสตร์ สถาบันเทคโนโลยีพระจอมเกล้าเจ้าคุณทหารลาดกระบัง

เรื่อง อินเวอร์เตอร์สามเฟส แบบ SPACE VECTOR

ผู้จัดทำ

- |                  |           |          |
|------------------|-----------|----------|
| 1. นาย จรินทร์   | พูลพันธ์  | 44015098 |
| 2. นาย วิโรจน์   | อ่อนคง    | 44015125 |
| 3. นาย อนันตพงศ์ | พิมพ์ใจดี | 44015136 |
| 4. นาย นิกรณ     | สูงสิงห์  | 44015154 |



(รศ.ประภาย ไพรสุวรรณ)

อาจารย์ที่ปรึกษา

เอกสารนี้เป็นเอกสารที่สงวนไว้สำหรับการใช้งานเพื่อการศึกษาเท่านั้น ไม่อนุญาตให้นำไปใช้ประโยชน์ด้านการค้า  
ไม่ว่ากรณีใดๆ ทั้งสิ้น อีกทั้งห้ามมิให้ตัดแปลงเนื้อหา และต้องอ้างอิงถึงเจ้าของเอกสารทุกครั้งที่มีการนำไปใช้

## อินเวอร์เตอร์ 3 เฟส แบบ SPACE VECTOR

นาย จรินทร์ พูลพจน์

นาย วิโรจน์ อ่อนคง

นาย อนันตพงษ์ พิมใจดี

นาย นิกรณัฏ์ จูสิงห์

รศ.ประภาส ไพรสุวรรณ

ปีการศึกษา 2546

## บทคัดย่อ

รายงานฉบับนี้ได้นำเสนอวิธีการออกแบบและสร้างสัญญาณพัลส์สวิตมอดดูเลชันด้วยการใช้ ไมโครคอนโทรลเลอร์ขนาด 16 บิตซึ่งมีความละเอียดของข้อมูล และความเร็วในการทำงานสูงกว่าไมโครคอนโทรลเลอร์ขนาด 8 บิตโดยการใช้หลักการของโวลต์เดจเวกเตอร์ และใช้ IGBT เป็นอุปกรณ์ในการสวิตซ์ ซึ่งสามารถสวิตซ์ได้ด้วยความถี่สูง ซึ่งในการทดลองครั้งนี้ใช้ความถี่ในการสวิตซ์ที่ 10khz เป็นความถี่ที่สูงพอที่จะทำให้สัญญาณขาอินพุตที่มีความถี่ต่ำและส่ายงาม และยังอยู่ในขอบเขตความสามารถของ IGBT และใช้ขั้วมอเตอร์ขนาด 1 แรงม้า 380 โวลท์ 50 Hz จากผลการทดลองแสดงให้เห็นว่าทฤษฎีของโวลต์เดจสเปกเตอร์สามารถประยุกต์งานจริงได้

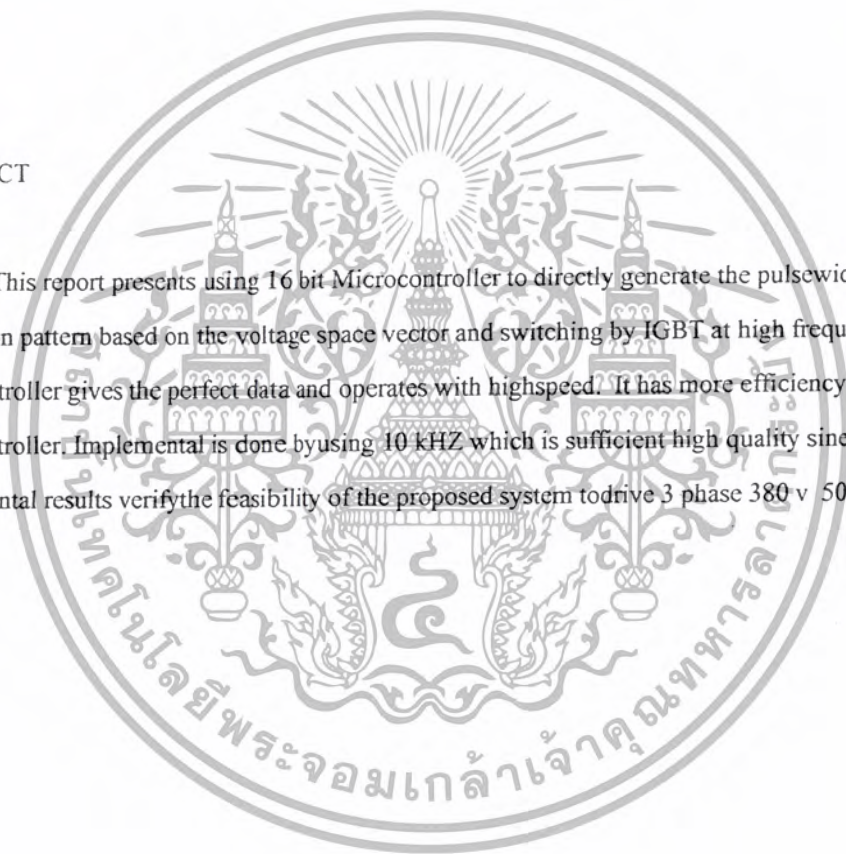


## SPACE VECTOR OF INVERTER THREE PHASE

JARIN	POOLPANANG
WIROTE	ONKONG
ANANTAPONG	PIMJAIDEE
NIKORN	JUSING
Assoc.prof.PRAPAS	PRASUWANNA ADVISOR

### ABSTRACT

This report presents using 16 bit Microcontroller to directly generate the pulsewidth modulation pattern based on the voltage space vector and switching by IGBT at high frequency. The Microcontroller gives the perfect data and operates with highspeed. It has more efficiency than 8 bit Microcontroller. Implemental is done by using 10 kHz which is sufficient high quality sine wave. Experimental results verify the feasibility of the proposed system to drive 3 phase 380 v 50Hz motor



### กิตติกรรมประกาศ

วิทยานิพนธ์ฉบับนี้คงไม่อาจเสร็จได้ด้วยดี หากไม่ได้รับความช่วยเหลือ และร่วมมือจากหลาย ๆ ฝ่ายด้วยกัน บุคคลแรกที่ต้องกล่าวถึงเพราะเป็นส่วนสำคัญที่ทำให้วิทยานิพนธ์นี้เสร็จลงได้ก็คือ อาจารย์ ไพโรสุวรรณาอาจารย์ที่ปรึกษาวิทยานิพนธ์ ที่ให้ความเอาใจใส่ แนะนำ และช่วยเหลือเสมอมา ซึ่งต้องขอขอบพระคุณเป็นอย่างมาก

และต้องขอขอบพระคุณบุคคลสำคัญที่สุดที่ทำให้ข้าพเจ้ามีวันนี้ ก็คือ บิดา มารดา อันเป็นที่เคารพรักยิ่ง ซึ่งได้เลี้ยงดูผู้เขียนมาเป็นอย่างดี พร้อมทั้งให้โอกาสในการศึกษาอย่างเต็มที่ และยังให้กำลังใจเอาใจใส่เสมอมา ในทุก ๆ ด้านอันหาที่เปรียบมิได้ ข้าพเจ้าขอระลึกในพระคุณอันสุดประมาณ และขอกราบขอบพระคุณมา ณ ที่นี้



วิโรจน์      อ่อนคง  
จรินทร์      พูลพจน์  
นิกรณันท์      จุสียงห์  
อนันตพงศ์      พิมใจดี

เอกสารนี้เป็นเอกสารที่สงวนไว้สำหรับการใช้งานเพื่อการศึกษาเท่านั้น ไม่อนุญาตให้นำไปใช้ประโยชน์ด้านการค้า  
ไม่ว่ากรณีใดๆ ทั้งสิ้น อีกทั้งห้ามมิให้ตัดแปลงเนื้อหา และต้องอ้างอิงถึงเจ้าของเอกสารทุกครั้งที่มีการนำไปใช้

## สารบัญ

หน้าที่

บทคัดย่อภาษาไทย	I
บทคัดย่อภาษาอังกฤษ	II
กิตติกรรมประกาศ	III
สารบัญ	IV
สารบัญภาพ	VI
บทที่ 1 บทนำ	1
1.1 ลวามเบื้องต้น	1
1.2 การควบคุมมอเตอร์กระแสสลับแบบเหนี่ยวนำ	1
1.2.1 การควบคุมแบบวงรอบเปิด	2
1.2.2 การควบคุมแบบเวกเตอร์	3
1.3 วัตถุประสงค์	3
บทที่ 2 ทฤษฎีการควบคุมมอเตอร์เหนี่ยวนำแบบเวกเตอร์	4
2.1 ทฤษฎีเบื้องต้น	4
2.2 หลักการควบคุมแบบ v/f	6
2.3 แรงบิด ( Torque )	8
2.4 สเปซเวกเตอร์ของแรงดัน ( Voltage space vector )	9
2.4.1 หลักการทำฟิลล์วิดมอดูเลชั่น แบบเวกเตอร์แรงดัน	11
2.4.2 หลักการเลือกเซกเตอร์	12
2.5 การควบคุมแบบฟิลด์ โอเรียนท์ ( field orientate control )	13
2.5.1 การไครฟ์แบบเอชซี ( classic ac drive )	14
2.5.2 การควบคุมแบบฟิลด์ โอเรียนท์ ( field orientate control )	14
2.5.3 การควบคุมแบบ PI	20
2.6 การแปลงแบบคลาร์ค และปาร์คใน FOC	21
2.6.1 โดยทั่วไป	21
2.6.2 การแปลงแบบคลาร์คและปาร์คใน FOC (clarke and park transforms in the field orientated control )	21
2.6.3 เงื่อนไขทางคณิตศาสตร์ (mathematical consideration)	22
2.6.4 เครื่องมือที่ใช้ในปาร์ค และคลาร์คบน c2xx	22

เอกสารนี้เป็นเอกสารที่สงวนไว้สำหรับการใช้งานเพื่อการศึกษาเท่านั้น ไม่อนุญาตให้นำไปใช้ประโยชน์ด้านการค้า  
ไม่ว่ากรณีใดๆ ทั้งสิ้น อีกทั้งห้ามมิให้ตัดแปลงเนื้อหา และต้องอ้างอิงถึงเจ้าของเอกสารทุกครั้งที่มีการนำไปใช้

บทที่ 3 วงจรส่วนกำลัง	23
3.1 ไอจีบีทีและการป้องกัน	25
3.2 การทำงานของภาค อินเวอร์เตอร์	27
3.3 การทำงานภาค คอนเวอร์เตอร์	31
3.4 การสร้างและคำนวณ	33
บทที่ 4 การประมวลผลสัญญาณดิจิทัล(Digital Signal Processing)	38
4.1 สถาปัตยกรรมของ DSP Controller เบอร์ TMS320LF2406	38
4.2 ภาคประมวลผล กลางของ TMS320LF2406	39
4.3 ฟังก์ชันบล็อกไดอะแกรม (Function Block Diagram )	40
4.4 ลักษณะฮาร์ดแวร์ภายใน	41
4.5 การจัดผังหน่วยความจำ(Memory)	42
4.6 การจัดผังหน่วยความจำอุปกรณ์รอบข้าง (Peripheral Memory Map)	43
4.7 หน่วยความประมวลผล(Central Processing Unit)	44
4.8 หน่วยคณิตศาสตร์รีจิสเตอร์ช่วย(Auxiliary Register Arithmetic Unit ARAU)	45
4.9 ชุดคำสั่งของ TMS320LF240	46
4.10 คุณสมบัติเด่นของ TMS320LF2406 ในการประยุกต์ใช้งาน	55
บทที่ 5 การทดลองและผลการทดลอง	57
บทที่ 6 บทสรุปโครงการ อินเวอร์เตอร์	65
6.1 ข้อดีของอินเวอร์เตอร์นี้	65
6.2 ปัญหาในการทำโครงงานนี้	65
6.3 สิ่งที่ต้องพัฒนาต่อไปสำหรับโครงงานนี้	65
6.4 ปัญหาจากผลของการผิดเพี้ยน( distortion )ของกราฟกระแสที่ความถี่ต่ำ	66
ภาคผนวก ก ข้อมูลของ โมดูลชุดขับเคลื่อนและชุดกำลัง	
ภาคผนวก ข โปรแกรมรวม	
เอกสารอ้างอิง	

## สารบัญภาพ

	หน้าที่
รูป 1.1 การควบคุมแบบ v/f	1
รูป 2.1 เวกเตอร์ A,B,C	4
รูป 2.2 เวกเตอร์แรงดันอินเวอร์เตอร์	5
รูป 2.3 เวกเตอร์แรงดันที่ขาของอินเวอร์เตอร์	6
รูป 2.4 แสดงความสัมพันธ์ของแรงดันกับความถี่	7
รูป 2.5 การสวิตช์ของเวกเตอร์	9
รูป 2.6 การทำงานย่านแรงบิดคงที่	9
รูป 2.8 ส่วนประกอบของเวกเตอร์แรงดัน	11
รูป 2.9 เวกเตอร์แรงดันบนแกนอ้างอิงสเตเตอร์ (d,q)	12
รูป 2.10 แผนผังเวลารูปแบบการสวิตช์	12
รูป 2.11 เวกเตอร์แรงดันบนแกนอ้างอิง d-q และแกนอ้างอิง a-b รูปที่ 2	13
รูป 2.12 แผนภาพวิธีการหาเซกเตอร์ของเวกเตอร์แรงดัน	15
รูป 2.13 กระแสสเปซเวกเตอร์ของสเตเตอร์และ องค์ประกอบ (a,b,c)	16
รูป 2.14 กระแสสเปซเวกเตอร์ของสเตเตอร์ และองค์ประกอบ (a,b)	17
รูป 2.15 กระแสสเปซเวกเตอร์ของสเตเตอร์ และองค์ประกอบ (a,b) และในแกนหมุน d,q อ้างอิง	18
รูป 2.16 schematic พื้นฐานของ foc สำหรับมอเตอร์กระแสสลับ	19
รูป 2.17 กระแส แรงดัน และ โรเตอร์ฟลักซ์สเปซเวกเตอร์ในแกนหมุนอ้างอิง d,q และความสัมพันธ์กับ a,b,c และแกนคงที่อ้างอิง a,b	19
รูป 2.18 โครงสร้างของ PI เรกิวเรเตอร์	20
รูป 2.19 กระแสสเตเตอร์ในแกนหมุน d,q อ้างอิงและความสัมพันธ์กับแกนอ้างอิง a,b และ c	23
รูป 3.1 โครงสร้างของอินเวอร์เตอร์	24
รูป 3.2 การควบคุมคลื่นแรงดัน	25
รูป 3.3 ดิคัปปลิ่งคาปาซิเตอร์	26
รูป 3.4 วิธีการสร้าง ไฟสลับ	28
รูป 3.5 รูปคลื่นกระแส	28
รูป 3.6 การสร้างไฟสลับ 3 เฟส	29
รูป 3.7 วงจรอินเวอร์เตอร์สามเฟสพื้นฐาน	30
รูป 3.8 อินเวอร์เตอร์ที่ใช้ทรานซิสเตอร์	31
รูป 3.9 วงจรภายในของคอนเวอร์เตอร์	32

เอกสารนี้เป็นเอกสารที่สงวนไว้สำหรับการใช้งานเพื่อการศึกษาเท่านั้น ไม่อนุญาตให้นำไปใช้ประโยชน์ด้านการค้า  
ไม่ว่ากรณีใดๆ ทั้งสิ้น อีกทั้งห้ามมิให้ดัดแปลงเนื้อหา และต้องอ้างอิงถึงเจ้าของเอกสารทุกครั้งที่มีการนำไปใช้

รูป 3.10	หลักการการทำงานของคอนเวอร์เตอร์ ซึ่งแปลงไฟสลับเฟสเดียวเป็นไฟตรง	32
รูป 3.11	วงจรจำกัดขนาดกระแสอินรัช	33
รูป 3.12	กระแสอินรัช	33
รูป 3.13	แสดงไฟเลี้ยงแยกกราวด์ของชุดขับ ไอจีบีที	34
รูป 3.14	แสดงไฟเลี้ยงของวงจรตรวจจับกระแส	35
รูป 3.15	รูปวงจรตรวจจับกระแส	35
รูป 3.16	วงจรการแปลงไฟฟ้ากระแสสลับเป็นไฟดีซีก่อนเข้า ไอจีบีที	36
รูป 3.17	วงจรการยกกระชับสัญญาณก่อนเข้าวงจรขับ ไอจีบีที	37
รูป 4.1	บล็อกไดอะแกรมของ 240 dsp cpu	40
รูป 4.2	การจัดหน่วยความจำ (Memory Map)	43
รูป 4.3	การจัดหน่วยความจำอุปกรณ์รอบข้าง (Peripheral Memory Map)	44
รูป 5.1	ค่าการประวิงเวลาของสัญญาณ pwm	56
รูป 5.2	รูปคลื่นของสัญญาณ pwm ที่ออกมาจากตัวประมวลผลที่ความถี่ 25 เฮิร์ต	57
รูป 5.3	รูปคลื่นของสัญญาณ pwm ที่ออกมาจากตัวประมวลผลที่ความถี่ 50 เฮิร์ต	57
รูป 5.4	รูปคลื่นของสัญญาณ pwm ที่ออกมาจากตัวประมวลผลที่ความถี่ 75 เฮิร์ต	58
รูป 5.5	รูปคลื่นของสัญญาณ กระแสที่จ่ายให้กับมอเตอร์ที่ความถี่ 25 เฮิร์ต	58
รูป 5.6	รูปคลื่นของสัญญาณ กระแสที่จ่ายให้กับมอเตอร์ที่ความถี่ 50 เฮิร์ต	59
รูป 5.7	รูปคลื่นของสัญญาณ กระแสที่จ่ายให้กับมอเตอร์ที่ความถี่ 75 เฮิร์ต	59
รูป 6.1 a	รูปกราฟสัญญาณพัลส์วิดิมอดูเลต	67
รูป 6.1 b	สัญญาณลอจิก สำหรับ T1	67
รูป 6.1 c	สัญญาณลอจิก สำหรับ T2	67
รูป 6.1 d	รูปกราฟแรงดันเอาต์พุตจริง	67
รูป 6.2	รูปกราฟการชดเชยแรงดันของสัญญาณพัลส์วิดิมอดูเลชันช่วงสภาวะที่ 1 ( $\alpha < 0$ )	68
รูป 6.3	ช่วงสลับการทำงานของทรานซิสเตอร์และไดโอดสภาวะที่ 1	69
รูป 6.4	ช่วงสลับการทำงานของทรานซิสเตอร์และไดโอดสภาวะที่ 2	69
รูป 6.5	โครงสร้างของอินเวคเตอร์ก่อนทำการคอมเพนเสท	70
รูป 6.6	โครงสร้างของอินเวคเตอร์หลังทำการคอมเพนเสท	71

เอกสารนี้เป็นเอกสารที่สงวนไว้สำหรับการใช้งานเพื่อการศึกษาเท่านั้น ไม่อนุญาตให้นำไปใช้ประโยชน์ด้านการค้า  
ไม่ว่ากรณีใดๆ ทั้งสิ้น อีกทั้งห้ามมิให้ตัดแปลงเนื้อหา และต้องอ้างอิงถึงเจ้าของเอกสารทุกครั้งที่มีการนำไปใช้

# บทที่ 1

## บทนำ

### 1.1 ความเบื้องต้น

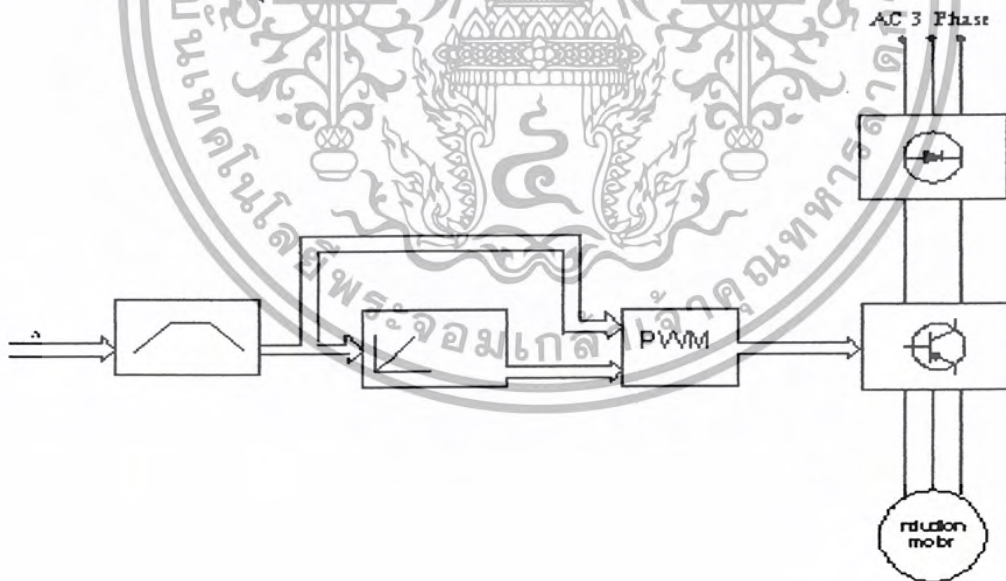
ในอดีตระบบขับเคลื่อนต่างๆ ในอุตสาหกรรมที่ต้องการปรับความเร็วรอบ จะใช้มอเตอร์กระแสตรงเป็นส่วนใหญ่เนื่องจากฟลักซ์และแรงบิดสามารถควบคุมได้ง่าย โดยการควบคุมกระแสสนามและกระแสอาเมเจอร์ ซึ่งทำให้ระบบควบคุมไม่ยุ่งยากซับซ้อนมากนัก แต่อย่างไรก็ตาม เนื่องจากโครงสร้างของมอเตอร์กระแสตรงต้องมีคอมมิวเตเตอร์และแปรงถ่าน ทำให้มีข้อเสียคือ

1. ทำให้ต้องมีการดูแลรักษาอยู่เป็นประจำ
2. ไม่สามารถใช้ในสถานะที่อาจจะเกิดระเบิด หรือในที่ที่มีประกัดคร่อนจากสารเคมีได้
3. มอเตอร์มีราคาสูง

ปัญหาทางด้านโครงสร้างเหล่านี้สามารถทำให้ลดลงได้ ถ้าใช้มอเตอร์กระแสสลับแบบเหนี่ยวนำแทน โดยมีวิธีการควบคุมดังจะกล่าวต่อไป

### 1.2 การควบคุมมอเตอร์กระแสสลับแบบเหนี่ยวนำ

#### 1.2.1 การควบคุมแบบวงรอบเปิด



รูปที่ 1.1 การควบคุมแบบ v/f

เอกสารนี้เป็นเอกสารที่สงวนไว้สำหรับการใช้งานเพื่อการศึกษาเท่านั้น ไม่อนุญาตให้นำไปใช้ประโยชน์ด้านการค้า  
ไม่ว่ากรณีใดๆ ทั้งสิ้น อีกทั้งห้ามมิให้ตัดแปลงเนื้อหา และต้องอ้างอิงถึงเจ้าของเอกสารทุกครั้งที่มีการนำไปใช้

เนื่องจากการควบคุมในอุตสาหกรรมโดยทั่วไปจะเป็นแบบ v/f ดังแสดงในรูปที่ 1.1 ซึ่งจะประสบปัญหาดังต่อไปนี้คือ

1.2.1.1 คุณสมบัติการควบคุมแรงบิดทำได้ไม่ดีพอ

1.2.1.2 ขาดเสถียรภาพที่บางความถี่

1.2.1.3 มีขีดจำกัดในการตอบสนองของความเร็ว

1.2.1.4 ในการควบคุมความเร็วยังไม่เที่ยงตรงดีพอ

แม้ว่าจะมีข้อดีคือง่ายต่อการออกแบบและสร้าง ไม่จำเป็นต้องมีตัวตรวจจับความเร็ว และไม่ต้องการข้อมูลพารามิเตอร์ของมอเตอร์

จากปัญหาของระบบควบคุมแบบ v/f ที่กล่าวมาแล้วข้างต้นจึงมีการพัฒนาการควบคุมแบบเวกเตอร์ซึ่งเป็นการควบคุมแบบวงรอบปิด

1.2.2 การควบคุมแบบเวกเตอร์

การควบคุมแรงบิดในมอเตอร์เหนี่ยวนำนั้นทำได้ โดยการควบคุมกระแสของมอเตอร์โดยอาศัยหลักการควบคุมแบบเวกเตอร์ หรือการควบคุมอิงสนามแม่เหล็ก (vector control of field orient control) ซึ่งจะทำให้คุณลักษณะการควบคุมของมอเตอร์เหนี่ยวนำในกรณีนี้คล้ายคลึงกับการควบคุมมอเตอร์กระแสตรงแบบกระตุ้นแยก อย่างไรก็ตามยังมีข้อแตกต่างคือ ในมอเตอร์กระแสตรงตำแหน่งเชิงมุมของกระแสสนาม และกระแสอาร์เมเจอร์ จะอยู่กับที่ด้วยการทำงานของคอมมิวเตเตอร์และแปรงถ่าน ในขณะที่มอเตอร์กระแสสลับตำแหน่งเชิงมุมของฟลักซ์และกระแสเคลื่อนที่ ต้องการควบคุมจากภายนอกซึ่งการควบคุมแบบเวกเตอร์ จะทำให้แรงบิดและฟลักซ์ในโรเตอร์ถูกควบคุม อย่างมีอิสระต่อกัน โดยจะควบคุมขนาดและมุมเฟสของกระแสทั้ง 3 เฟส หรืออีกนัยหนึ่งเวกเตอร์รวมของกระแสจะถูกควบคุม ซึ่งเป็นที่มาของคำว่า การควบคุมแบบเวกเตอร์

การควบคุมแบบเวกเตอร์แบ่งตามลักษณะการควบคุมได้ 2 แบบ คือ

1.2.2.1 แบบควบคุมกระแส (current control)

1.2.2.2 แบบควบคุมแรงดันหรือการแยกการควบคุมให้มีอิสระต่อกัน (voltage controller decoupling control)

การควบคุมแบบเวกเตอร์โดยการควบคุมกระแส ไม่จำเป็นต้องใช้พารามิเตอร์ทางด้านสเตรเตอร์ ทำให้การควบคุมนั้นลดความยุ่งยากลง การควบคุมนี้โดยทั่วไป จะเป็นการควบคุมแหล่งจ่ายแรงดัน โดยมีกรุป้อนกลับของวงรอบควบคุมกระแสไม่สูงพอที่จะทำให้เกิดการเชื่อมโยงกันระหว่างกระแสที่สร้างฟลักซ์และกระแสที่ทำให้เกิดแรงบิด อีกทั้งยังอ่อนไหวต่อการเปลี่ยนแปลงของพารามิเตอร์ โดยเฉพาะการเปลี่ยนแปลงของค่าความต้านทานของโรเตอร์เนื่องจากความร้อนซึ่งจะทำให้โรเตอร์ฟลักซ์ไม่คงที่ แนวทางแก้ไขทำได้ 2 วิธีคือการเพิ่มอัตราขยายของวงรอบป้อนกลับของกระแสให้มีค่ามากที่สุดเท่าที่จะทำได้ เพื่อที่จะให้ตัวแปลงผันพลังงาน (power converter) จ่ายกระแสได้แบบอุดมคติ ดังนั้นตัวแปลงผันพลังงานจะต้องมีความถี่สวิทช์ที่สูงมาก ซึ่งเป็นขีดจำกัดในการใช้งานในระบบขนาดใหญ่ อีกวิธีหนึ่งคือใช้การควบคุมแบบแรงดัน

เอกสารนี้เป็นเอกสารที่สงวนไว้สำหรับการใช้งานเพื่อการศึกษาเท่านั้น ไม่อนุญาตให้นำไปใช้ประโยชน์ด้านการค้า ไม่ว่ากรณีใดๆ ทั้งสิ้น อีกทั้งห้ามมิให้ตัดแปลงเนื้อหา และต้องอ้างอิงถึงเจ้าของเอกสารทุกครั้งที่มีการนำไปใช้

ในรายงานนี้จึงใช้การควบคุมแบบเวกเตอร์ โดยการควบคุมแรงดันขาออกของอินเวอร์เตอร์ ด้วยหลักการแยกการควบคุมให้มีอิสระต่อกัน ของกระแสที่สร้างฟลักซ์ และกระแสที่ทำให้เกิดแรงบิด ทำให้กระแสทั้งสองตั้งฉากกันตามที่ต้องการ

ข้อดีประการอื่นของระบบควบคุมแรงดันคือ

- สามารถสร้างสัญญาณมอดูเลตความกว้างพัลส์วิดโมดูเลชัน ( pulse width modulation ) ด้วยไมโครคอนโทรลเลอร์ได้โดยตรง

- ไม่ต้องมีการป้อนกลับของกระแสเพื่อการควบคุม

- เป็นการง่ายที่จะนำไปใช้ ในการพัฒนาระบบควบคุมแบบเวกเตอร์ ที่มีสมรรถนะสูงต่อไปเช่น การควบคุมแบบเวกเตอร์ ที่ปราศจากตัวตรวจจับความเร็ว ( speed sensor – less vector control )

อย่างไรก็ตามการนำหลักการควบคุมแบบเวกเตอร์มาประยุกต์ใช้ในงานอุตสาหกรรม ต้องอาศัยการพัฒนาทางด้านอิเล็กทรอนิกส์กำลัง เพื่อให้อุปกรณ์แปลงผันพลังงานมีราคาถูกลงและมีประสิทธิภาพสูงขึ้น รวมทั้งการพัฒนาทางการควบคุมเชิงเลขด้วยไมโคร โปรเซสเซอร์ที่มีสมรรถภาพสูงก็เป็นสิ่งที่จำเป็นที่จะทำให้ระบบมีประสิทธิภาพและความเชื่อถือได้ในการทำงาน

### 1.3 วัตถุประสงค์

เพื่อศึกษาค้นคว้าออกแบบ และสร้างระบบควบคุมแบบเวกเตอร์ของมอเตอร์เหนี่ยวนำ ทำให้ได้ลักษณะการควบคุมที่คล้ายคลึงกับมอเตอร์กระแสตรง เพื่อเป็นการพัฒนาระบบขับเคลื่อนมอเตอร์เหนี่ยวนำที่มีสมรรถนะสูง ซึ่งสามารถควบคุม ได้ทั้งแรงบิดและความเร็ว โดยใช้ไมโครคอนโทรลเลอร์เป็นส่วนที่สำคัญในการควบคุมแรงดัน เพื่อเป็นต้นแบบในการพัฒนาระบบเวกเตอร์ที่มีประสิทธิภาพที่ดีขึ้น และสามารถนำไปใช้ในงานอุตสาหกรรมในอนาคต



## บทที่ 2

### ทฤษฎีการควบคุมมอเตอร์เหนี่ยวนำแบบเวกเตอร์

#### 2.1 ทฤษฎีเบื้องต้น

สเปซเวกเตอร์ ( vector space ) เป็นเหมือนการรวมค่าปริมาณต่างๆ ทางไฟฟ้าที่มีเฟสต่างกัน 120 องศา จะทำให้ได้เวกเตอร์ในปริภูมิ 1 เวกเตอร์ ถ้าแรงดันที่จ่ายให้กับมอเตอร์เป็น ซายน์ ก็จะได้เวกเตอร์ที่มีขนาดคงที่ และหมุนเป็นวงกลมเทียบกับแกนอ้างอิงที่อยู่กับที่ โดยหมุนด้วยความถี่ของแรงดันที่จ่าย

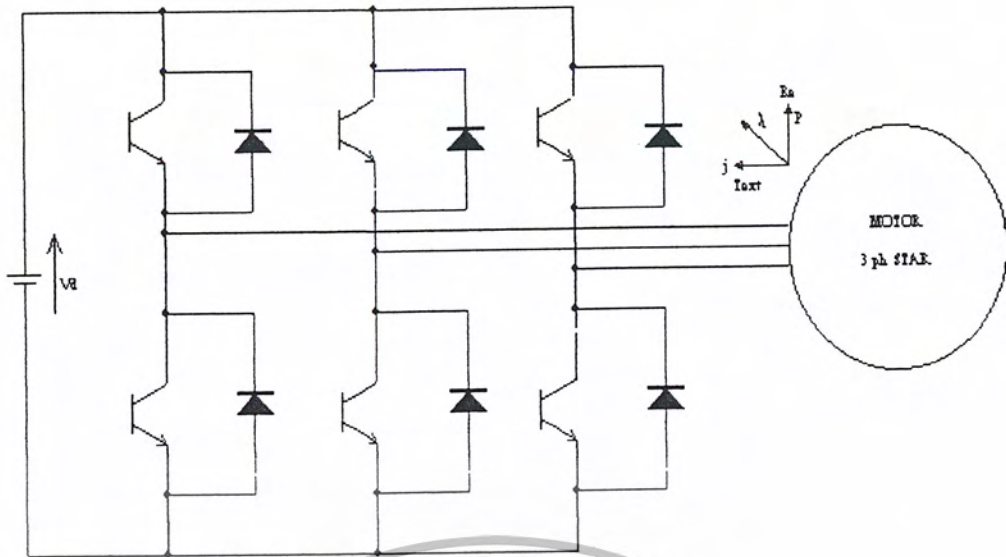


รูปที่ 2.1 เวกเตอร์ A,B,C

การแปลงแรงดันสามเฟสเป็นสเปซเวกเตอร์ สามารถเขียนในรูปการแปลงโดยใช้เมตริกซ์การแปลง โดยมองให้สเปซเวกเตอร์ของแรงดันที่แปลง ได้อยู่บนแกนอ้างอิงที่อยู่กับที่ 2 แกนที่ตั้งฉากกันคือ แกน D และแกน Q ได้ดังนี้

$$\begin{bmatrix} Vd \\ Vq \end{bmatrix} = \begin{bmatrix} 1 & -1/2 & -1/2 \\ 0 & (3/2) & -(3/2) \end{bmatrix} \begin{bmatrix} Va \\ Vb \\ Vc \end{bmatrix} \quad ; V = Vd + jVq \quad (2.2)$$

เอกสารนี้เป็นเอกสารที่สงวนไว้สำหรับการใช้งานเพื่อการศึกษาเท่านั้น ไม่อนุญาตให้นำไปใช้ประโยชน์ด้านการค้า  
ไม่ว่ากรณีใดๆ ทั้งสิ้น อีกทั้งห้ามมิให้ตัดแปลงเนื้อหา และต้องอ้างอิงถึงเจ้าของเอกสารทุกครั้งที่มีการนำไปใช้



รูปที่ 2.2 เวกเตอร์แรงดันอินเวอร์เตอร์

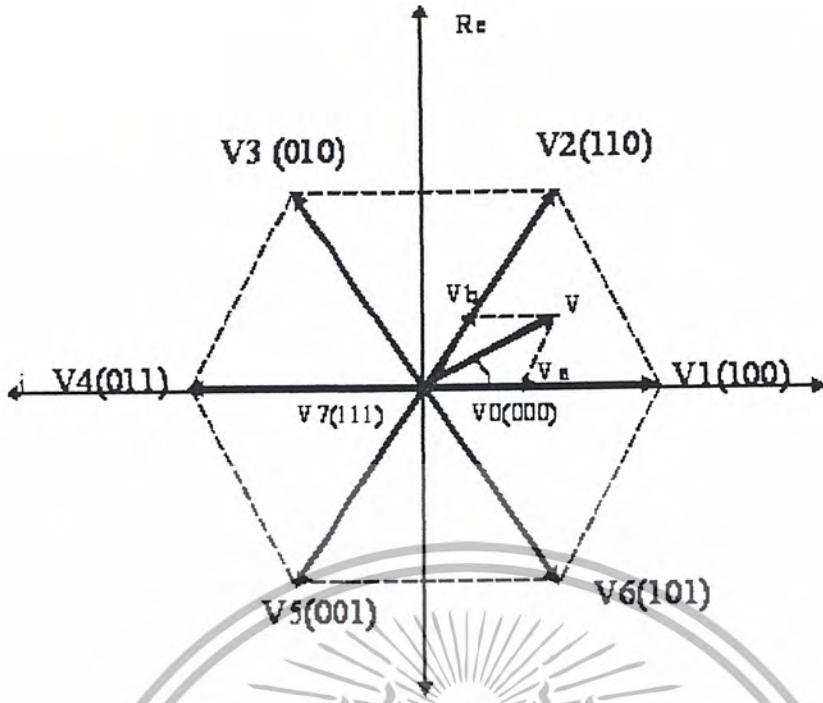
การเกิดสวิตซ์ซึ่ง ปิด – เปิดเฟสอินเวอร์เตอร์ของวงจรมอเตอร์ จะทำให้เกิดรูปแบบและการสวิตซ์ทั้ง 8 แบบสามารถแปลงให้อยู่ในรูปสเปซเวกเตอร์ได้ เราเรียกสเปซเวกเตอร์ของแรงดันนี้ว่า เวกเตอร์แรงดัน

$$V = V_a + aV_b + a^2V_c \quad (2.3)$$

โดย  $V_a$  = แรงดันที่ขั้ว a เทียบกับจุดสะเทิน (neutral) ของมอเตอร์

$V_b$  = แรงดันที่ขั้ว b เทียบกับจุดสะเทิน (neutral) ของมอเตอร์

$V_c$  = แรงดันที่ขั้ว c เทียบกับจุดสะเทิน (neutral) ของมอเตอร์



รูปที่ 2.3 เวกเตอร์แรงดันที่ขาของอินเวอร์เตอร์

จากรูปที่ 3 แสดงเวกเตอร์แรงดันที่ได้ขาออกของอินเวอร์เตอร์ เมื่อสวิตช์แบบต่างๆ ตัวเลขฐาน 2 ในวงเล็บแสดงถึงรูปแบบการเปิด-ปิด เช่นหมายเลข ( 110 ) หมายถึงทรานซิสเตอร์ ( Transistor ) ตัวเฟส a และเฟส b เปิด และทรานซิสเตอร์ตัวล่างของเฟส c เปิด ( ทรานซิสเตอร์ตัวบนและตัวล่างในเฟสเดียวกัน จะต้องไม่ทำงาน ( เปิด ) พร้อมกัน ) ตัวเลขที่ตามหลัง v คือ ค่าตัวเลขฐาน 10 ที่ตรงกับเลขฐาน 2 ในเวกเตอร์นั้น แกนอ้างอิงของ เวกเตอร์แรงดัน ใช้เฟส a เป็นหลัก

2.2 หลักการ v/f control

จากความสัมพันธ์ที่ว่าฟลักซ์ที่เกิดขึ้นที่มอเตอร์แปรผันตรงกับแรงดันที่จ่ายให้กับมอเตอร์และแปรผกผันกับความถี่ของแรงดันที่จ่าย

$$\phi \propto v/f \text{ ----- (2.4)}$$

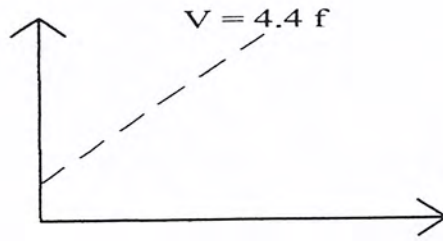
ในการปรับความเร็วรอบของมอเตอร์เหนี่ยวนำโดยการปรับความถี่ของแรงดันที่ป้อน จึงต้องมีการเปลี่ยนค่าขนาดแรงดันที่ป้อนด้วย เพื่อให้มีค่าคงที่ เพื่อให้ทำให้แรงบิดที่มอเตอร์ ให้มีค่าคงที่เพราะแรงบิดแปรผันโดยตรงกับ  $\phi$

เช่น  $v/f = 220 \text{ v} / 50 \text{ Hz} = \text{ค่าคงที่}$

เอกสารนี้เป็นเอกสารที่สงวนไว้สำหรับการใช้งานเพื่อการศึกษาเท่านั้น ไม่อนุญาตให้นำไปใช้ประโยชน์ด้านการค้า ไม่ว่าจะกรณีใดๆ ทั้งสิ้น อีกทั้งห้ามมิให้ตัดแปลงเนื้อหา และต้องอ้างอิงถึงเจ้าของเอกสารทุกครั้งที่มีการนำไปใช้

โดย  $220\text{ v}$  คือค่าแรงดัน เฟส - เฟส

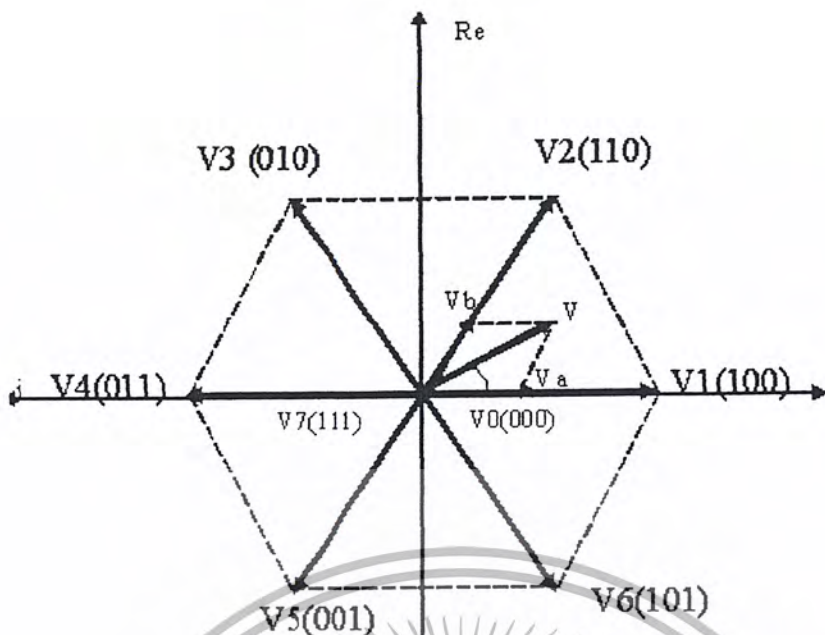
เราสามารถแปลงแรงดัน เฟส - เฟส นี้ไปเป็นแรงดันในสเปซเวกเตอร์ ที่สัมพันธ์กับความถี่คือ



รูปที่ 2.4 แสดงความสัมพันธ์ของแรงดันกับความถี่

ดังนั้นถ้าเราทราบความถี่ที่ต้องการ เราสามารถหาแรงดันสเปซเวกเตอร์ได้ และเนื่องจากแรงดันที่คำนวณเป็น ซายนัดนั้นสเปซเวกเตอร์ของแรงดันที่ได้จะมีขนาดคงที่ที่ความถี่ค่าหนึ่ง และหมุนด้วยความถี่เท่ากับความถี่ของแรงดันที่ต้องการ แรงดันสเปซเวกเตอร์นี้สามารถทำให้กำเนิดได้โดยการให้อินเวอร์เตอร์ ทำการสวิตช์โดยสามารถอธิบายได้ดังรูป 2.5

จากรูป เมื่อต้องการโวลต์แรงสเปซที่มีขนาด  $v$  ของที่ทำมุมกับแกนอ้างอิง  $DQ$  สามารถทำได้โดยการเปิด - ปิดของทรานซิสเตอร์ ที่มีรูปแบบของ  $V1(100)$  กับ  $V2(110)$  เป็นอัตราส่วน  $Vb/V2$  เพื่อให้ได้ค่าเฉลี่ย  $V$  ออกมาเป็น  $v$  แต่แรงดันสเปซเวกเตอร์นี้จะหมุน ไปเป็นวงกลม ดังนั้นเมื่อ  $V$  หมุนไปอยู่ตำแหน่งใดๆ อินเวอร์เตอร์ก็ต้องทำการสวิตช์ที่อยู่ระหว่างเวกเตอร์นั้นจึงเป็นเหมือนการแปลงแรงดันที่ต้องการจะจ่ายให้กับมอเตอร์ไปเป็นแรงดันบนสเปซเวกเตอร์ แล้ว



รูปที่ 2.5 การสวิตช์ของเวกเตอร์

แปลงกลับโดยใช้ อินเวอร์เตอร์ เมื่อเราเปลี่ยนความถี่ ขนาดแรงดันสเปซเวกเตอร์จะเปลี่ยนและความถี่ในการหมุนก็จะเปลี่ยนไปด้วย

### 2.3 แรงบิด ( Torque )

สมการที่ 2.5 แสดงความสัมพันธ์ของแรงบิด (T) กับแรงดัน (V) และความถี่ (F)

$$T = K \cdot V/F \cdot I \quad (2.5)$$

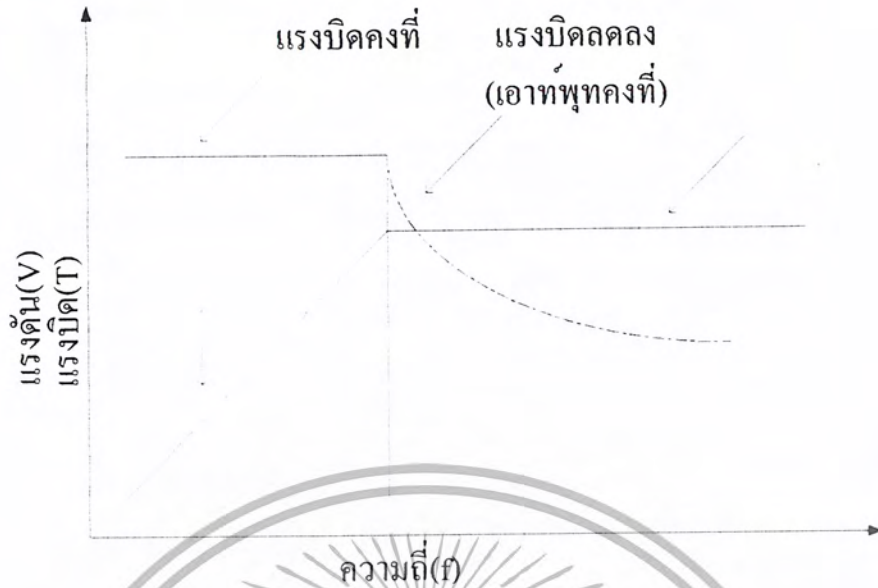
K = ค่าคงที่

I = กระแส

1. ถ้าอัตราส่วน  $V/F$  คงที่ ก็จะทำให้แรงบิดคงที่ด้วย
2. ถ้าให้แรงดันคงที่ และความถี่แปรค่าไป แรงบิดก็จะแปรค่าไป

ในขณะที่รักษากระแสมอเตอร์ ให้คงที่ แรงบิดจะแปรผกผันความถี่ที่แปรไปนั้น ตามรูป 2.6 แสดงกราฟความสัมพันธ์ระหว่างความถี่ กับแรงดัน และแรงบิดอัตราส่วนระหว่างแรงดันกับความถี่ เราเรียกว่ารูปแบบ  $v/f$  (  $v/f$  pattern ) ค่านี้มีความสำคัญมากในการควบคุมมอเตอร์ โดยแรงบิดสูงสุดในช่วงเวลาสั้นๆ หมายถึง แรงบิดสูงสุดของมอเตอร์ซึ่งไม่ทำให้อินเวอร์เตอร์จ่ายกระแสเกินค่าพิกัด ( rated over load current ) มักจะตั้งค่าไว้ที่ 150 เปอร์เซ็นต์ ของกระแสพิกัด ซึ่งทั้งนี้ช่วงเวลาสั้นๆ โดยทั่วไปจะมีค่าประมาณ 1 นาที ตามการตั้งเวลากระแสเกินของอินเวอร์เตอร์

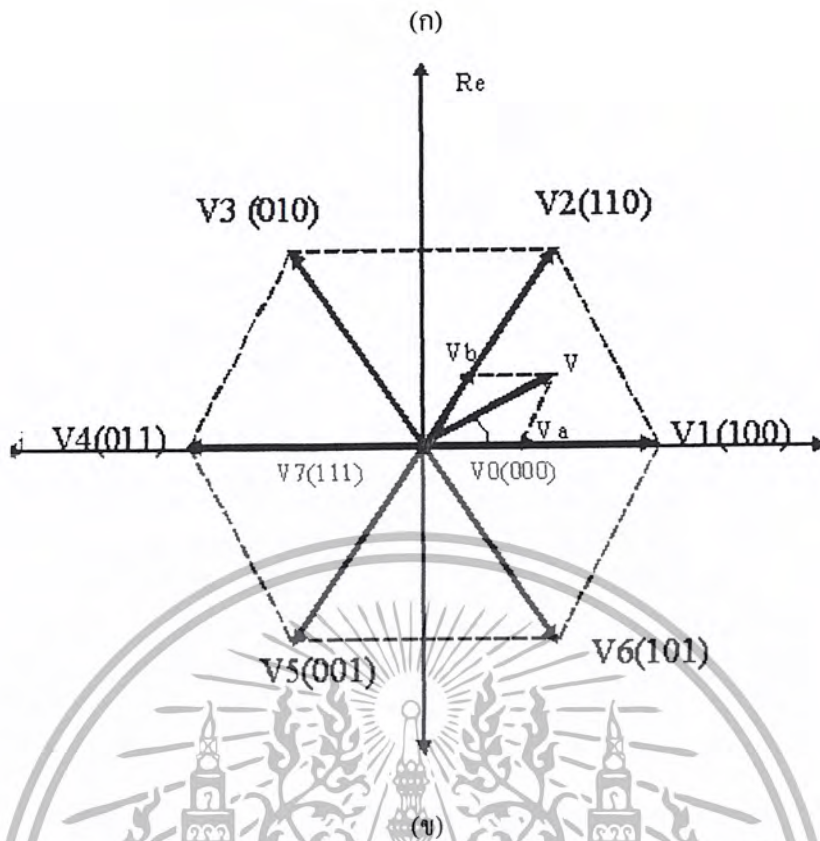
เอกสารนี้เป็นเอกสารที่สงวนไว้สำหรับการใช้งานเพื่อการศึกษาเท่านั้น ไม่อนุญาตให้นำไปใช้ประโยชน์ด้านการค้า ไม่ว่าจะกรณีใดๆ ทั้งสิ้น อีกทั้งห้ามมิให้ตัดแปลงเนื้อหา และต้องอ้างอิงถึงเจ้าของเอกสารทุกครั้งที่มีการนำไปใช้



รูปที่ 2.6 การทำงานย่านแรงบิดคงที่

#### 2.4 สเปซเวกเตอร์ของแรงดัน (voltage space vector)

จากหัวข้อที่ 2.1 กล่าวมาแล้วข้างต้น จะเห็นว่าอินเวอร์เตอร์ที่ใช้ในการควบคุม โดยอาศัยสเปซเวกเตอร์ของแรงดัน (voltage space vector) จะเป็นแบบควบคุมแรงดัน (voltage control) ซึ่งเป็นการง่ายที่จะทำโดยหลักการของเวกเตอร์แรงดัน ซึ่งเป็นส่วนสำคัญโดยตรงของอินเวอร์เตอร์ที่จะกล่าวถึง ทำให้เราสามารถใช้อินเวอร์เตอร์สร้างสัญญาณพัลส์วิดมอด ซึ่งจะได้อธิบายโดยละเอียดดังต่อไปนี้



รูปที่ 2.7 (ก) เป็นชุดอินเวอร์เตอร์ที่ประกอบด้วยแหล่งจ่ายไฟฟ้ากระแสตรง  $V_{dc}$  และสวิตช์กำลัง 6 ตัว ซึ่งสามารถสร้างเวกเตอร์ได้ 8 แบบ กล่าวคือเวกเตอร์ศูนย์  $V_0, V_7$  และเวกเตอร์  $V_1 - V_6$  ซึ่งมีขนาด  $\sqrt{2/3} * V_{dc}$  ดังแสดงในรูป โดยที่ตัวเลขในวงเล็บแสดงถึงลักษณะการเปิดปิดวงจรของสวิตช์ในเฟส a, b และ c ตามลำดับ “0” หมายถึงสวิตช์ตัวบนเปิดวงจร และ “1” หมายถึงสวิตช์ตัวบนปิดวงจร ยกตัวอย่าง เช่นกรณี  $V_4(100)$  จะเป็นกรณีที่สวิตช์ หมายเลข 1, 6, 2 ปิดวงจร จะได้แรงดันระหว่างสายดังต่อไปนี้

$$V_{ab} = V_a - V_b = V_{dc}$$

$$V_{bc} = V_b - V_c = 0$$

$$V_{ca} = V_c - V_a = -V_{dc}$$

$$\text{และ } V_a + V_b + V_c = 0$$

โดยที่  $V_a, V_b, V_c$  เป็นแรงดันเฟสเทียบกับจุดสะเทิน (neutral) ในมอเตอร์ เพราะฉะนั้นเราจะได้ว่าแรงดันเฟส

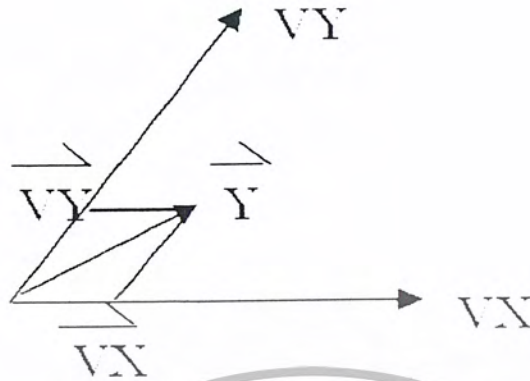
$$V_a = 2/3 V_{dc}, V_b = -1/3 V_{dc}, V_c = -1/3 V_{dc}$$

ซึ่งสามารถแปลงเป็นเวกเตอร์แรงดันได้ดังนี้

เนื่องจากเวกเตอร์ที่เราสามารถสร้างได้มีเพียง 8 แบบ ดังที่ได้กล่าวมาแล้ว เราจึงไม่สามารถที่จะสร้างเวกเตอร์แรงดันได้ตามต้องการได้โดยตรง แต่เราจะใช้วิธีการสร้างเวกเตอร์แรงดันที่มีค่าเฉลี่ยเท่ากับแรงดันที่ต้องการแทนโดยอาศัยเวกเตอร์ศูนย์ และเวกเตอร์แรงดัน 2 เวกเตอร์ที่อยู่ข้างเคียงกัน เช่น  $v_4$  และ  $v_5$  เป็นต้น

เอกสารนี้เป็นเอกสารที่สงวนไว้สำหรับการใช้งานเพื่อการศึกษาเท่านั้น ไม่อนุญาตให้นำไปใช้ประโยชน์ด้านการค้า ไม่ว่าจะกรณีใดๆ ทั้งสิ้น อีกทั้งห้ามมิให้ตัดแปลงเนื้อหา และต้องอ้างอิงถึงเจ้าของเอกสารทุกครั้งที่มีการนำไปใช้

### 2.4.1 หลักการทำ พัลลิวัดมอดูละชัน แบบเวกเตอร์แรงดัน



รูปที่ 2.8 ส่วนประกอบของเวกเตอร์แรงดัน

ดังนั้นเมื่อเราทราบแรงดันเวกเตอร์เฉลี่ย ( $v$ ) อยู่ที่เซกเตอร์ใด เช่นในรูปที่ 2.7 เราสามารถคำนวณขนาดของเวกเตอร์ประกอบทั้งสองกรณีต่างๆได้ดังต่อไปนี้

เซกเตอร์ที่ 1

$$V = V_x + V_y = X + jY = (V_4 + (1/2)V_5) + j(3/2)V_5$$

$$V_4 = X - (Y/3) ; V_5 = 2Y/3$$

เซกเตอร์ที่ 2

$$V = V_x + V_y = X + jY = ((-1/2)V_1 + (V_3)) + j(3/2)(V_1)$$

$$V_3 = -X - (Y/3) ; V_1 = (2Y/3)$$

เซกเตอร์ที่ 3

$$V = V_x + V_y = X + jY = (V_4 + (1/2)V_5) + j(3/2)V_5$$

$$V_4 = X - (Y/3) ; V_5 = 2Y/3$$

เซกเตอร์ที่ 4

$$V = V_x + V_y = X + jY = (-V_3 - (1/2)V_2) + j(3/2)V_2$$

$$V_3 = -X + (Y/3) ; V_2 = -2Y/3$$

เซกเตอร์ที่ 5

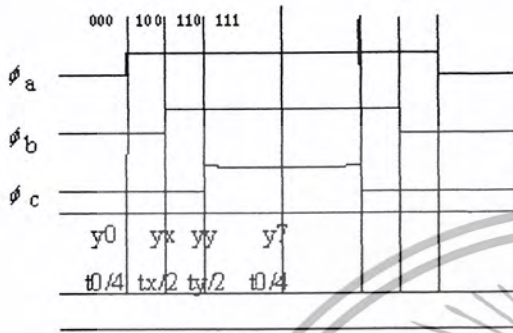
$$V = V_x + V_y = X + jY = ((1/2)V_6 + (1/2)V_2) - j(3/2)(V_6 + V_2)$$

$$V_6 = X - (Y/3) ; V_2 = -X - (Y/3)$$

เอกสารนี้เป็นเอกสารที่สงวนไว้สำหรับการใช้งานเพื่อการศึกษาเท่านั้น ไม่อนุญาตให้นำไปใช้ประโยชน์ด้านการค้า ไม่ว่าจะกรณีใดๆ ทั้งสิ้น อีกทั้งห้ามมิให้ตัดแปลงเนื้อหา และต้องอ้างอิงถึงเจ้าของเอกสารทุกครั้งที่มีการนำไปใช้

ถึงแม้ว่าเราจะคำนวณช่วงเวลา  $t_x, t_y$  และ  $t_0$  ของเวกเตอร์โดยที่  $x$  และ  $y$  เป็นขนาดขององค์ประกอบเวกเตอร์แรงดันในแกน  $d-q$

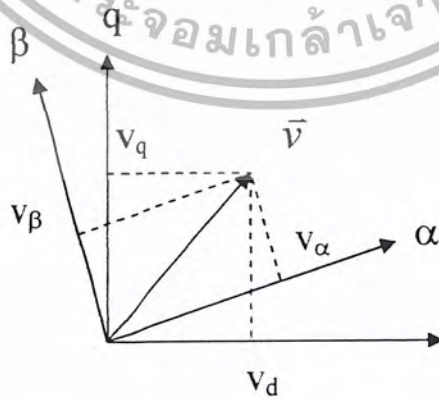
ถึงแม้ว่าเราจะคำนวณช่วงเวลา  $t_x, t_y$  และ  $t_0$  ของเวกเตอร์แรงดันได้แล้วก็ตาม เรายังกำหนดรูปแบบการสวิตช์ได้อย่างอิสระ แต่ในรายงานนี้เราจะกำหนดรูปแบบในการสวิตช์ อันจะทำให้เกิดการมอดคูลเลตแบบขอบคู่ ซึ่งมีลักษณะแบบสมมาตร และมีคุณสมบัติในด้านการกระจายฮาร์มอนิกที่ดี



- $\phi_a$  = สัญญาณขับเกทเฟส a
- $\phi_b$  = สัญญาณขับเกทเฟส b
- $\phi_c$  = สัญญาณขับเกทเฟส c

รูปที่ 2.9 รูปแผนผังเวลาการสวิตช์

เมื่อทราบแรงดันเวกเตอร์จากการคำนวณของการควบคุมแบบแยกการควบคุมให้มีอิสระต่อกัน ซึ่งเป็นค่าที่วัดเทียบกับแกนอ้างอิง โรเตอร์ฟลักซ์ เราสามารถที่จะหาว่าเวกเตอร์อยู่มุมเท่าไรเทียบกับแกนอ้างอิงที่แกนสเตเตอร์ ทำให้ทราบว่าเลือกใช้เวกเตอร์ใดในเวกเตอร์ทั้ง 6 กล่าวคือ สมมุติให้แรงดันเวกเตอร์เฉลี่ยที่เราต้องการสร้างคือ  $V = V_a - jV_q$  ซึ่งเทียบกับแกนอ้างอิงโรเตอร์ฟลักซ์ การย้ายแกนมาเป็นแกนอ้างอิงสเตเตอร์กระทำดังต่อไปนี้

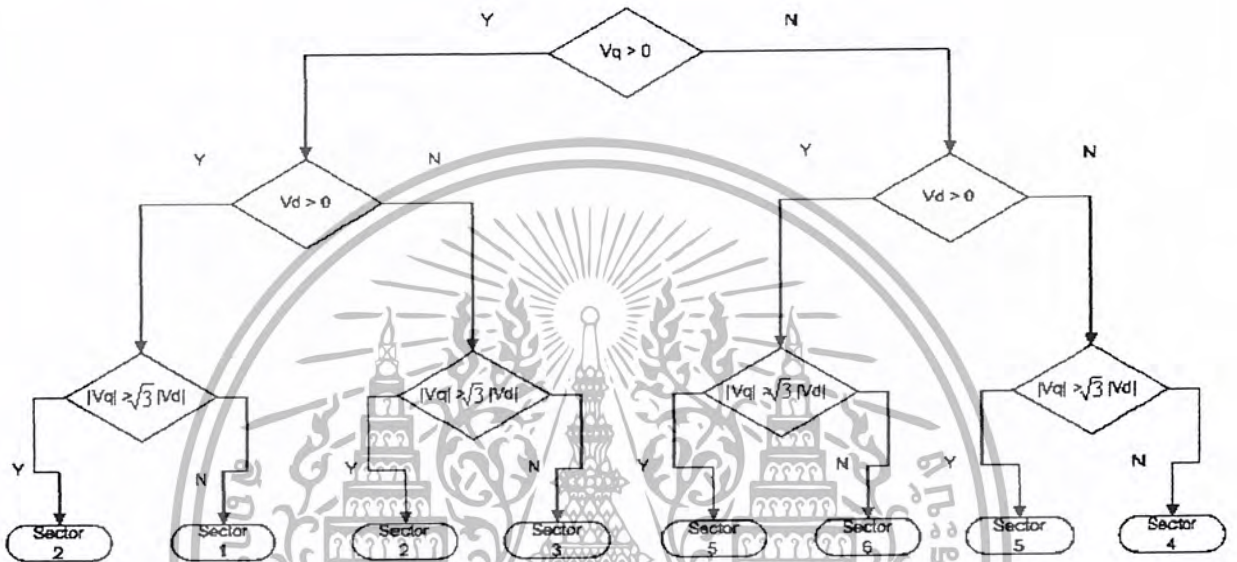


รูปที่ 2.10 เวกเตอร์แรงดันบนแกนอ้างอิง  $d-q$  และแกนอ้างอิง  $a-b$

เอกสารนี้เป็นเอกสารที่สงวนไว้สำหรับการใช้งานเพื่อการศึกษาเท่านั้น ไม่อนุญาตให้นำไปใช้ประโยชน์ด้านการค้า ไม่ว่าจะกรณีใดๆ ทั้งสิ้น อีกทั้งห้ามมิให้ตัดแปลงเนื้อหา และต้องอ้างอิงถึงเจ้าของเอกสารทุกครั้งที่มีการนำไปใช้

แต่เนื่องมาจากในการทำความเข้าใจมีอิสระต่อกัน และการย้ายแกนอ้างอิงมายังแกนสเตเตอร์ที่ได้ กลางมาแล้วนั้น เราจะเทียบเคียงค่าแวกเตอร์ประกอบแรงดัน ( $V_d, V_q$ ) เท่านั้น

ดังนั้นหากเราต้องการทราบมุมของแวกเตอร์นั้นจะต้องทำการคำนวณ  $\arctan (v_q/v_d)$  ซึ่งในกรณีที่นำไปเขียนด้วยซอฟต์แวร์จะยุ่งยากและเกิดความผิดพลาดสูงในช่วงมุมใกล้ 90 ดังนั้นในรายงานนี้ จึงเสนอแนวทางการหาเซกเตอร์แรงดันโดยไม่ต้องคำนวณค่ามุมของแวกเตอร์แรงดัน ซึ่งมีวิธีการดังเสนอ แผนภาพรูปที่ 2.12



รูปที่ 2.11 แผนภาพวิธีการหาเซกเตอร์ของแวกเตอร์แรงดัน

วิธีการสร้างรูปแบบการสวิตช์ดังกล่าวอาศัยการเปรียบเทียบค่าเท่านั้นจึงง่ายและเหมาะสำหรับการควบคุมด้วยไมโครคอนโทรลเลอร์ในรายงานนี้จึงเลือกใช้ไมโครคอนโทรลเลอร์ตระกูล dsp โดยอาศัยตัวจับเวลาภายใน และพอร์ตรับและส่งสัญญาณที่มีความเร็ว (High speed Input/output port) เมื่อทราบรูปแบบการสวิตช์และเมื่อถึงเวลาในการสวิตช์ของรูปแบบนั้นไมโครคอนโทรลเลอร์จะส่งพอร์ตอินพุต - เอาท์พุต แบบความเร็วสูง ให้ส่งรูปแบบการสวิตช์นั้น เป็นสัญญาณสำหรับการตัด-ต่อสวิตช์ที่ความถี่การสวิตช์เป็นหลัก kHz

## 2.5 field orientate control

ช่วงหลายปีที่ผ่านมา การควบคุม electric drive ได้เกิดการเปลี่ยนแปลงครั้งยิ่งใหญ่ ได้มีการพัฒนาความได้เปรียบของสารกึ่งตัวนำทั้งในด้านกำลังและทางด้านสัญญาณอิเล็กทรอนิกส์ และจุดสุดยอดของไมโครอิเล็กทรอนิกส์ ไมโครโปรเซสเซอร์ และ DSP เทคโนโลยีที่พัฒนาขึ้นนี้ทำให้สามารถนำไปพัฒนา และใช้ในการควบคุม ac drive กับการหายไปของ hard ware และเป็นการควบคุมที่เที่ยงตรงกว่า

เอกสารนี้เป็นเอกสารที่สงวนไว้สำหรับการใช้งานเพื่อการศึกษาเท่านั้น ไม่อนุญาตให้นำไปใช้ประโยชน์ด้านการค้า ไม่ว่าจะกรณีใดๆ ทั้งสิ้น อีกทั้งห้ามมิให้ตัดแปลงเนื้อหา และต้องอ้างอิงถึงเจ้าของเอกสารทุกครั้งที่มีการนำไปใช้

การควบคุม electric drive จึงกลายเป็นความแม่นยำยิ่งกว่าในการวินิจฉัยไม่เพียงแต่ dc current และ voltage control แต่เป็นกระแสและแรงดัน 3 เฟส โดยการดำเนินการดั่งที่เรียกว่า vector control

เอกสารฉบับนี้บรรยายถึงประสิทธิภาพสูงสุดของ vector control ซึ่ง field orient control มี 3 หัวข้อหลัก คือ ค่าแรงดันและกระแสแบบเวกเตอร์ของเครื่องจักร ( the machine current and voltage space vector ) การแปลงของระบบ 3 เฟสและระบบที่ขึ้นกับเวลาในระบบ 2 แกนที่แปรตามเวลา ( the transformation of a three phase speed and time dependant system in a two coordinate time variant system ) และ การกำเนิด pwm ( effective pulse width modulation pattern generation ) การควบคุม ac machine ได้เรียนรู้ประโยชน์ของการควบคุมของ dc machine และไม่มีปัญหาเรื่อง คอมมิวเตชัน นอกจากนี้ โครงสร้างของการควบคุมแบบนี้ มีความเที่ยงตรงมาก ๆ ทั้งในสภาวะ steady state และ การควบคุมในสภาวะ transient

### 2.5.1 classic ac drive

โครงสร้างการควบคุม ตามปกติใช้แรงดันไซน์ 3 เฟส ห่างกัน  $120^\circ$  ไปที่สเตเตอร์ การขับเคลื่อน ac motor การกำเนิดของ sin 3 เฟส อยู่บนพื้นฐานคุณสมบัติของการขับเคลื่อนทางแม่เหล็กของมอเตอร์และวงจรสมมูลย์ของมอเตอร์ในสภาวะคงตัว การควบคุมที่เหมือนการแยกการควบคุมแบบ 3 เฟส ออกเป็นแต่ละเฟสจะดีกว่าการควบคุมรวมของระบบ 3 เฟส

- แบบจำลองและคุณสมบัติของมอเตอร์ใช้ในสภาวะ คงตัว อย่างเดียวสาเหตุนี้การควบคุมยอมให้มีแรงดันสูงและกระแสช่วง transient ได้ความเสียหายนี้ไม่เพียงแต่สมรรถนะการขับเคลื่อนอย่างเดียว แต่ประสิทธิภาพของการแปลงพลังงานด้วย รวมถึงอุปกรณ์ด้านกำลังที่ต้องใหญ่ขึ้นเพื่อให้ทนกับสภาวะ transient และ spike

- อุปสรรคอย่างมากในการควบคุมแบบปรับค่าสัญญาณ ไซน์เปรียบเทียบการควบคุมแบบ PI ไม่สามารถปรับค่าไซน์ได้ถ้าปราศจากการคิดเพี้ยนของสัญญาณ ไซน์อ้างอิง และการควบคุมฮิสเตอร์รีซิส นำมาใช้ทำให้มีการขยายสัญญาณ รมลวน เข้าในระบบ และเป็นการยากที่จะกรองออกได้

- ไม่มีการจัดการระบบ 3 เฟส ที่ไม่สมดุลย์ไม่คำนึงถึง phase interaction

- โครงสร้างของการควบคุมต้องเป็นไปตามชนิดของมอเตอร์ ( synchronous or asynchronous )

สิ่งที่ตามมาในการบรรยาย field orient control ของ ac drive วิธีการควบคุมแบบนี้จะเอาชนะแต่ละข้อเสีย และปรับปรุงโดยรวมให้ ac drive ดีขึ้น

### 2.5.2 control field orientate

field orientat control ประกอบด้วยการควบคุมกระแสสเตเตอร์ที่บรรยายโดยเวกเตอร์ การควบคุมนี้อยู่บนพื้นฐานการถ่ายทอดซึ่งการเปลี่ยนแปลงที่ขึ้นกับเวลาและความเร็วของระบบ 3 เฟส ไปยัง 2 พิกัด ( พิกัด d และ q ) การถ่ายทอดนี้โครงสร้างคล้ายๆกับการควบคุม dc machine การควบคุมเครื่องจักรแบบ FOC ต้องการ

ค่าอินพุท เป็น การอ้างอิง 2 ตัว คือ ส่วนประกอบแรงบิด ( q co-ordinate ) และ ส่วนประกอบฟลักซ์ ( d co-ordinate ) การควบคุม field orient control อยู่บนพื้นฐานง่าย ๆ บนการ

ถ่ายทอดโครงสร้างของการควบคุมจัดการกับปริมาณทางไฟฟ้าที่เป็น instantaneous การควบคุมนี้ทำให้มี

เอกสารนี้เป็นเอกสารที่สงวนไว้สำหรับการใช้งานเพื่อการศึกษาเท่านั้น ไม่อนุญาตให้นำไปใช้ประโยชน์ด้านการค้า ไม่ว่ากรณีใดๆ ทั้งสิ้น อีกทั้งห้ามมิให้ดัดแปลงเนื้อหา และต้องอ้างอิงถึงเจ้าของเอกสารทุกครั้งที่มีการนำไปใช้

ความถูกต้องในทุกๆการทำงาน ( steady state and transient ) และการเป็นอิสระของย่านของโมเดลทางคณิตศาสตร์ วิธีการ FOC เป็นวิธีการแก้ปัญหาที่ละเอียดตามวิธีการนี้

- การเป็นอิสระของค่าคงที่อ้างอิง ( ส่วนประกอบ แรงบิดและฟลักซ์ของกระแสเตอร์ )
- การเป็นอิสระของการใช้การควบคุมแรงบิดโดยตรงเพราะในการอ้างอิง ( d,q ) การบรรยายของแรงบิด คือ

$$m \propto \Psi_R i_{sq}$$

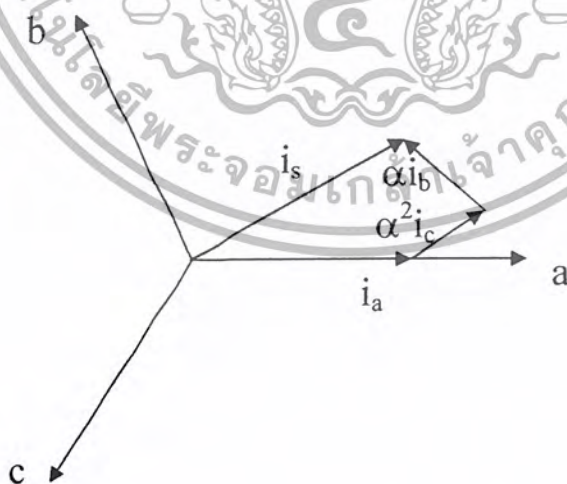
การรักษาขนาดของ rotor flux (  $\Psi_R$  ) ที่มีการกำหนดค่าตายตัวเราใช้ความสัมพันธ์ที่เป็นเส้นตรงระหว่าง แรงบิดและ องค์ประกอบแรงบิด (  $i_{sq}$  ) เราสามารถควบคุม แรงบิดโดยการควบคุม องค์ประกอบแรงบิด ของเวกเตอร์กระแสของสเตเตอร์

### 2.5.2.1 คำจำกัดความและการอธิบายสเปซเวกเตอร์ ( space vector definition and projection )

ค่าแรงดันกระแสและฟลักซ์ 3 เฟส ของ มอเตอร์กระแสสลับ สามารถวิเคราะห์ได้ในเทอมของ complex space vector) ซึ่งเกี่ยวข้องกับกระแส สเปซเวกเตอร์ สามารถอธิบายได้ตามนี้ สมมติว่า  $i_a, i_b, i_c$  เป็นกระแส instantaneous ในสเตเตอร์ ดังนั้นค่า complex stator current vector สามารถอธิบายโดย

$$i_s = i_a + \alpha i_b + \alpha^2 i_c$$

เมื่อ  $\alpha = e^{j(2/3)\pi}$  และ  $\alpha^2 = e^{j(4/3)\pi}$  บรรยายการกระทำตาม โคออร์ดิเนตแสดงถึงกระแส สเตเตอร์ที่เป็น complex space vector



รูปที่ 2.12 กระแสสเปซเวกเตอร์ของสเตเตอร์และ องค์ประกอบ ( a,b,c )

เอกสารนี้เป็นเอกสารที่สงวนไว้สำหรับการใช้งานเพื่อการศึกษาเท่านั้น ไม่อนุญาตให้นำไปใช้ประโยชน์ด้านการค้า ไม่ว่ากรณีใดๆ ทั้งสิ้น อีกทั้งห้ามมิให้ตัดแปลงเนื้อหา และต้องอ้างอิงถึงเจ้าของเอกสารทุกครั้งที่มีการนำไปใช้

เมื่อ  $(a,b,c)$  เป็นระนาบ 3 เฟส ของระบบซึ่งกระแส space vector บรรยายถึงระบบไซน์ 3 เฟส จนกระทั่งมีการแปลงไปเป็นระบบ สองแกนที่แปรตามเวลา(two time invariant co-ordinate) การแปลงนี้ สามารถแยกออกเป็น 2 ระบบ

-  $(a,b,c) \rightarrow (\alpha,\beta)$  ( การแปลงแบบคลาก ) ซึ่งเอาท์พุทที่ได้เป็นระบบสองแกนที่แปรตาม เวลา(two co-ordinate time variant system)

-  $(\alpha,\beta) \rightarrow (d,q)$  ( การแปลงแบบปาร์ค ) ซึ่งเอาท์พุทที่ได้เป็นระบบสองแกนที่แปรตาม เวลา ( two co-ordinate time invariant system )

การแปลงจากระบบ  $a,b,c$  ไปยัง ระบบ  $\alpha,\beta$  (clarke transformation )

สเปซเวกเตอร์ สามารถบรรยายในการอ้างอิงอีกหนึ่งอย่างกับแกน 2 แกน  $(\alpha,\beta)$  สมมติแกน  $a$  และ  $\alpha$  มีทิศทางเดียวกันมี เวกเตอร์ไคอะแกรม  $\beta$

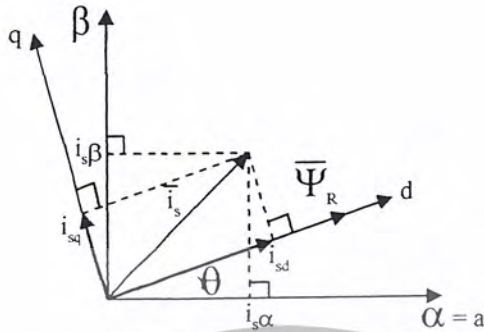


รูปที่ 2.13 กระแสสเปซเวกเตอร์ของสเคเตอร์และองค์ประกอบ (a,b)

แสดงการแก้ไขระบบ 3 เฟส ไปเป็น  $(\alpha,\beta)$  ระบบ 2 มิติ โดยบรรยายได้ดังนี้ข้างล่าง

$$i_{s\alpha} = i_a$$

สำหรับ TMS320F240 เป็น ซอฟต์แวร์ อ้างอิงการรายงาน (BPRA048) เราได้ระบบ สองแกน การแปลงจากระบบ  $\alpha, \beta$  ไปยัง ระบบ  $d, q$  (parke transformation)



รูปที่ 2.14 กระแสสเปซเวกเตอร์ของสเตเตอร์ และองค์ประกอบ (a,b) และในแกนหมุน d,q อ้างอิง

นี่คือสิ่งที่สำคัญที่สุดของการแปลงใน FOC ในความเป็นจริงนี่คือการแสดงการปรับแต่งของระบบ 2 เฟส ที่ตั้งฉากกัน ( $\alpha, \beta$ ) ในแกนหมุน  $d, q$  อ้างอิง ถ้าเราพิจารณาแกน  $d$  ให้ตรงกับแนวโรเตอร์ฟลักซ์โคอะแกรมถัดไปจะแสดงกระแสเวกเตอร์ความสัมพันธ์จาก 2 แกน อ้างอิงเมื่อ  $\theta$  คือ ตำแหน่งของโรเตอร์ฟลักซ์องค์ประกอบแรงบิดและแรงบิดของเวกเตอร์กระแสสามารถหาได้โดยสมการนี้

$$\begin{aligned} i_{sd} &= i_{s\alpha} \cdot \cos(\theta) + i_{s\beta} \cdot \sin(\theta) \\ i_{sq} &= -i_{s\alpha} \cdot \sin(\theta) + i_{s\beta} \cdot \cos(\theta) \end{aligned}$$

องค์ประกอบนี้จะขึ้นกับองค์ประกอบเวกเตอร์กระแสและตำแหน่งของโรเตอร์ฟลักซ์ถ้าเรารู้ตำแหน่งของโรเตอร์ฟลักซ์ด้านขวาจากการแสดงนี้องค์ประกอบ  $d, q$  ซึ่งมีคุณสมบัติดังนี้

- ระบบ สองแกนที่แปรตามเวลา
- ซึ่ง  $i_{sd}$  (flux component) และ  $i_{sq}$  (torque component) การควบคุมแรงบิดโดยตรงและ

เป็นไปได้ง่าย

การแปลงจากระบบ  $d, q$  ไปยัง ระบบ  $\alpha, \beta$  (inverse parke transformation)

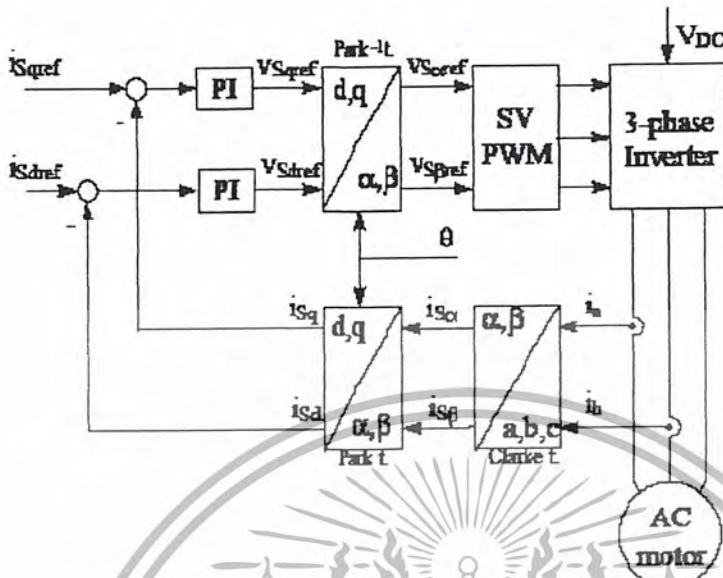
เรานำเข้าจากการแปลงแรงดันนี้ซึ่งสมการจะปรับแต่งแรงดันในแกน  $d, q$  อ้างอิงไปเป็นระบบ 2 เฟส ที่ตั้งฉากกัน

$$\begin{aligned} v_{s\alpha ref} &= v_{sdref} \cos \theta - v_{sqref} \sin \theta \\ v_{s\beta ref} &= v_{sdref} \sin \theta + v_{sqref} \cos \theta \end{aligned}$$

เอกสารนี้เป็นเอกสารที่สงวนไว้สำหรับการใช้งานเพื่อการศึกษาเท่านั้น ไม่อนุญาตให้นำไปใช้ประโยชน์ด้านการค้าไม่ว่ากรณีใดๆ ทั้งสิ้น อีกทั้งห้ามมิให้ตัดแปลงเนื้อหา และต้องอ้างอิงถึงเจ้าของเอกสารทุกครั้งที่มีการนำไปใช้

### 2.5.2.2 schematic พื้นฐานของ FOC

ใต้อะแกรมนี้เป็นการรวมการควบคุมพื้นฐานของการควบคุมแรงบิดของ FOC



รูปที่ 2.15 schematic พื้นฐานของ foc สำหรับมอเตอร์กระแสสลับ

กระแส 2 เฟส ของมอเตอร์จะถูกวัดออกมา ซึ่งการวัดนี้จะป้อนให้กับโมดูลการแปลงค่าของ clark ซึ่งเอาท์พุทที่ได้จะแสดงค่าเป็น  $i_{\alpha}$  และ  $i_{\beta}$  ซึ่ง 2 องค์ประกอบของกระแสจะเป็นอินพุทของการแปลงของ park และจะให้ผลออกของกระแสออกมาเป็นแกนหมุนอ้างอิง d,q ซึ่งค่า  $i_{sd}$  และ  $i_{sq}$  จะถูกนำมาเปรียบเทียบกับ  $i_{sdref}$  (the flux reference) และ  $i_{sqref}$  (the torque reference) ณ จุดนี้โครงสร้างของการควบคุมนี้จะแสดงให้เห็นถึงความน่าสนใจที่เป็นประโยชน์มันสามารถใช้ในการควบคุมอย่างใดอย่างหนึ่ง ซึ่ง โครนัส หรือ อินดิคชั่น โดยการเปลี่ยนแปลงง่าย ๆ ของพิกซ์อ้างอิงและตำแหน่งของโรเตอร์พิกซ์ เช่น ในมอเตอร์ซิงโครนัสแบบแม่เหล็กถาวร ค่าโรเตอร์พิกซ์จะคงที่ (กำหนดโดยแม่เหล็ก) และไม่ต้องการสร้างขึ้นอีก นอกจากนั้นเมื่อเราควบคุม PMSM,  $i_{sdref}$  จะถูกเซตค่าสู่ศูนย์ อินดิคชั่นมอเตอร์ต้องการสร้างโรเตอร์พิกซ์เพื่อให้ทำงานได้ ค่ากระแสพิกซ์อ้างอิงจะไม่เป็นศูนย์ ความเหมาะสมของการแก้ปัญหาจะถูกนำไปแก้ข้อบกพร่องของโครงสร้างของการควบคุมแบบ “ classic ”

การเคลื่อนย้ายจากซิงโครนัสไปยังการขับเคลื่อนแบบซิงโครนัส คำสั่งแรงบิด  $i_{sqref}$  จะเป็นเอาท์พุทของ speed regulator เมื่อเราใช้ FOC ค่าเอาท์พุทของกระแส regular to คือ  $v_{sdref}$  และ  $v_{sqref}$  จะถูกใช้ในการแปลงแบบ inverse park ค่าเอาท์พุทคือ  $v_{\alpha}$  และ  $v_{\beta}$  ซึ่งเป็นค่าแรงดันอ้างอิงที่สั่งจากกัน นี้คือ อินพุทของสเปซเวกเตอร์ PWM ซึ่งเอาท์พุทที่ได้จากบล็อก นี้ จะเป็นสัญญาณนำไปขับ อินเวอร์เตอร์ ทั้งการแปลงแบบ park และ inverse park ต้องการตำแหน่งของโรเตอร์พิกซ์ ซึ่งตำแหน่งของโรเตอร์พิกซ์นี้จะแปรตามชนิดของ ac machine (synchronous or asynchronous) ตำแหน่งของโรเตอร์พิกซ์ พิจารณาได้จาก paragraph ต่อไป

เอกสารนี้เป็นเอกสารที่สงวนไว้สำหรับการใช้งานเพื่อการศึกษาเท่านั้น ไม่อนุญาตให้นำไปใช้ประโยชน์ด้านการค้า ไม่ว่ากรณีใดๆ ทั้งสิ้น อีกทั้งห้ามมิให้ตัดแปลงเนื้อหา และต้องอ้างอิงถึงเจ้าของเอกสารทุกครั้งที่มีการนำไปใช้

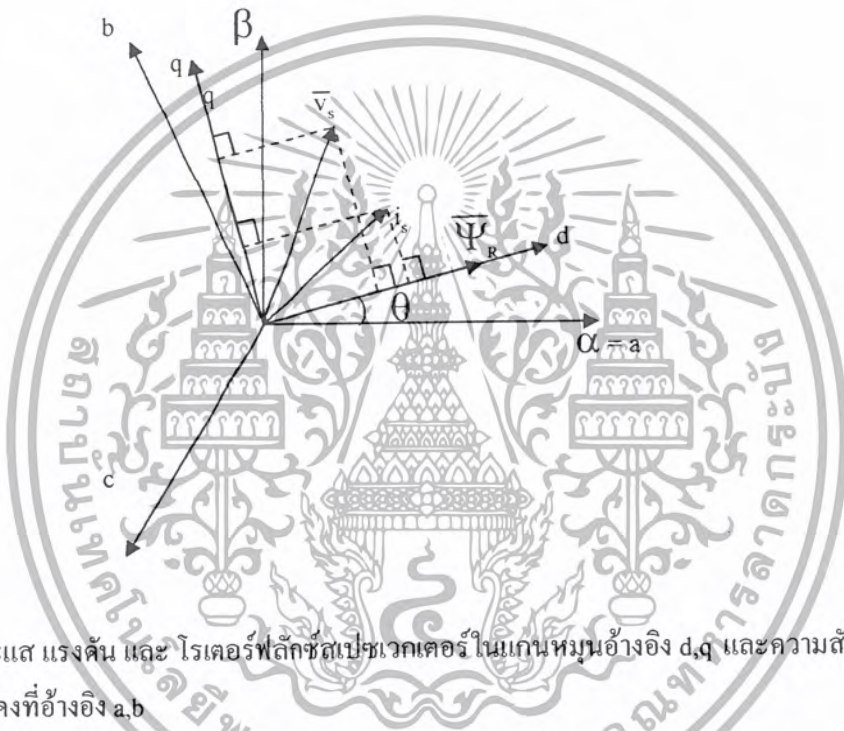
### 2.52.3 ค่าอินพุทของ FOC

ค่า fundamental ที่ FOC ต้องการคือ กระแส 2 เฟส ( มอเตอร์ต่อแบบสตาร์และกระแสสามเฟส  $i_u + i_v + i_w = 0$  ) และตำแหน่งของ โรเตอร์ฟลักซ์

- current sampling

การวัดกระแส  $i_a$  และ  $i_b$  โดยใช้การเปลี่ยนแบบ a/d converter ค่าการทำงานที่ถูกต้องของ FOC จะขึ้นอยู่กับ การวัดค่ากระแสที่ถูกต้อง

- ตำแหน่งของ โรเตอร์ฟลักซ์ ( rotor flux position )



รูปที่ 2.16 กระแส แรงดัน และ โรเตอร์ฟลักซ์ดเปซเวกเตอร์ในแกนหมุนอ้างอิง d,q และความสัมพันธ์กับ a,b,c และแกนคงที่อ้างอิง a,b

การรู้ตำแหน่งของโรเตอร์ฟลักซ์เป็นหัวใจสำคัญของ FOC ในความเป็นจริง ถ้านั้นคือค่าความผิดพลาดของการเปลี่ยนแปลงของโรเตอร์ฟลักซ์ ไม่เป็นเส้นตรงกับแกน d และ  $i_{sd}$  และ  $i_{sq}$  ( คือ ค่าฟลักซ์และค่าแรงบิด ) ที่ไม่ถูกต้องของกระแสเดเตอร์ ในไดอะแกรมนี้แสดงให้เห็นถึง ( a,b,c ), (  $\alpha, \beta$  ) และ ( d,q ) อ้างอิง และตำแหน่งที่ถูกต้องของโรเตอร์ฟลักซ์ กระแสเดเตอร์และแรงดันเดเตอร์ของสเปซเวกเตอร์ที่หมุนกับ d,q อ้างอิงที่ ซิงโครนัส

การวัดตำแหน่งของ โรเตอร์ฟลักซ์ จะแตกต่าง ถ้าเราพิจารณาซิงโครนัส หรือ อินดักชันมอเตอร์

- ใน ซิงโครนัส ค่าความเร็วของโรเตอร์ จะเท่ากับความเร็วฟลักซ์ของโรเตอร์ ดังนั้น  $\theta$  ( ตำแหน่งของโรเตอร์ฟลักซ์ ) สามารถวัดได้โดยตรงโดยตำแหน่งของ เซนเซอร์ หรือการ interaction ของความเร็วโรเตอร์

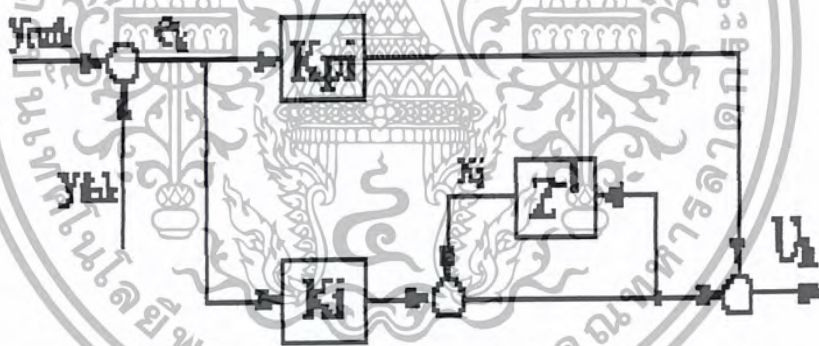
- ใน อินดักชั่น ค่า ความเร็วของโรเตอร์ ไม่เท่ากับ ความเร็วฟลักซ์ของโรเตอร์ ( มี slip speed ) ดังนั้นจึงต้องการวิธีที่จะจงที่คำนวณหา  $\theta$  วิธีพื้นฐานที่ใช้ของ โมเดลของกระแส ซึ่งต้องการสองสมการของ โมเดลของมอเตอร์ ใน dq อ้างอิง

#### 2.5.2.4 บทสรุป

FOC กลายเป็นวิธีที่เหมาะสมสำหรับการควบคุมโดยตรง และสามารถแยกการควบคุมได้ คือ แรงบิด และฟลักซ์ ของ ac machine FOC ได้นำเอาสิ่งที่เป็นประโยชน์ของ dc machine การควบคุม instantaneous ของปริมาณที่แยกกันยอมให้การจัดการที่แม่นยำของสภาวะเริ่มต้น และสภาวะคงตัวในการเพิ่มสิ่งที่เป็นประโยชน์นี้ field orient control ของ ac machine แก้ปัญหา mechanical commutation โดยธรรมชาติเกี่ยวกับ dc machine

#### 2.5.3 การควบคุมแบบ PI

electrical drive บนพื้นฐานของ FOC ต้องการค่าคงที่ 2 ตัวในการควบคุมพารามิเตอร์ ค่าองค์ประกอบ แรงบิดอ้างอิง  $I_{sdref}$  และค่าองค์ประกอบฟลักซ์อ้างอิง  $I_{sdref}$  การควบคุมแบบ PI เหมาะสมที่จะทำการปรับ feed lack ของ ฟลักซ์ และ แรงบิดตามค่าที่ต้องการ และสามารถบรรลุถึงค่าคงที่อ้างอิงโดยจะเซตทั้งเทอมของ P ( $K_{pi}$ ) และเทอมของ I ( $K_i$ ) ซึ่งระยะเบี่ยงตามลำดับสำหรับการตรวจจับค่า error และสำหรับค่า error ในสภาวะคงตัว ระบบตัวเลขของ PI regulator ตามรูปข้างล่าง



รูปที่ 2.17 โครงสร้างของ pi regulator

จุดจำกัดอยู่ระหว่างการทำงานปกติ หรือระหว่างค่าทดสอบอ้างอิง การเปลี่ยนแปลง หรือสิ่งรบกวนภายนอก ( disturbances ) จะปรากฏเป็นผลในสภาวะอิมิตัว และค่าที่เกินของการควบคุมและเอาท์พุท ถ้าพวกมันไม่สามารถควบคุมได้ ชนิดของความเสียหายที่ไม่เป็นเชิงเส้นของสมรรถนะการเปลี่ยนแปลงของระบบที่จะแก้ปัญหานี้วิธีการหนึ่งที่เพิ่ม โครงสร้างของการแก้ไขก่อนขององค์ประกอบ การอินทิเกรตอธิบายได้ตามไคอะแกรม

เอกสารนี้เป็นเอกสารที่สงวนไว้สำหรับการใช้งานเพื่อการศึกษาเท่านั้น ไม่อนุญาตให้นำไปใช้ประโยชน์ด้านการค้า ไม่ว่ากรณีใดๆ ทั้งสิ้น อีกทั้งห้ามมิให้ตัดแปลงเนื้อหา และต้องอ้างอิงถึงเจ้าของเอกสารทุกครั้งที่มีการนำไปใช้

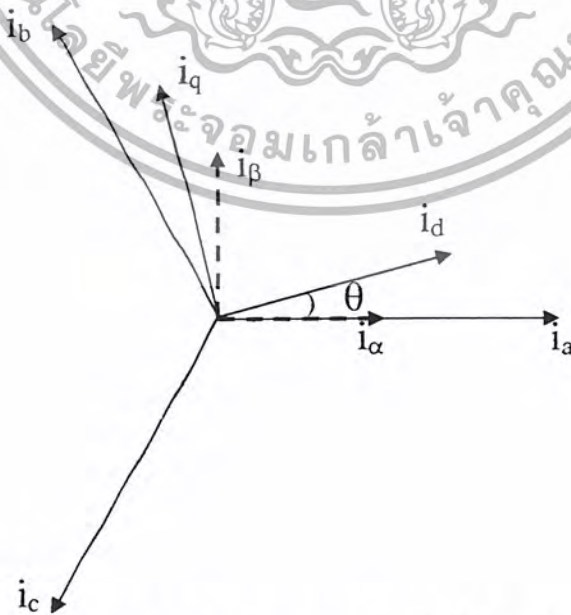
## 2.6 การแปลงแบบ CLARKE และ PARK ใน FOC

### 2.6.1 โดยทั่วไป

การแปลงแบบ CLARKE และ PARK ใช้ในสมรรถนะการขับเคลื่อนสูง ( vector control ) ซึ่งเกี่ยวกับมอเตอร์เชิงโรตารีแบบแม่เหล็กถาวร และอะซิงโครนัสมอเตอร์ในบทความนี้ผู้ใช้จะหาฟังก์ชันที่ง่ายในการแปลงของวงจร PARK และ CLARKE เพื่อประยุกต์ใช้งานต่างๆ ตลอดในการใช้ของวงจรการแปลงของ CLARKE ค่ากระแสจริง (  $I_{ds}$  ) และกระแสจินตภาพ (  $I_{qs}$  ) สามารถพิสูจน์ได้ การแปลงของ PARK สามารถใช้ในการแปลงของกระแส  $I_{ds}$  และ  $I_{qs}$  จากหุคหนึ่ง ไปยังค่าอ้างอิงแบบเคลื่อนที่และควบคุมความสัมพันธ์ระหว่างกระแสแวกเตอร์ของสเตเตอร์ และค่ากระแสฟลักซ์แวกเตอร์ของโรเตอร์

### 2.6.2 การแปลงแบบ CLARKE และ PARK ใน FOC ( clarke and park transforms in the field orientated control )

FOC ประกอบด้วยการควบคุมองค์ประกอบของกระแสสเตเตอร์ของมอเตอร์ที่แสดงโดยแวกเตอร์ ในแกนหมุนอ้างอิง d วางแนวเดียวกับฟลักซ์โรเตอร์ระบบแวกเตอร์คอนโทรลต้องการสมการของการเคลื่อนที่ของอินดักชันมอเตอร์และผลตอบแบบ instantaneous ของกระแส และ แรงดัน ใช้ในการคำนวณหาและควบคุมการเปลี่ยนแปลงแรงบิดทางไฟฟ้าของอินดักชันมอเตอร์สามารถอธิบายโดยมีผลระหว่างกระแสโรเตอร์ และคลื่นฟลักซ์เป็นผลจากการเหนี่ยวนำของกระแสสเตเตอร์ กระแสนี้จะเปลี่ยนโดยค่าของวงจรสมมูลยอธิบายในระบบแกนหมุน เรียกว่า d ตาม โรเตอร์ฟลักซ์ในการแปลงของ CLARKE ใช้กระแส 3 เฟส คือ  $i_a, i_b$  และ  $i_c$  เพื่อคำนวณกระแสสเตเตอร์ของฟิสิกส์ที่ดึงจาก  $i_\alpha$  และ  $i_\beta$  ซึ่งกระแส 2 ตัวนี้ในการจำกัดของระบบ ฟิสิกส์ ของสเตเตอร์จะถูกแปลง ไปยัง  $i_{sd}$  และ  $i_{sq}$  ในแกนของ dq โดยการแปลงของ PARK กระแส  $i_{sd}$  และ  $i_{sq}$  และมุมฟลักซ์ชั่วขณะ  $\rho$  คำนวณโดยแบบจำลองของฟลักซ์มอเตอร์ และใช้ในการคำนวณหาแรงบิด ของ อินดักชัน



รูปที่ 2.18 กระแสสเตเตอร์ในแกนหมุน d,q อ้างอิงและความสัมพันธ์กับแกนอ้างอิง a,b และ c

เอกสารนี้เป็นเอกสารที่สงวนไว้สำหรับการใช้งานเพื่อการศึกษาเท่านั้น ไม่อนุญาตให้นำไปใช้ประโยชน์ด้านการค้า ไม่ว่ากรณีใดๆ ทั้งสิ้น อีกทั้งห้ามมิให้ตัดแปลงเนื้อหา และต้องอ้างอิงถึงเจ้าของเอกสารทุกครั้งที่มีการนำไปใช้

หลังจากการแปลงค่าการเปลี่ยนแปลงของสเตเตอร์ ( กระแสและมุม ) สามารถแปลงไปยังแบบจำลองของฟลักซ์ ซึ่งแบบจำลองของฟลักซ์นี้จะถูกเปรียบเทียบกับค่าอ้างอิง และปรับปรุ่งค่าโดย PI control หลังจากการแปลงกลับจากพื้นที่ไปยังระบบ coordinate ของสเตเตอร์ค่าแรงดันเอาต์พุตจะถูกนำออกมายังเครื่องจักร โดยเป็น PWM ( pulse width modulation )

### 2.6.3 เงื่อนไขทางคณิตศาสตร์ ( mathematical consideration )

#### 2.6.3.1 เงื่อนไขทางคณิตศาสตร์ ของการแปลงแบบ CLARKE ( mathematical clarke transform )

การแปลงค่าทางคณิตศาสตร์ที่เรียกว่าการแปลงของ CLARKE นี้จะแปลงระบบ 3 เฟส ไปยังระบบ 2 เฟส ที่ตั้งฉากกัน

$$i_\alpha = \frac{2}{3} \cdot i_a + \frac{1}{3} (i_b - i_c)$$

$$i_\beta = \frac{2}{\sqrt{3}} (i_b - i_c)$$

$$i_0 = \frac{2}{3} (i_a + i_b + i_c)$$

ซึ่ง  $i_\alpha$  และ  $i_\beta$  เป็นองค์ประกอบของค่าอ้างอิงที่ตั้งฉากกัน และ  $i_0$  คือองค์ประกอบ homopolar ของระบบ

ในการประยุกต์ใช้องค์ประกอบของ homopolar จะไม่มี หรือมีความสำคัญน้อยในแนวทางนี้ การไม่มีขององค์ประกอบ homopolar ค่า สเปซเวกเตอร์  $u = u_\alpha + ju_\beta$  แทนค่าสัญญาณอินพุต 3 เฟส ของระบบเดิมเงื่อนไขปัจจุบัน ซึ่ง  $i_\alpha$  จะทับซ้อนกับ  $i_\beta$  และ  $i_a + i_b + i_c = 0$  ซึ่งเงื่อนไขนี้  $i_a, i_b$  และ  $i_c$  สามารถแปลงเป็น  $i_\alpha$  และ  $i_\beta$

โดยสมการทางคณิตศาสตร์ตามนี้

$$i_\alpha = i_a$$

$$i_\beta = \frac{1}{\sqrt{3}} \cdot i_a + \frac{2}{\sqrt{3}} \cdot i_b$$

$$i_a + i_b + i_c = 0$$

#### 2.6.3.2 เงื่อนไขทางคณิตศาสตร์ ของการแปลงแบบ PARK ( mathematical park transform ).

ค่า  $\alpha, \beta$  ของ 2 เฟส คำนวณโดยการแปลงของ CLAKE และป้อนให้กับบล็อคของเวกเตอร์แบบหมุนเมื่อมันหมุนที่มุม  $\theta$  และ อยู่ในแกน dq และเกี่ยวข้องกับฟลักซ์ของโรเตอร์ การหมุนที่มุม  $\theta$  เป็นไปตามสูตร

$$i_{sd} = i_{\alpha} \cdot \cos(\theta) + i_{\beta} \cdot \sin(\theta)$$

$$i_{sq} = -i_{\alpha} \cdot \sin(\theta) + i_{\beta} \cdot \cos(\theta)$$

2.6.3.3 เงื่อนไขทางคณิตศาสตร์ ของการแปลงแบบ inverse PARK และ CLAKE ( mathematical invers park and clarke transforms ).

ค่าเวกเตอร์ในแกน d q จะถูกเปลี่ยนจากแกน d q ไปยังระบบ 2 เฟส  $\alpha, \beta$  แสดงการคำนวณมุม  $\theta$  แบบหมุนสูตร

$$i_{\alpha} = i_{sd} \cdot \cos(\theta) - I_{sq} \cdot \sin(\theta)$$

$$i_{\beta} = i_{sd} \cdot \sin(\theta) + i_q \cdot \cos(\theta)$$

การเปลี่ยนแปลงจากระบบ 2 เฟส ที่ตั้งฉากกัน  $\alpha, \beta$  ไปยังระบบ 3 เฟส จะใช้สมการ

$$i_a = i_{\alpha}$$

$$i_b = -\frac{1}{2} \cdot i_a + \frac{\sqrt{3}}{2} \cdot i_{\beta}$$

$$i_c = -\frac{1}{2} \cdot i_a - \frac{\sqrt{3}}{2} \cdot i_{\beta}$$

2.6.3.4 ผลรวมของการแปลง.

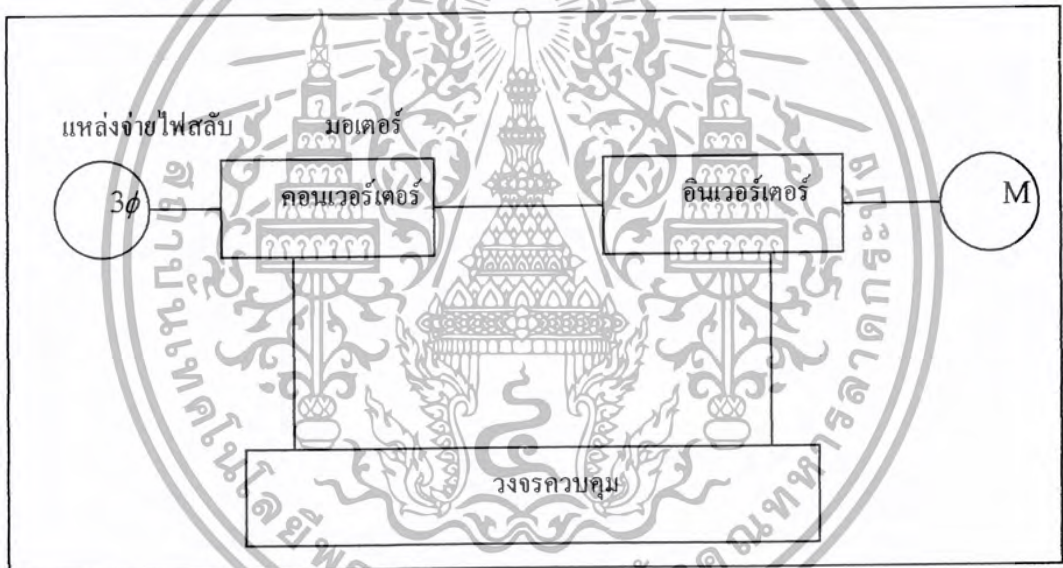
a,b,c $\rightarrow$ $\alpha, \beta$	d,q $\rightarrow$ $\alpha, \beta$
$i_{\alpha} = \frac{2}{3} \cdot i_a - \frac{1}{3} (i_b - i_c)$ $i_{\beta} = \frac{2}{\sqrt{3}} \cdot (i_b - i_c)$ $i_0 = \frac{2}{3} (i_a + i_b + i_c)$	$i_{\alpha} = i_{sd} \cdot \cos(\theta) - I_{sq} \cdot \sin(\theta)$ $i_{\beta} = i_{sd} \cdot \sin(\theta) + i_q \cdot \cos(\theta)$
$\Rightarrow$	
$i_{\alpha} = i_a$ $I_{\beta} = \frac{1}{\sqrt{3}} \cdot i_a + \frac{2}{\sqrt{3}} \cdot i_b$ $i_a + i_b + i_c = 0$	
$\alpha, \beta \rightarrow d, q$	$\alpha, \beta \rightarrow a, b, c$

เอกสารนี้เป็นเอกสารที่สงวนไว้สำหรับการใช้งานเพื่อการศึกษาเท่านั้น ไม่อนุญาตให้นำไปใช้ประโยชน์ด้านการค้า ไม่ว่าจะกรณีใดๆ ทั้งสิ้น อีกทั้งห้ามมิให้ตัดแปลงเนื้อหา และต้องอ้างอิงถึงเจ้าของเอกสารทุกครั้งที่มีการนำไปใช้

### บทที่ 3

#### วงจรส่วนกำลัง

ส่วนฮาร์ดแวร์ (hardware) ที่จะกล่าวถึงคือส่วนของวงจรกำลัง (power) ทั้งหมดตั้งแต่ส่วนรับไฟกระแสสลับจากแหล่งไฟตามปกติ เข้ามาแปลงเป็นไฟกระแสตรงโดยอาศัยชุดคอนเวอร์เตอร์ (converter) หลังจากนั้นไฟตรงจะถูกแปลงเป็นไฟกระแสสลับอีกทีโดยอาศัยชุดสวิทช์ซิ่ง (switching) เพื่อให้ได้ความถี่และแรงดันที่ต้องการ ซึ่งเรียกอีกอย่างหนึ่งว่าวงจรอินเวอร์ (inverter) วงจรทั้งสองส่วนนี้เป็นส่วนสำคัญในการทำหน้าที่แปลงรูปคลื่นและส่งผ่านพลังงานของอินเวอร์เตอร์นอกจากนั้นยังมีส่วนของวงจรป้องกัน (protection) ป้องกันกระแสและแรงดันเกิน แรงดันตก ที่จะมีผลทำให้อุปกรณ์ภายใน หรือมอเตอร์ที่เราควบคุมเสียหายได้ โดยเฉพาะ ไอจีบีที (isolated gate bipolar transistor)

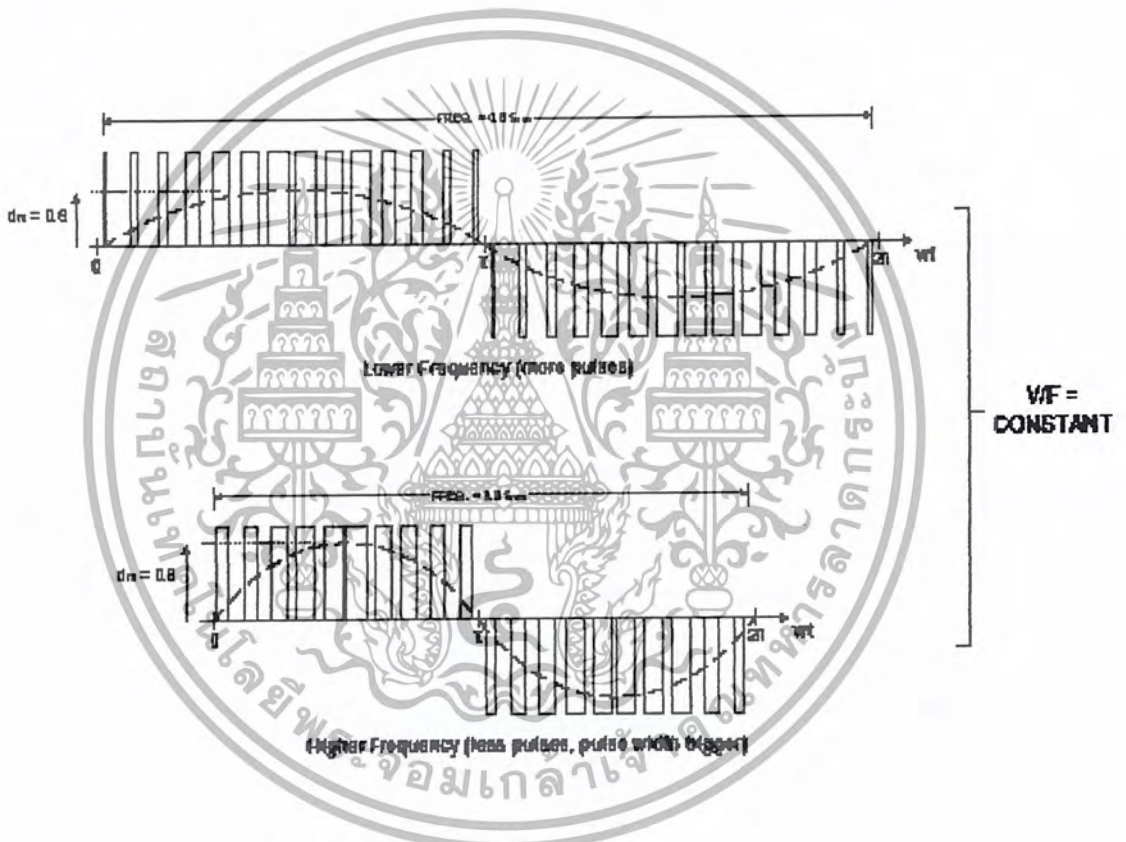


รูปที่ 3.1 โครงสร้างของอินเวอร์เตอร์

คอนเวอร์เตอร์ทำหน้าที่แปลงไฟฟ้ากระแสสลับเป็นไฟฟ้ากระแสตรงเป็นอุปกรณ์แปลงไฟฟ้าชนิดหนึ่ง ส่วนอินเวอร์เตอร์ จะแปลงไฟฟ้ากระแสตรงเป็นไฟฟ้ากระแสสลับ ทั้งสองส่วนจะมีองค์ประกอบที่แตกต่างกัน โดยเฉพาะอินเวอร์เตอร์นั้นจะใช้ ไอจีบีที เป็นอุปกรณ์ในการสวิทช์ซิ่ง ซึ่งมีความถี่การทำงานที่ความถี่สูง ๆ ได้เป็นอย่างดีในการที่เราจะใช้ความถี่ประมาณ 10 Hz ถ้าใช้ทรานซิสเตอร์ (transistor) ทั่วไปจะทำงานได้ไม่ดีเพราะมีช่วงเวลาหน่วง (Delay Time) มากในการเปิด และปิด ถึงแม้จะมีการพัฒนาทรานซิสเตอร์ให้ใช้งานที่ความถี่สูงแล้วก็ตาม ข้อดีอีกอย่างหนึ่งของไอ

เอกสารนี้เป็นเอกสารที่สงวนไว้สำหรับการใช้งานเพื่อการศึกษาเท่านั้น ไม่อนุญาตให้นำไปใช้ประโยชน์ด้านการค้า ไม่ว่าจะกรณีใดๆ ทั้งสิ้น อีกทั้งห้ามมิให้ดัดแปลงเนื้อหา และต้องอ้างอิงถึงเจ้าของเอกสารทุกครั้งที่มีการนำไปใช้

จีบีที คือสามารถรับกระแสสูงๆ จากข้อดีทั้งสองข้อที่มีมาจากทรานซิสเตอร์ทั่วๆไปเราจึงเลือกใช้ไอจีบีที นอกจากนี้แล้วจะช่วยในการลดเสียงรบกวนที่เกิดที่เกดจาก สวิตซ์ซิ่ง ได้เนื่องจากความถี่ที่เราใช้นั้นสูงกว่าที่คนเราจะได้ยิน การที่เราเลือกใช้ความถี่สูงๆในการสวิตซ์ซิ่ง เพราะเนื่องจากว่ายิ่งใช้ความถี่ในการเปิด-ปิดมากเท่าใด ก็สามารถแปลงไฟฟ้ากระแสตรงเป็นไฟฟ้ากระแสสลับเลียนแบบ รูปกราฟ (wave form) ของซายน์ ได้ใกล้เคียงและละเอียดมากเท่านั้น ซึ่งเป็นผลดีต่อการควบคุมมอเตอร์ (motor) ทั้งในด้านความเร็วและแรงบิด ในขณะที่มอเตอร์มีการหมุนเร็วๆ เราจะได้โดยการผลิตไฟฟ้ากระแสสลับความถี่สูง คาบจะแคบทำให้สร้างสัญญาณเลียนแบบซายน์ได้ใกล้เคียง โดยที่ความถี่ในการสวิตซ์ไม่ต้องสูงมาก แต่ถ้าเราจะควบคุมมอเตอร์ให้หมุนช้าๆ เราจะต้องป้อนไฟฟ้ากระแสสลับความถี่ต่ำทำให้คาบกว้าง ถ้าใช้ความถี่ค่าเดิมนั้นจะไม่สามารถสร้างคลื่นเลียนแบบได้สวยดังรูป



รูปที่ 3.2 การควบคุมคลื่นแรงดัน

### 3.1 ไอจีบีทีและการป้องกัน

วงจรมอเตอร์ถูกป้องกันไอจีบีที จากการเปิดปิดอย่างรวดเร็วโดยใช้แรงดัน transient

การปิด ไอจีบีที การสวิตซ์กระแสสูงๆในช่วงเวลาสั้นๆ ก่อให้เกิดความเสียหายจากแรงดัน transient สำหรับชุดอินเวอร์เตอร์ที่ใช้กระแสสูงๆ จะประกอบด้วย ไอจีบีที หลายตัวต่อขนานกัน กระแสไหลจะแบ่งผ่าน ไอจีบีที ที่ต่อขนานเท่าๆกัน ทำให้กระแสไหลค้ผ่าน ไอจีบีที แต่ละตัวลดลง อัตรา  $di/dt$

เอกสารนี้เป็นเอกสารที่สงวนไว้สำหรับการใช้งานเพื่อการศึกษาเท่านั้น ไม่อนุญาตให้นำไปใช้ประโยชน์ด้านการค้า ไม่ว่ากรณีใดๆ ทั้งสิ้น อีกทั้งห้ามมิให้ตัดแปลงเนื้อหา และต้องอ้างอิงถึงเจ้าของเอกสารทุกครั้งที่มีการนำไปใช้

ก็ลดลง อัตรา  $di/dt$  มีหน่วยเป็น 2 - 3000 Amp/ms การใส่ใจในจุดนี้จึงควรป้องกันอุปกรณ์ไม่ให้เกิดความเสียหาย โดยในที่นี่จะกล่าวเฉพาะ คีลป์ลิ่งคาปาซิเตอร์ เพราะเหมาะสมกับกระแสปานกลางที่ใช้ คีลป์ลิ่งคาปาซิเตอร์จากที่กล่าวมาในขั้นต้นขนาดของแรงดันทรานเซียน ขึ้นอยู่กับพลังงานในรูปสเตรย์อินดักแตนซ์ หรือเรียกว่า คีลป์ลูปอินดักแตนซ์ ('Dc loop' inductance,)  $L_s$  การป้องกันนี้จะต้องปรับปรุงการจัดวงจร การใช้แผ่นทองแดงบางทำให้ลดขนาดของ คีลป์ลูป และการเลือกใช้คาปาซิเตอร์ที่มีค่าความเหนี่ยวนำต่ำเป็นวิธีที่ทำให้ stray inductance ต่ำลง ใช้คาปาซิเตอร์ต่อที่ เทอร์มินอล (terminal) ดังในรูป 3.3 ซึ่งจะพบว่า เป็นประโยชน์สำหรับการใช้กระแสต่ำๆ ถึง ปานกลาง ( high-frequency polypropylene film capacitors ถูกออกแบบให้ใช้กับ ไอจีบีที ที่ต่อในระยะเวลาที่เหมาะสมกับการต่อโดยตรง ) อินดักแตนซ์ภายใน (internal inductance) จะมีผลน้อยมาก รูป 3.4a , 3.4b , 3.5a และ 3.5b แสดงการเปิด - ปิดรูปกราฟ ที่ใช้และไม่ใช้คาปาซิเตอร์ขนาด 1  $\mu F$  ในการคีลป์ลิ่ง



รูปที่ 3.3 คีลป์ลิ่งคาปาซิเตอร์

รูปทั้งหมดนี้แสดง แรงดัน ที่ตกคร่อม ไอจีบีที (  $V_{ce}$  ), กระแส คีลป์ลิ่ง ( เช่น  $I_c$  ในรูป 3.4a และ 3.5a และ  $I_c + I_{sn}$  ในรูป 3.4b และ 3.5b ) และ แรงดันเกต ( gate voltage,  $V_{ge}$  ) กระแสจริงที่ผ่าน ไอจีบีที ไม่ได้แสดงในรูป 3.4b และ 3.5b เมื่อต่อ คีลป์ลิ่งคาปาซิเตอร์โดยตรงแทนบนเทอร์มินอลของ โมดูล ( module ) และ เส้นทาง ( path ) ที่ไอจีบีที จะไม่สามารถวัดกระแสได้ แต่อย่างไรก็ตามเมื่อกระแสขึ้นอยู่กับ อินดักแตนซ์ภายนอก ( external inductance ),  $L_s$  ( จุดที่แตกต่างระหว่าง 2 ตัวอย่าง ) โดยสมมติว่าเกือบจะเท่ากันทั้ง 2 กรณี สามารถแสดงให้เห็นได้ภายใต้เงื่อนไขที่กำหนดความสูญเสียสวิตช์ซึ่ง ลอส ( switching loss ) ขึ้นอยู่กับ สเตรย์อินดักแตนซ์ภายนอก ( external stray inductance )

เอกสารนี้เป็นเอกสารที่สงวนไว้สำหรับการใช้งานเพื่อการศึกษาเท่านั้น ไม่อนุญาตให้นำไปใช้ประโยชน์ด้านการค้า ไม่ว่ากรณีใดๆ ทั้งสิ้น อีกทั้งห้ามมิให้ตัดแปลงเนื้อหา และต้องอ้างอิงถึงเจ้าของเอกสารทุกครั้งที่มีการนำไปใช้

จากรูปจะเห็นได้อย่างชัดเจนว่าประโยชน์ของ ดีคัปปลิ่งคาปาซิเตอร์ คือการกำจัด แรงดันทรานเซียนที่รุนแรงขณะสวิตซ์ซิ่ง และทำให้ รูปกราฟ เรียบโดยการจัดหาเส้นทาง นอนอินดักแตนซ์ (non-inductance) ขณะปิด จะลดลงไปที่ระดับ 370 V จากค่าอันตราย 570 V ในรูป 3.5a

เนื่องจากอันตรายจากการทำลายอุปกรณ์โดย แรงดันเกิน (over voltage) ความเร็วของการเปิดของ ไอจีบีที ถูกจำกัดโดยการใช้ ตัวต้านทานขากเกต (gate resister) ที่มีค่าสูงขึ้น เมื่อใช้ดีคัปปลิ่งข้อจำกัดนี้จะหมดไป ค่าของตัวต้านทานขากเกต สามารถลดค่าให้ต่ำลงได้ ดังนั้น จะทำให้ ไอจีบีทีเปิดได้เร็วกว่าและลดค่า การสูญเสียในการสวิตซ์ทั้งหมด

ค่าสแนบเบอร์คาปาซิเตอร์ (snubber capacitance) สามารถได้จากค่า อินดักแตนซ์ในวงจร,  $L_s$  ค่ากระแส สวิตซ์ซิ่ง,  $I_o$  DC rail voltage,  $V_{cc}$  และค่าที่ยอดแรงดัน (peak voltage) ที่ยอมรับได้  $V_{pk}$

$$C_{sn} = L_s * I_o / (V_{pk} + V_{cc}) \quad (1)$$

ค่าที่สูงกว่าเกณฑ์ในการเลือกคาปาซิเตอร์ อาจเป็นค่าจำกัดกระแสของ ดีคัปปลิ่งคาปาซิเตอร์ไอจีบีที การสวิตซ์ซิ่ง ไอจีบีที ทำให้เกิดการ ออสซิลเลท (oscillate) กระแสขึ้นใน ดีคัปปลิ่งระหว่างตัวดีคัปปลิ่งคาปาซิเตอร์ (de-coupling snubber current) ดังแสดงในรูป 4 และดังสมการ

$$I_{sn} = I_o e^{-\cos(bt)} \quad (2)$$

$$\text{โดย } a = R/2L_s \text{ และ } b = [4/L_s C_{sn} * (R/2L_s)^2]$$

$R$  เป็นค่า สตรีย์อินดักแตนซ์ ในรูป รวมถึง ESR ของ คาปาซิเตอร์  $I_{rms}$  หาได้จาก

$$I_{rms} = I_o (f_{sw} * L_s / R_s) \quad (3)$$

ค่าความสูญเสียใน คาปาซิเตอร์ หาได้จาก

$$ESR * I_{rms}^2 = 2 * (1/2 L_s I_o^2) * f_{sw} \quad (4)$$

ที่ความถี่สูงๆและกระแสสูงๆอาจเป็นสาเหตุทำให้เกิดความร้อนในคาปาซิเตอร์ควรเลือกคาปาซิเตอร์โดยพิจารณาค่าที่ได้จากสมการ (1) (2) สำหรับ load ที่มีกระแสถึง 150 A และการสวิตซ์ที่ความถี่ไม่มาก ดีคัปปลิ่งคาปาซิเตอร์ จะเหมาะที่จะใช้ในการป้องกันทรานเซียน (transient) ที่เกิดจากการสวิตซ์โดยปกติ

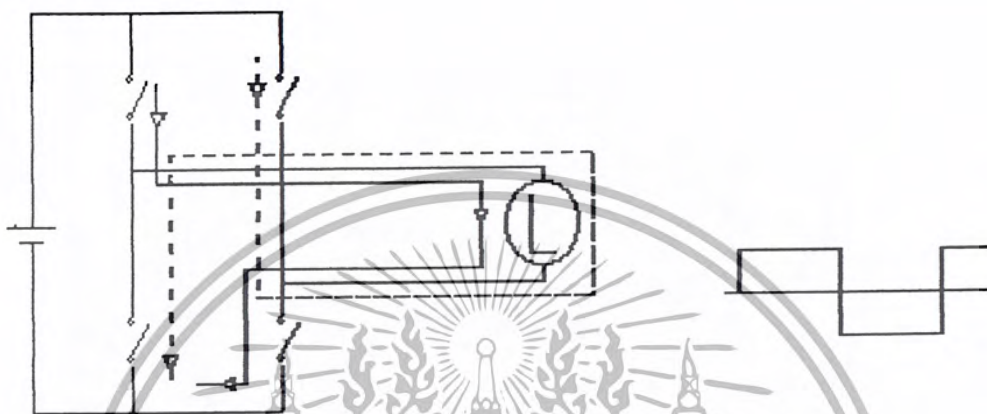
## 3.2 การทำงานของภาค อินเวอร์เตอร์

### 3.2.1 วิธีสร้างไฟสลับจากไฟตรง

อินเวอร์เตอร์เป็นอุปกรณ์ที่ผลิตไฟสลับได้จากแหล่งจ่ายไฟตรง การทำความเข้าใจกับหลักการ

เอกสารนี้เป็นเอกสารที่สงวนไว้สำหรับการใช้งานเพื่อการศึกษาเท่านั้น ไม่อนุญาตให้นำไปใช้ประโยชน์ด้านการค้า ไม่ว่าจะกรณีใดๆ ทั้งสิ้น อีกทั้งห้ามมิให้ดัดแปลงเนื้อหา และต้องอ้างอิงถึงเจ้าของเอกสารทุกครั้งที่มีการนำไปใช้

ทำงานของอินเวอร์เตอร์ควรเริ่มจากการสร้างไฟสลับเฟสเดี่ยวก่อน รูป 3.7 อธิบายหลักการการทำงาน เปลี่ยนไฟตรงเป็นไฟกระแสสลับ โดยเปลี่ยนโหลดจากมอเตอร์มาเป็นหลอดไฟเพื่อให้เข้าใจการทำงานได้ง่ายขึ้นสวิตช์ 4 ตัว S1, S2, S3, S4 ซึ่งค่ออยู่ระหว่างแหล่งจ่ายไฟตรงและโหลด จะเปิดปิดสลับกันเป็นจังหวะเพื่อสร้างไฟสลับจ่ายแก่หลอดไฟ ตามรูป 3.8

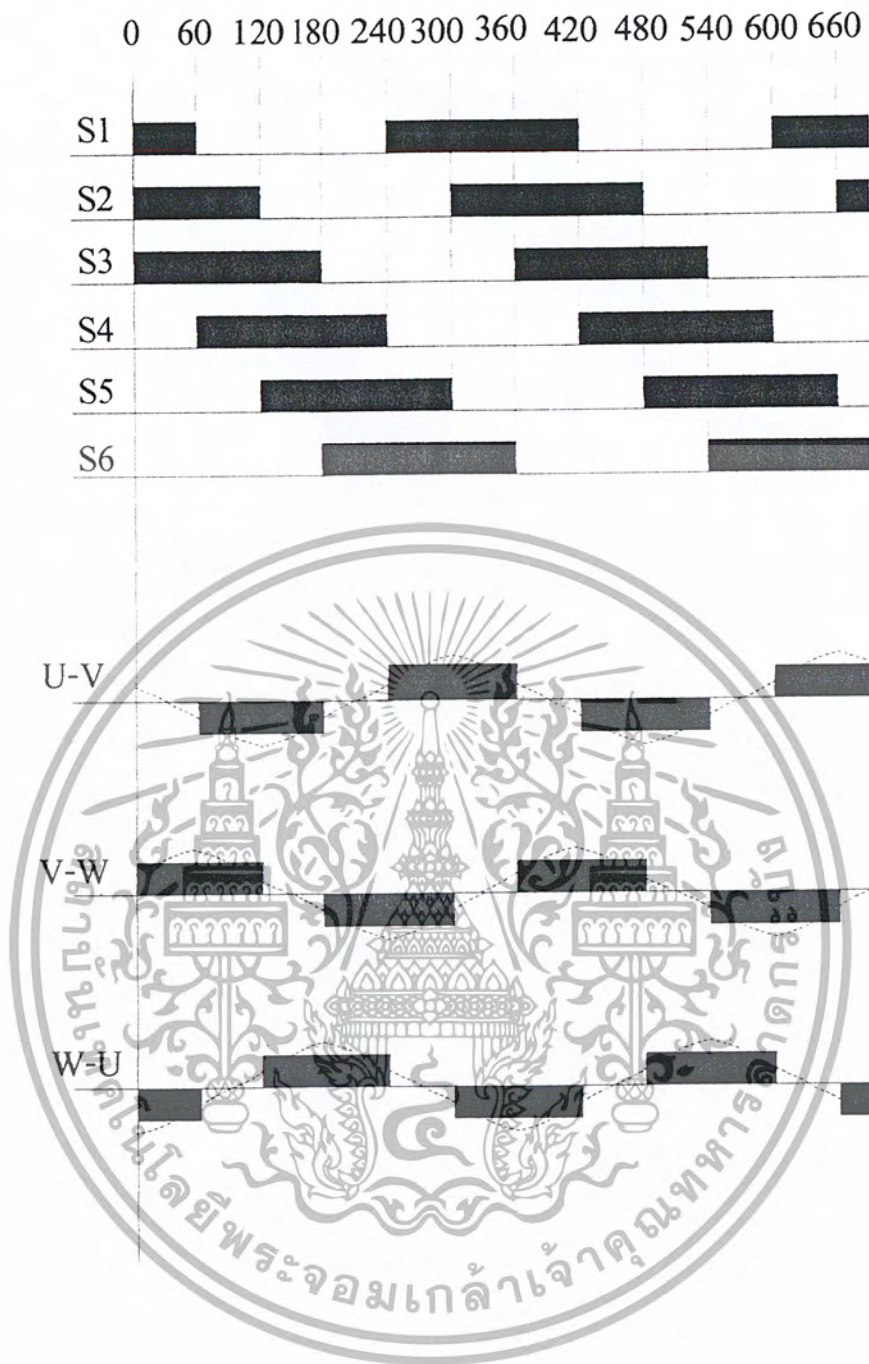


รูปที่ 3.4 วิธีการสร้างไฟสลับ

รูปที่ 3.5 รูปคลื่นกระแส

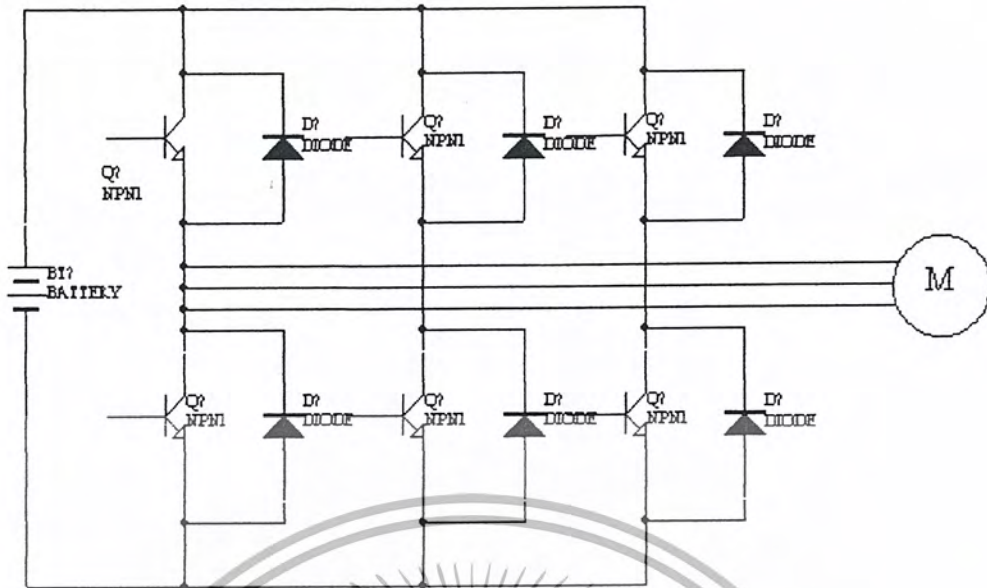
เมื่อสวิตช์ s1 และ s4 ปิด จะมีกระแสวิ่งผ่านหลอดไฟและสวิตช์ตามทิศทาง A เมื่อสวิตช์ s2 และ s3 ปิด จะมีกระแสไหลผ่านหลอดไฟ และสวิตช์ตามทิศทาง B ซึ่งย้อนกลับทิศทาง A ดังนั้นถ้าทำให้สวิตช์ S1 และ S4 ปิดเปิดสลับกับสวิตช์ S2 และ S3 ก็จะทำให้เกิดกระแสไหล ไปที่หลอดกลับทิศทางกัน สลับไปมาเป็นไฟสลับนั่นเอง

### 3.2.3 กรณีไฟ 3 เฟส



รูปที่ 3.6 การสร้างไฟสลับ 3 เฟส

เอกสารนี้เป็นเอกสารที่สงวนไว้สำหรับการใช้งานเพื่อการศึกษาเท่านั้น ไม่อนุญาตให้นำไปใช้ประโยชน์ด้านการค้า  
ไม่ว่ากรณีใดๆ ทั้งสิ้น อีกทั้งห้ามมิให้ตัดแปลงเนื้อหา และต้องอ้างอิงถึงเจ้าของเอกสารทุกครั้งที่มีการนำไปใช้

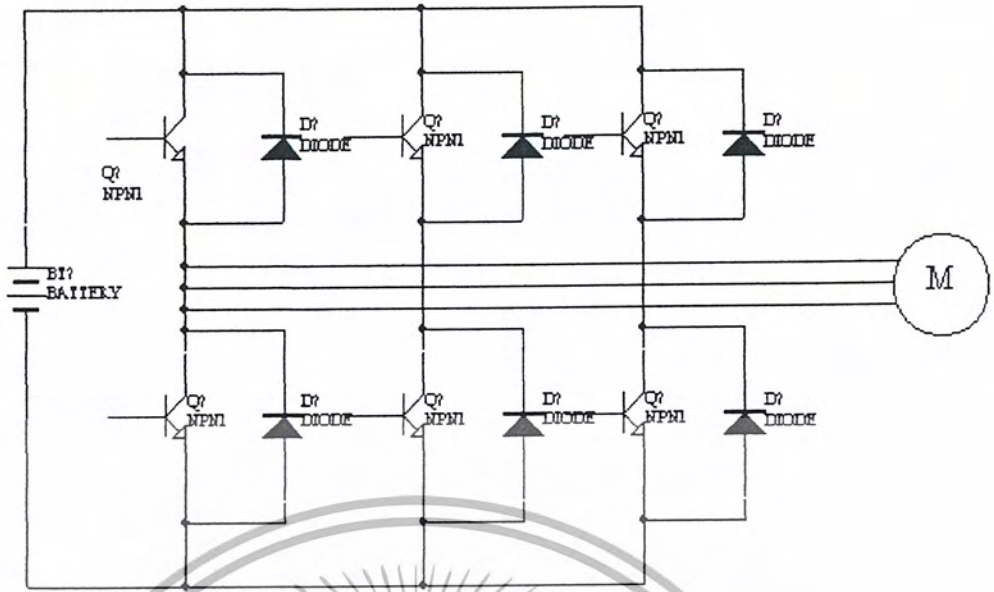


รูปที่ 3.7 วงจรอินเวอร์เตอร์สามเฟสพื้นฐาน

ถ้าให้สวิตช์  $s_1$  ถึง  $s_2$  ในวงจรตามจังหวะที่แสดงในรูป ก็จะมีกระแสไหลผ่านขั้ว U-V, V-W และ W-U ของมอเตอร์ ตามรูปคลื่นที่แสดงในรูป รูปคลื่นของกระแสจะทำให้ความกว้างของไฟสลับ และช่วงห่างระหว่างคลื่นเท่ากัน ถ้าเลื่อนช่วงเวลาของการเปิดสวิตช์เหล่านี้ ก็จะทำให้ความถี่ของกระแสสลับเปลี่ยนได้ และถ้าเปลี่ยนขนาดของแรงดันไฟตรง ก็จะทำให้ขนาดของแรงดันไฟสลับของรูปคลื่นเปลี่ยนได้เช่นกัน

### 3.2.4 โครงสร้างของส่วนที่เป็นวงจรอินเวอร์เตอร์

อินเวอร์เตอร์จะใช้แกนสวิตช์ทั้ง 6 ตัว ดังที่แสดงในรูป เมื่อต่อกับมอเตอร์ 3 เฟส และควบคุมให้ เกิดตามจังหวะในรูป ก็ทำให้มอเตอร์หมุนได้ และถ้าเปลี่ยนลำดับการเกิดของ ไอจีบีที ก็สามารถทำให้มอเตอร์หมุนกลับทางได้

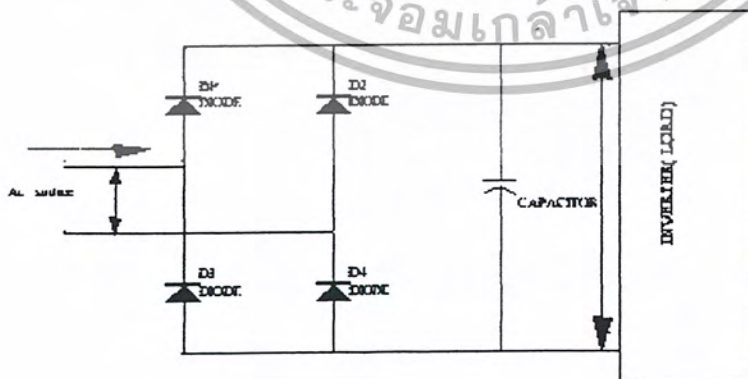


รูปที่ 3.8 อินเวอร์เตอร์ที่ใช้ทรานซิสเตอร์

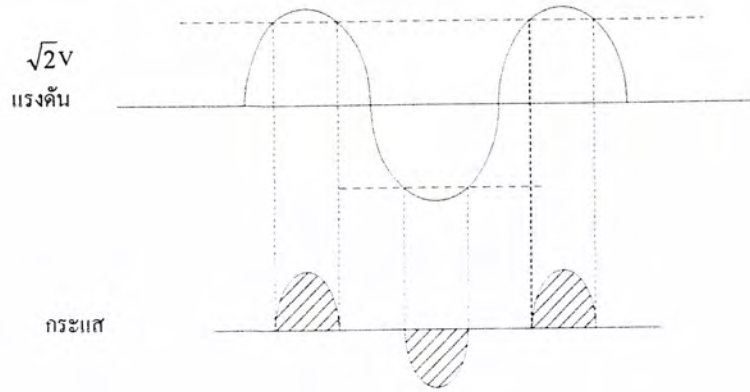
### 3.3 การทำงานภาค คอนเวอร์เตอร์

สิ่งที่ได้กล่าวมาแล้วว่าแหล่งจ่ายไฟตรงที่ป้อนเป็น อินพุท (input) ของอินเวอร์เตอร์นั้นผลติมาจากคอนเวอร์เตอร์ วงจรส่วนนี้จะทำหน้าที่แปลงไฟกระแสสลับเป็น ไฟกระแสตรง วงจรประกอบด้วย ส่วนที่สำคัญคือ

1. ส่วนคอนเวอร์เตอร์
2. ส่วนคอนเดนเซอร์ (condenser)
3. วงจรจำกัดกระแสอินพุท (inrush)



เอกสารนี้เป็นเอกสารที่สงวนไว้สำหรับการใช้งานเพื่อการศึกษาเท่านั้น ไม่อนุญาตให้นำไปใช้ประโยชน์ด้านการค้า  
ไม่ว่ากรณีใดๆ ทั้งสิ้น อีกทั้งห้ามมิให้ตัดแปลงเนื้อหา และต้องอ้างอิงถึงเจ้าของเอกสารทุกครั้งที่มีการนำไปใช้



รูปที่ 3.9 วงจรภายในของคอนเวอร์เตอร์

### 3.3.1 หลักการทำงานของคอนเวอร์เตอร์

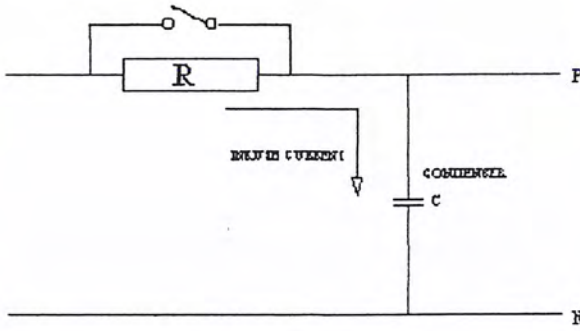


รูปที่ 3.10 หลักการทำงานของคอนเวอร์เตอร์ ซึ่งแปลงไฟสลับเฟสเดียวเป็นไฟตรงอิมพีดิ้ง คลื่นกระแสไฟสลับขาเข้า

อินพุทของคอนเวอร์เตอร์เป็นไฟสลับรูปกราฟซายน์ มีค่า RMS =  $V$  ( ค่ายอด =  $\sqrt{2} * v$  ) ถ้าให้แรงดันขาออกของคอนเวอร์เตอร์มีค่าเท่ากับ  $E$  จากรูป 2.13 จะเห็นว่ามีส่วนของแรงดันไฟสลับ ที่มีแรงดันสูงกว่าระดับ  $E$  ส่วนนี้มีช่วงเวลาเท่ากับ  $T1$  เป็นช่วงเวลาที่กระแสไหลผ่าน  $D1$  และไหลกลับทาง  $D4$  แรงดันไฟสลับส่วนที่เป็นลบ ช่วงเวลาที่แรงดันต่ำกว่าระดับ  $-E$  คือช่วงเวลา  $T2$  ช่วงเวลานี้กระแสจะไหลเข้าทางไดโอด  $D2$  และกระแสไหลกลับทาง  $D3$  ตามในรูป

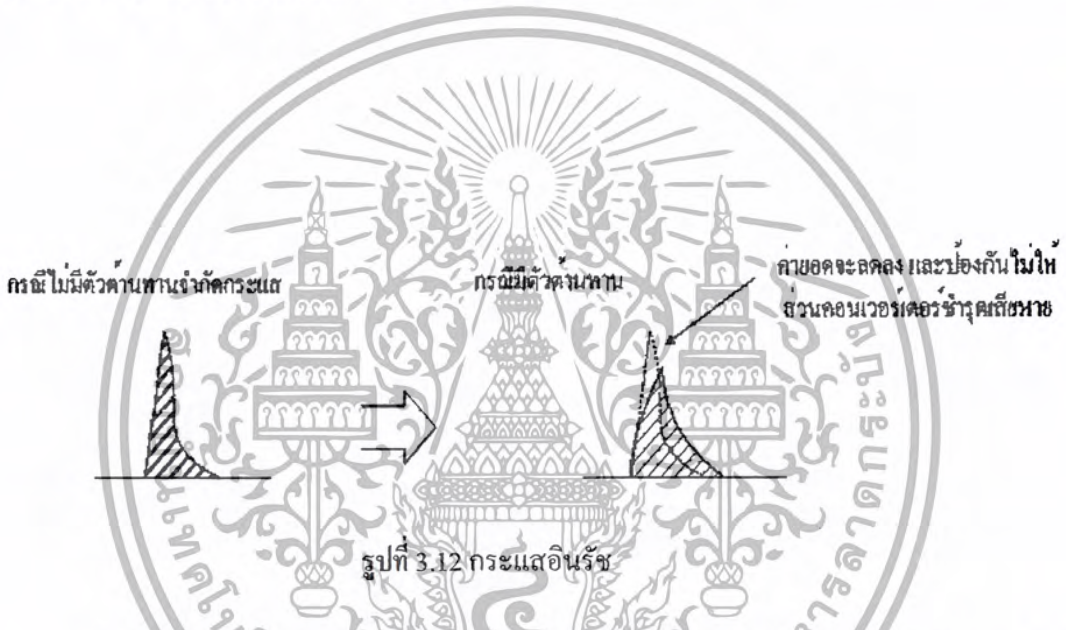
### 3.3.2 กระแสขาเข้าเมื่อเปิดสวิตช์

เมื่อเปิดสวิตช์อินเวอร์เตอร์ครั้งแรก จะต้องมีการชาร์จ (Charge) ประจุให้แก่



รูปที่ 3.11 วงจรจำกัดขนาดกระแสอินรัช

คอนเดนเซอร์จึงมีกระแสเข้ามาขนาดใหญ่ ไหลเข้ามาในวงจร ดังนั้นจึงจำเป็นต้องมีการจำกัดกระแสอินรัช ( Inrush current ) โดยใช้วงจร ในรูป3.15



รูปที่ 3.12 กระแสอินรัช

เมื่อกระแสประจุคอนเดนเซอร์จนเต็มแล้ว จึงใช้น้ำสัมผัสรีเลย์ตัดวงจรความต้านทานจำกัดกระแสในเวลาไม่ต่ำกว่า 50 มิลลิวินาที

ถ้าค้อน้ำสัมผัส ( contactor ) เปิดปิดไฟเข้าอินเวอร์เตอร์ทุกครั้งที่เปิดจะมีกระแสไหลเข้าคอนเวอเตอร์ ถ้าเปิดปิดบ่อยๆอายุการใช้งานของคอนเวอเตอร์จะลดลง ดังนั้นไม่ควรเปิดปิด บ่อยๆ เพราะว่คอนเวอเตอร์จะมีหน้าที่สร้างแรงดันไฟกระแสตรงเท่านั้น การเริ่มหมุนมอเตอร์ เป็นหน้าที่ของอินเวอร์เตอร์เท่านั้น

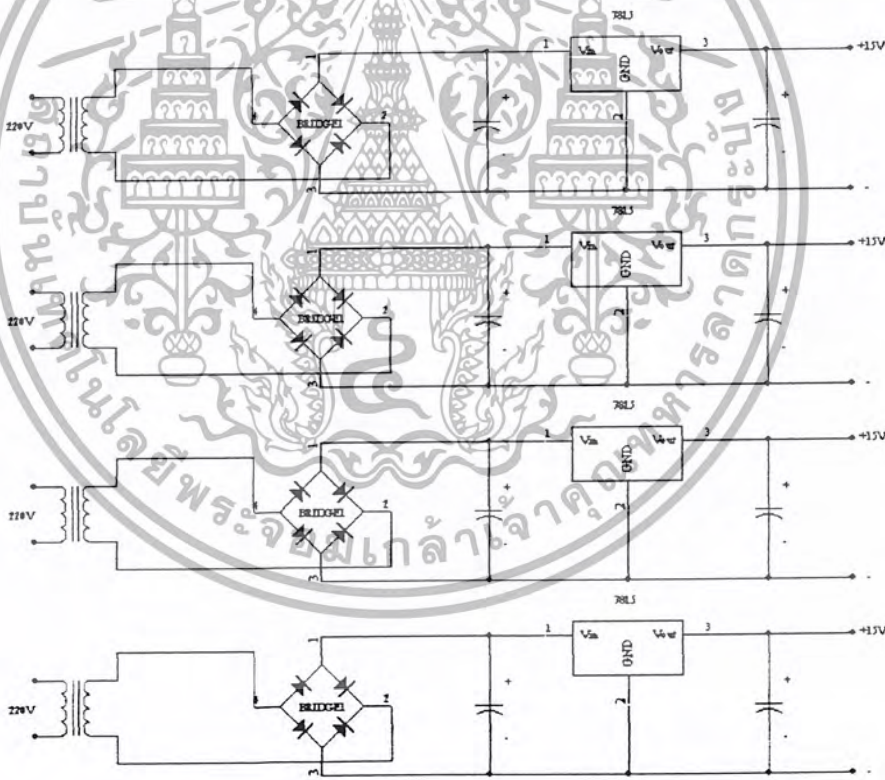
3.4 การสร้างและคำนวณ

- บริดจ์เรกติไฟเออร์(bridge rectifier)ซึ่งเราจะเลือกใช้ขนาด 600 โวลท์ 35 แอมแปร์ ในการแปลงแรงดันกระแสสลับเป็นกระแสตรง
- อินเวอร์เตอร์ที่ใช้กับมอเตอร์ 1 แรงม้า 3 เฟส 380 โวลท์

เอกสารนี้เป็นเอกสารที่สงวนไว้สำหรับการใช้งานเพื่อการศึกษาเท่านั้น ไม่อนุญาตให้นำไปใช้ประโยชน์ด้านการค้า ไม่ว่าจะกรณีใดๆ ทั้งสิ้น อีกทั้งห้ามมิให้ตัดแปลงเนื้อหา และต้องอ้างอิงถึงเจ้าของเอกสารทุกครั้งที่มีการนำไปใช้

- ตัวต้านทานคายประจุขณะหยุดวงจรเมื่อตัวเก็บประจุตัวเก็บประจุครั้งแรก ซึ่งจะมีค่าสูงมาก เพราะผลจากอัตราการเปลี่ยนแปลงของแรงดัน มีค่า 10 w 50กิโโอม์ เพื่อทำการคายประจุที่เหลืออยู่ในตัวเก็บประจุ และป้องกันอันตรายจากการไปสัมผัสกับขั้วของตัวเก็บประจุ
- ชุดโมดูลกำลัง ( power module ) ชุดนี้เป็นชุดที่ทำหน้าที่ในการเปิดปิดไฟฟ้ากระแสตรงที่รับมาจากตัวเก็บประจุ ที่ทำหน้าที่เรียงกระแสเพื่อทำให้เป็นไฟฟ้ากระแสสลับเข้าตัวมอเตอร์ โดยรับสัญญาณการเปิดปิดมาจากไมโครคอนโทรลเลอร์ผ่านชุดขับอีกที ภายในชุดโมดูลกำลังประกอบไปด้วยไอจีบีที (IGBT) 6 ตัว พร้อมทั้งมีรีเลย์ไดโอด คู่คร่อมที่ขาคอลเลกเตอร์ ( collector ) และมีมิเตอร์ ( emitter ) แต่ละตัว ทั้งชุดจะเปิดปิดไฟตามคำสั่งของไมโครคอนโทรลเลอร์ โมดูลกำลังที่เลือกใช้ไอจีบีทีขนาด25 แอมป์ ทนแรงดันไฟฟ้า 600 โวลท์ มีช่วงเวลาในการเปิดปิด นานที่สุด 3 ไมโครวินาที
- วงจรไฟเลี้ยงแยกกราวด์ของชุดขับไอจีบีที

จากรูปสาเหตุที่ทำให้การแยกกราวด์ของวงจรขับเพื่อให้ไอจีบีทีแต่ละตัวถูกควบคุมได้โดยเป็นอิสระต่อกัน โดยที่ไอจีบีที3 ตัวด้านบนแยกกราวด์กันแต่ ไอจีบีที ที่เหลือด้านล่างสามารถใช้กราวด์ร่วมกันได้

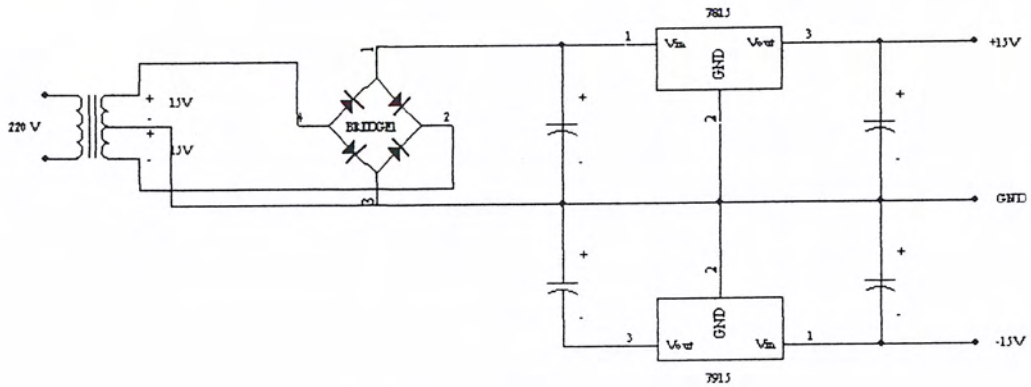


รูปที่ 3.13 แสดงไฟเลี้ยงแยกกราวด์ของชุดขับ ไอจีบีที

- ชุดไฟเลี้ยงของวงจรตรวจจังหวะสแ

ซึ่งวงจรตรวจจังหวะสแต้องการ ไฟเลี้ยงที่เป็นบวกและลบสลับหา้โวลท์

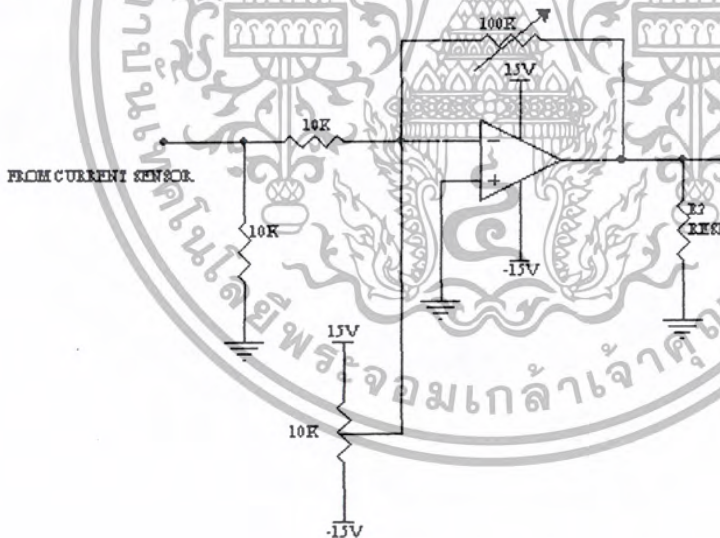
เอกสารนี้เป็นเอกสารที่สงวนไว้สำหรับการใช้งานเพื่อการศึกษาเท่านั้น เมื่อนุญาตให้นำไปใช้ประโยชน์ด้านการค้า ไม่ว่าจะกรณีใดๆ ทั้งสิ้น อีกทั้งห้ามมิให้ดัดแปลงเนื้อหา และต้องอ้างอิงถึงเจ้าของเอกสารทุกครั้งที่มีการนำไปใช้



รูปที่ 3.14 แสดงไฟเลี้ยงของวงจรตรวจจับกระแส

- วงจรตรวจจับกระแส

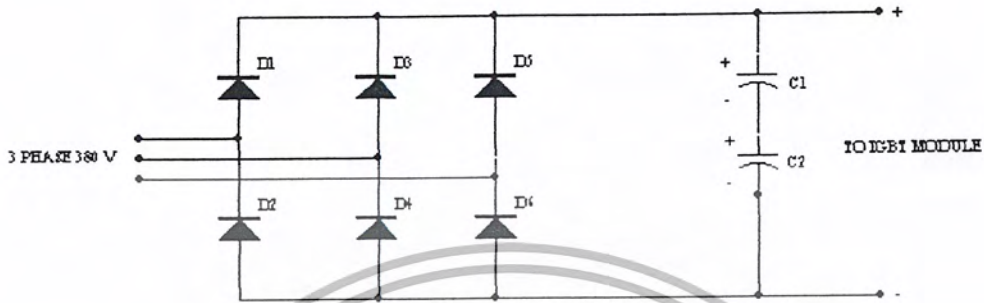
โดยจากรูปของวงจรนี้ทำการปรับค่าได้สองอย่างคือ ทำการปรับค่า ออฟเซต และทำการปรับค่าเกน ( gain ) โดยค่าเกนของวงจรมีค่า 10 เท่า และสามารถทำการปรับค่าออฟเซตโดยการยกแรงดันเอชซีขึ้นไปทำให้ไมโครคอนโทรลเลอร์สามารถมองเห็นเป็นแรงดันไฟได้ซึ่งได้โดย พอร์ตไมโครคอนโทรลเลอร์รับไฟฟ้าได้ซึ่งเข้าได้ 3.3 โวลท์



รูปที่ 3.15 รูปวงจรตรวจจับกระแส

- รูปวงจรการแปลงไฟฟ้ากระแสสลับเป็นไฟดีซีก่อนเข้าไอจีบีที

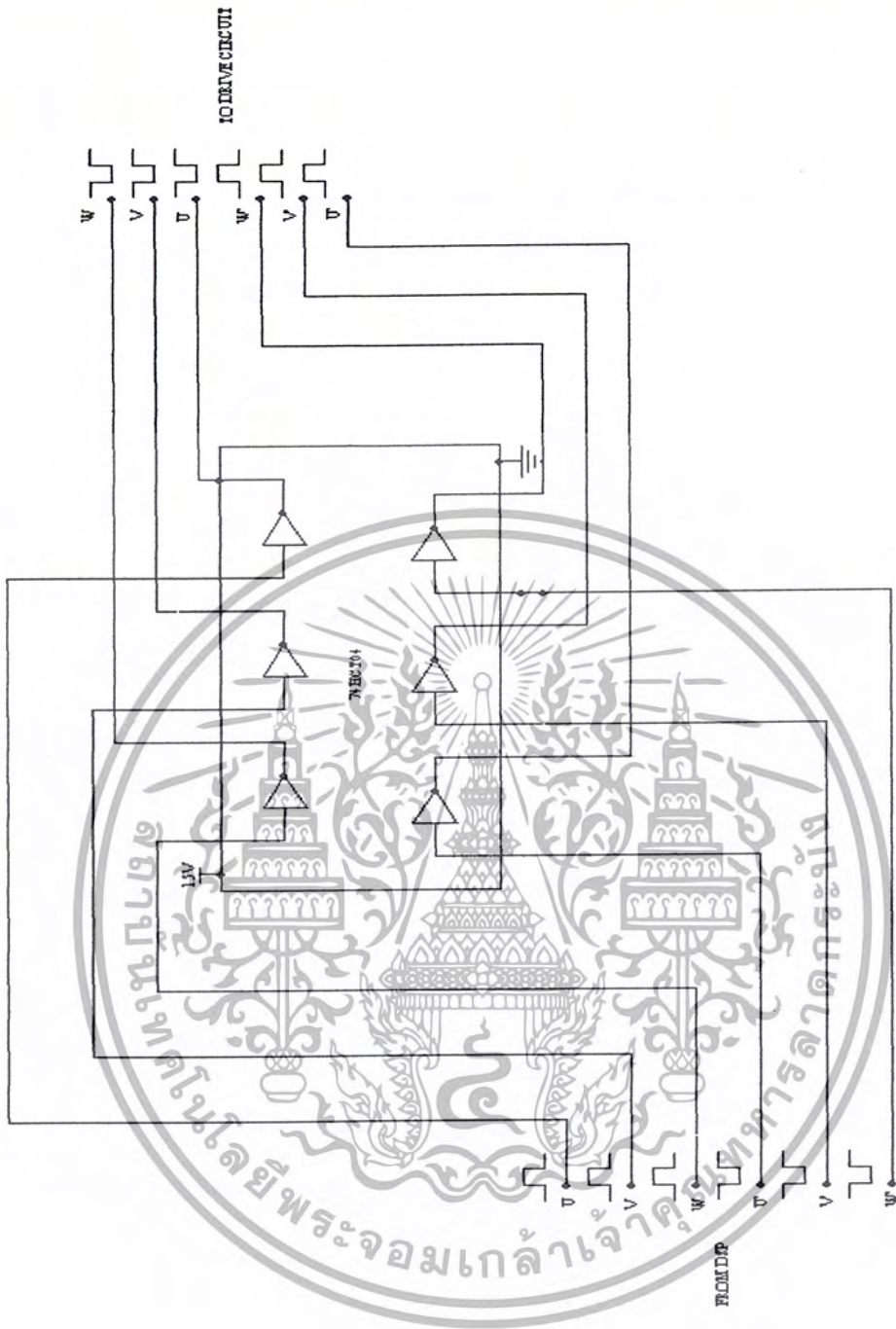
สาเหตุที่นำค่าคาปาซิเตอร์มาทำการต่ออนุกรมกันสองตัวเพราะว่าค่าปาซิเตอร์ที่ใช้มีขนาดการทนแรงดันแค่ 400 โวลต์แต่ค่าแรงดันไฟฟ้ามีขนาดถึง 520 โวลต์ซึ่งถ้าทำการต่อแบบขนานจะทำให้คาปาซิเตอร์เกิดการระเบิดเพราะแรงดันเกินได้



รูปที่ 3.16 วงจรการแปลงไฟฟ้ากระแสสลับเป็นไฟดีซีก่อนเข้าไอจีบีที

- วงจรการยกระดับสัญญาณก่อนเข้าวงจรขับ ไอจีบีที

โดยสาเหตุที่ต้องทำการยกระดับแรงดันขึ้นไปเพราะสัญญาณที่ออกมาจากคิวโมโครคอนโทรลเลอร์มีค่า 3.3 โวลต์ไม่เพียงพอที่จะนำไปขับ ไอจีบีทีได้ ต้องทำการยกระดับสัญญาณขึ้นไปเป็น 15 โวลต์เสียก่อน



รูปที่ 3.17 วงจรการขยับระดับสัญญาณก่อนเข้าวงจรขับไอจีบีที

เอกสารนี้เป็นเอกสารที่สงวนไว้สำหรับการใช้งานเพื่อการศึกษาเท่านั้น ไม่อนุญาตให้นำไปใช้ประโยชน์ด้านการค้า  
ไม่ว่ากรณีใดๆ ทั้งสิ้น อีกทั้งห้ามมิให้ตัดแปลงเนื้อหา และต้องอ้างอิงถึงเจ้าของเอกสารทุกครั้งที่มีการนำไปใช้

## บทที่ 4

### การประมวลผลสัญญาณดิจิทัล ( Digital Signal Processing )

#### 4.1 สถาปัตยกรรมของ DSP Controller เบอร์ TMS320LF2406

ตัวประมวลผลสัญญาณดิจิทัลเบอร์ TMS320LF2406 เป็นของบริษัทเทคซัสอินเตอร์เนต ( TexasInstrument ) ซึ่งถือว่าเป็นตัวควบคุมประมวลผลสัญญาณดิจิทัล ( DSP Controller ) ตระกูลแรกที่มีใช้ในเชิงพาณิชย์สำหรับประยุกต์ใช้ในงานควบคุมมอเตอร์ โดยเฉพาะโครงสร้างที่เน้นความอ่อนตัวในการประยุกต์ใช้งานด้านควบคุมมอเตอร์หลายลักษณะ เช่น มอเตอร์เหนี่ยวนำคิซิมอเตอร์แบบไร้แปลงถ่าน , ซิงโครนสมอเตอร์แบบแม่เหล็กถาวร , รีแอกแตนซ์มอเตอร์ เป็นต้น โดยใช้โครงสร้างของตัวควบคุมประมวลผลสัญญาณดิจิทัลแบบจุดทศนิยมคงที่ขนาด 16 บิต ( 16-bit fixed-point digital signal processor ) ความเร็ว 40 MIPS และเกือบทุกคำสั่งใช้เวลาในการประมวลผลเพียง 1 รอบ คือ 25ns ทางด้านฮาร์ดแวร์ภายในถูกออกแบบมาเพื่อใช้ในงานควบคุมมอเตอร์โดยเฉพาะ ซึ่งภายในประกอบด้วยอุปกรณ์รอบข้างที่ใช้ในงานควบคุมมอเตอร์ ตัวอย่างเช่น

- ตัวสร้างสัญญาณพีดับบลิวเอ็ม ( Pulse Width Modulation : PWM ) 12 ช่องอิสระ
- ตัวสร้างการประวิงเวลา ( Dead Time )
- ตัวขนาด 16 บิต 4 ช่องอิสระ
- ตัวนับพัลส์จากเอ็นโคเดอร์ เพื่อกำหนดตำแหน่ง
- ตัวคิดคอสี่ฮาร์โมนิก
- อินพุต/เอาต์พุต พอร์ท 41 ช่อง
- ตัวรับอินเทอร์รัพท์จากภายนอก 6 ช่อง
- ฮาร์ดแวร์การคูณแบบขนานขนาด  $16 \times 16$  ผลลัพธ์ 32 บิต
- หน่วยความจำ RAM ขนาด 544-16 Bit และ Flash EEPROM ขนาด  $32 K \times 16$  bit

#### 4.1 ภาคประมวลผล กลางของ TMS320LF2406

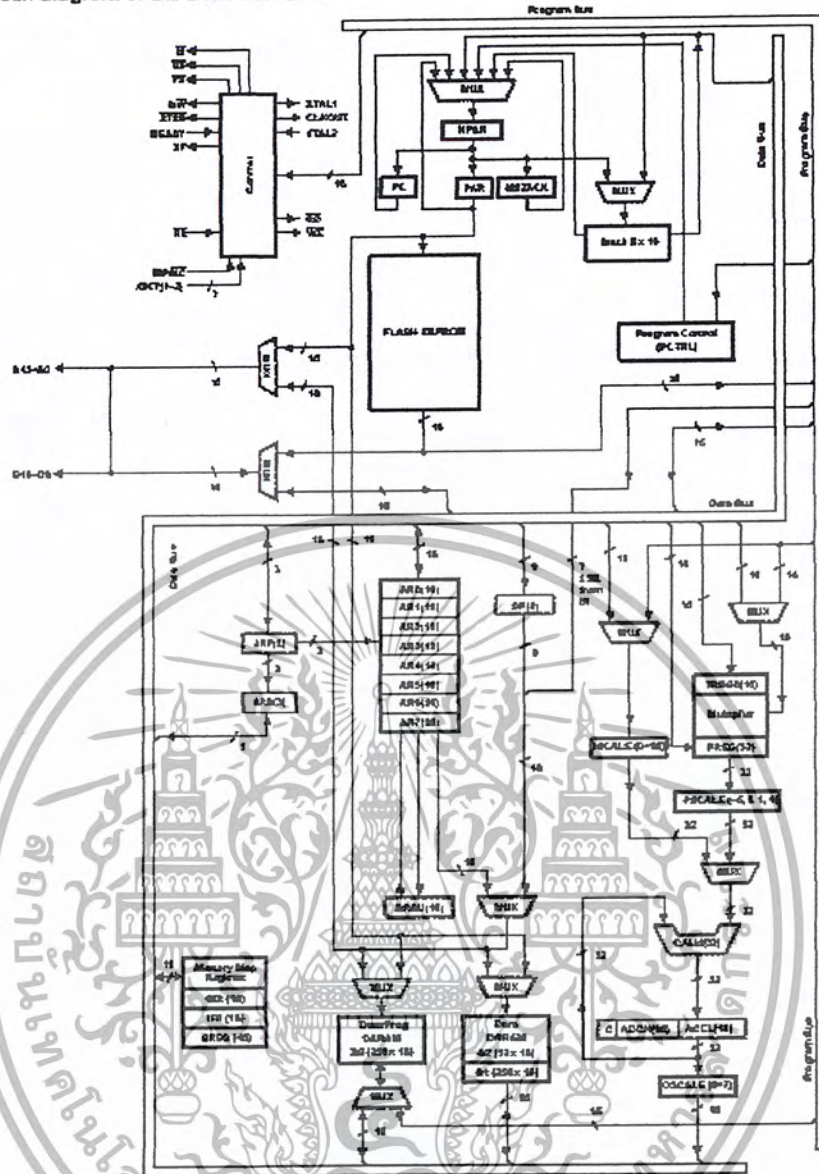
TMS320LF2406 ในสถาปัตยกรรมเป็นแบบฮาร์ดแวร์ ( Hardware Architecture ) ซึ่งแยกหน่วยความจำโปรแกรม ( Program memory ) และหน่วยความจำข้อมูล ( Data memory ) แยกอิสระออกจากกัน จึงเป็นผลให้สามารถอ่านหรือเขียน โปรแกรม และหน่วยความจำข้อมูลได้ในเวลาเดียวกัน ทำให้การทำงานต่าง ๆ มีความรวดเร็วและคล่องตัวยิ่งขึ้นและยังใช้หลักการการทำงานแบบ Pipelining โดยกระทำการ Fetch ,Decode และ Execute ในช่วงเวลาเดียวกัน ทำให้คำสั่งส่วนใหญ่ใช้เวลาในการประมวลผลเพียง 1 รอบ ( Cycle )

#### 4.2 ฟังก์ชันบล็อกไดอะแกรม ( Function Block Diagram )

ฟังก์ชันบล็อกไดอะแกรมที่แสดงตามรูปที่ 5.2 แสดงการทำงานของ TMS320LF24 โดยมีส่วนโปรแกรม เป็นทางเข้า/ออก รหัสคำสั่งและการทำโอเปอร์เรนด์ ส่วนบัสข้อมูลจะเชื่อมต่อโดยตรงกับวงจรประมวลผล เช่น CALU ( Central Arithmetic Logic Unit ) และรีจิสเตอร์ที่เป็นไฟล์ข้อมูลย่อย AR0-AR7 ซึ่งโครงสร้างการทำงานด้านวงจรมติศาสตร์จะเป็นฮาร์ดแวร์แยกอิสระ จึงทำให้กระทำการคำสั่งทางคณิตศาสตร์มีประสิทธิภาพสูงมาก ทั้งการเลื่อนบิต การทำคำสั่งคูณ/หาร หรือ คำสั่งทางลอจิก



functional block diagram of the 240x DSP CPU



รูปที่ 4.1 บล็อกโคเอแกรมของ 240 dsp cpu

#### 4.3 ลักษณะฮาร์ดแวร์ภายใน

ตารางที่ 5.1 จะสรุปลักษณะฮาร์ดแวร์ภายในของ TMS320LF2406 อันประกอบด้วยวงจรรวมผลภายในชิพรีจิสเตอร์ต่างๆ และบัส โดยจะเรียงตามอักษร  
 ตารางที่ 5.2 ลักษณะฮาร์ดแวร์ภายในของ TMS230LF2406

เอกสารนี้เป็นเอกสารที่สงวนไว้สำหรับการใช้งานเพื่อการศึกษาเท่านั้น ไม่อนุญาตให้นำไปใช้ประโยชน์ด้านการค้า  
 ไม่ว่าจะกรณีใดๆ ทั้งสิ้น อีกทั้งห้ามมิให้ตัดแปลงเนื้อหา และต้องอ้างอิงถึงเจ้าของเอกสารทุกครั้งที่มีการนำไปใช้

ชื่อระบบ	สัญลักษณ์	การทำงาน
หน่วยคณิตศาสตร์และลอจิก ส่วนกลาง  (Central Arithmetic Logic Unit)	CALU	หน่วยคณิตศาสตร์และลอจิก 32 บิตต่อกับค่า อินพุต 32 บิต 2 ค่า และเอาต์พุต 32 บิต 1 ค่า
แรมแบบเข้าถึงได้ 2 ทิศทาง (Dual-Access RAM)	DARAM	หน่วยความจำแบบแรมที่สามารถอ่านและเขียน ได้ 2 ทิศทางคือ โปรแกรมบัสและค่าบัส
ตัวชี้เพจบนหน่วยความจำ (Data Memory Page Pointer)	DP	รีจิสเตอร์ 9 บิตชี้แอสแตรสของเพจปัจจุบันแต่ละ เพจข้อมูลมีขนาด 128 เวิร์ด ทั้งหมด 512 เพ จของพื้นที่แอสแตรสหน่วยความจำข้อมูล(บาง พื้นที่สงวนไว้)
รีจิสเตอร์หน่วยความจำทั่วไป (Global Memory Allocation Register)	GREG	รีจิสเตอร์บนหน่วยความจำ 8 บิต เป็นตำแหน่งขนาดพื้นที่หน่วยความจำทั่วไป
รีจิสเตอร์ปิดอินเตอร์รัพท์ (Interrupt Mask Register)	IMR	เปิดและปิด การอินเตอร์รัพท์
รีจิสเตอร์อินเตอร์รัพท์แฟล็ก (Interrupt Flag Register)	IFR	รีจิสเตอร์ 7 บิตใช้การเก็บสถานะของการถูก กระตุ้นอินเตอร์รัพท์
ช่องอินเตอร์รัพท์ (Interrupt Traps)	INT#	ช่องสถานะอินเตอร์รัพท์ที่เกิดจากฮาร์ดแวร์
ตัวปรับตัวเลขเลื่อนบิตอินพุต (Input Data-Scaling Shifter)	ISCALE	ตัวเลื่อนบิต 0-16 ตำแหน่งแบบขนาน เก็บ คำตอบขนาน 32 บิต สำหรับปรับค่าก่อนการ คำนวณ
ตัวคูณ (Multiplier)	MPY	การคูณแบบขนาน ขนานเก็บคำตอบขนาด 32 บิต
ไมโคร สแต็ค (Micro Stack)	MSTACK	ที่เก็บชั่วคราวค่าแอสแตรสของคำสั่งถัดไปใน ขณะที่ ตัวจัดค่าแอสแตรสกำลังทำงานอย่างอื่น อยู่
รีจิสเตอร์แอสแตรสคำสั่งถัดไป (Next Program Address Register)	NPAR	ค้างค่าแอสแตรสของคำสั่งถัดไป สำหรับให้ PAR ใช้ในวงรอบต่อไป
ตัวปรับตัวเลขเลื่อนบิตเอาต์พุต (Output Data-Scaling Shifter)	OSCALE	ตัวเลื่อนบิตทางซ้าย 0-7 ตำแหน่งแบบขนาน กระบวนการผลลัพธ์จาก ACC ขนาด 32 บิต สำหรับ ปรับค่าหลังการคำนวณ

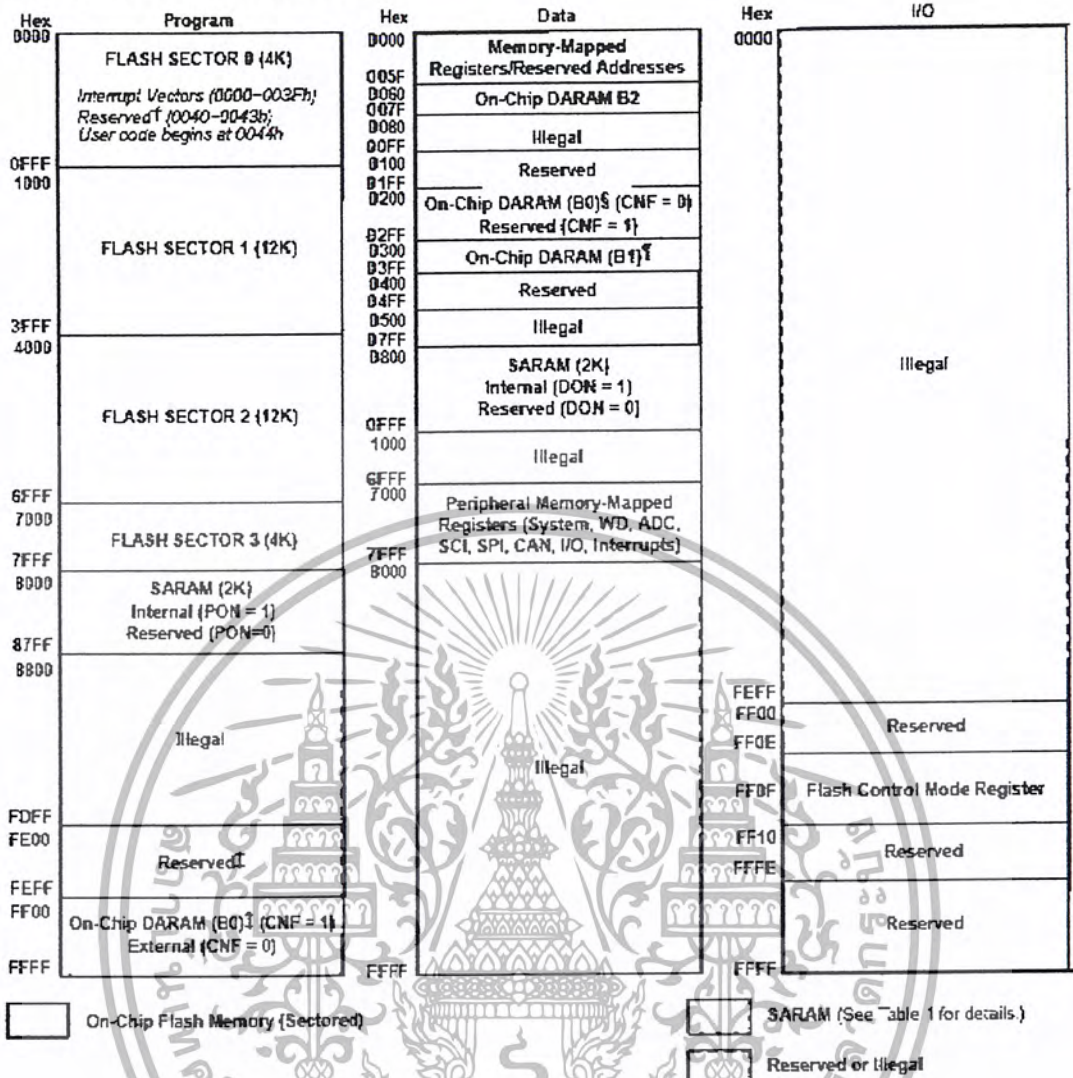
เอกสารนี้เป็นเอกสารที่สงวนไว้สำหรับการใช้งานเพื่อการศึกษาเท่านั้น ไม่อนุญาตให้นำไปใช้ประโยชน์ด้านการค้า  
ไม่ว่ากรณีใดๆ ทั้งสิ้น อีกทั้งห้ามมิให้ตัดแปลงเนื้อหา และต้องอ้างอิงถึงเจ้าของเอกสารทุกครั้งที่มีการนำไปใช้

รีจิสเตอร์แอดเดรสคำสั่งปัจจุบัน (Program Address Register)	PAR	ค้ำค่าแอดเดรสของคำสั่งปัจจุบัน สำหรับใช้ในวงรอบต่อไป กรณีเป็นการทำงานซ้ำ
โปรแกรมเคาน์เตอร์ (Program Counter)	PC	โปรแกรมเคาน์เตอร์ จะเพิ่มค่าแอดเดรสหน่วยความจำโปรแกรม NPAR โดยจะมีการเปลี่ยนแปลงค่าเมื่อแต่ละคำสั่งการทำงาน Fetch
ตัวควบคุมการทำคำสั่ง (Program Controller)	PCTRL	ควบคุมกลไกการทำงานของกระบวนการเรียกโปรแกรมคำสั่งการทำงาน
รีจิสเตอร์ผลลัพธ์การคูณ (Product Register)	PREG	รีจิสเตอร์ผลลัพธ์ 32 บิต ใช้ในการเก็บผลการคูณ (16*16)
ตัวปรับตัวเลขเลื่อนบิตผลคูณ (Product-Scaling Shifter)	PSCALE	ตัวเลื่อนบิตทางซ้าย 0, 1, 4 ตำแหน่งหรือเลื่อนบิตทางขวา 6 ตำแหน่ง แบบขนานกระทำกับผลลัพธ์จากการคูณ
สแตค (Stack)	STACK	ฮาร์ดแวร์สแตคขนาด 8*16 ใช้ในการเก็บค่าจากโปรแกรมเคาน์เตอร์ สำหรับการคืนคืนสู่โปรแกรมหลัก
รีจิสเตอร์ชั่วคราว (Temporary Register)	TREG	รีจิสเตอร์ 16 บิตใช้เก็บค่าโอเปอร์แลนของการคูณ

#### 4.5 การจัดฝั่งหน่วยความจำ (Memory)

ในการอ้างแอดเดรสของ TMS320LF2406 จะมีการอ้างแอดเดรสแยกแหว่งหน่วยความจำโปรแกรม หน่วยความจำข้อมูล และหน่วยความจำอินพุตเอาต์พุต ในทุกหน่วยความจำสามารถอ้างแอดเดรสได้ 64 kword

memory maps (continued) – LF2406

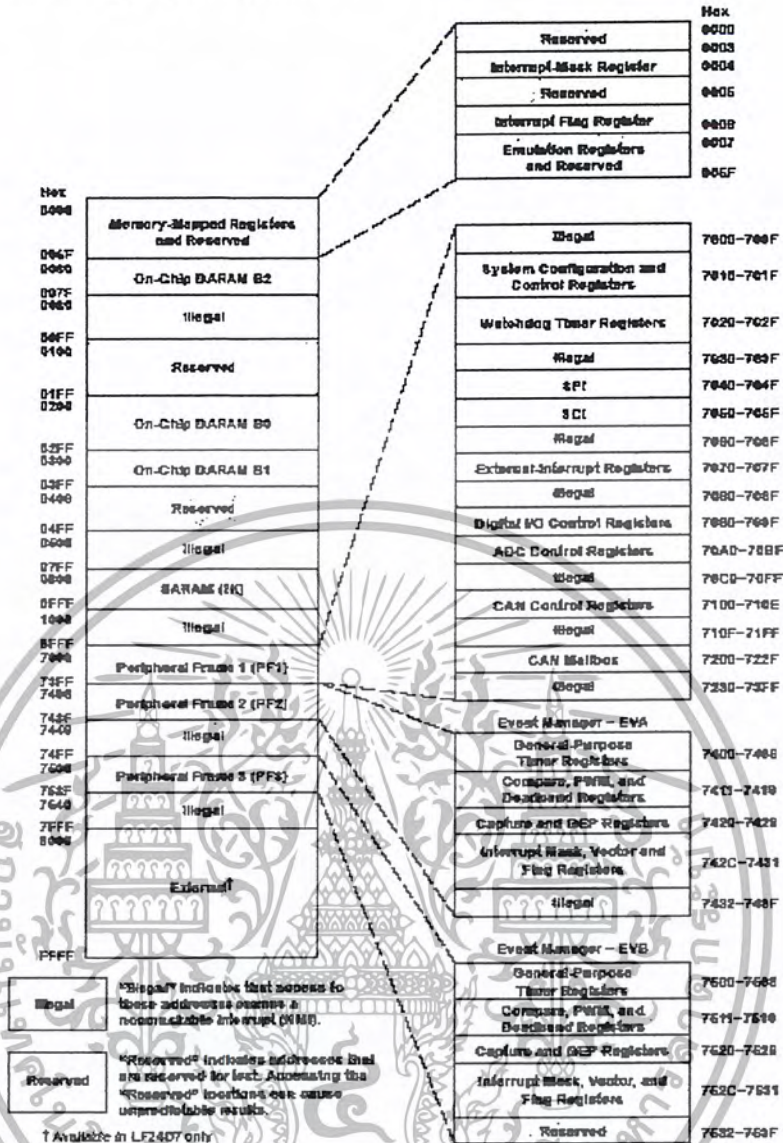


รูปที่ 4.2 การจัดหน่วยความจำ (Memory Map)

4.6 การจัดผังหน่วยความจำอุปกรณ์รอบข้าง (Peripheral Memory Map)

ในการควบคุมสั่งงานหรืออ่านสถานะการทำงานของอุปกรณ์รอบข้างภายใน TMS320LF2406 สามารถอ่านหรือเขียนลงในหน่วยความจำอินพุตเอาต์พุตตำแหน่ง 0000-7FFF โดยอุปกรณ์รอบข้างแต่ละตัวมีตำแหน่ง ดังรูปที่ 5.4

peripheral memory map of the LF240x



รูปที่ 4.3 การจัดหน่วยความจำอุปกรณ์รอบข้าง ( Peripheral Memory Map )

4.7 หน่วยความประมวลผล ( Central Processing Unit )

หน่วยประมวลผลกลางของ TMS320LF2406 ประกอบด้วยส่วนต่างๆ ดังภาพที่ 5 โดยมีส่วนสำคัญ คือ

- ตัวปรับตัวเลขเลื่อนบิตอินพุต
- ตัวปรับตัวเลขเลื่อนบิตเอาต์พุต
- ตัวเลขแบบขนาด 16\*16 บิต
- หน่วยคณิตศาสตร์และลอจิกส่วนกลางขนาน 32 บิต
- แอคคิวมูเลเตอร์ขนาน 32 บิต

เอกสารนี้เป็นเอกสารที่สงวนไว้สำหรับการใช้งานเพื่อการศึกษาเท่านั้น ไม่อนุญาตให้นำไปใช้ประโยชน์ด้านการค้า ไม่ว่าจะกรณีใดๆ ทั้งสิ้น อีกทั้งห้ามมิให้ดัดแปลงเนื้อหา และต้องอ้างอิงถึงเจ้าของเอกสารทุกครั้งที่มีการนำไปใช้

### - ตัวเลื่อนบิตเอาท์พุท

โดยแต่ละส่วนมีการทำงานดังนี้

การเลื่อนบิต ( Scaling Shifter ) การเลื่อนบิตมีประโยชน์ในการสเกลข้อมูล แยกข้อมูล เพิ่มค่าทางคณิตศาสตร์และป้องกัน Over Flow โดย TMS320LF2406 มีวงจรถ่ายโอนบิต 3 ตำแหน่ง คือ

1. ที่ตำแหน่งเลื่อนบิตอินพุท ( Input Shifter ) ตัวเลื่อนบิตรับค่าอินพุท 16 บิตจากบัสข้อมูลแล้วเลื่อนบิตไปทางซ้ายได้ตั้งแต่ 0-16 บิต โดยเลื่อนไปทางที่มีเลขนัยสำคัญสูงกว่า และบิตที่มีนัยสำคัญต่ำกว่าจะเติมด้วย 0 ถ้ากำหนดค่าของรีจิสเตอร์สถานะ STI ในโหมดบิตเครื่องหมายบิตที่มีนัยสำคัญสูงสุดจะเติม 0 (ไม่แสดง Sign)

2. ที่ตำแหน่งเอาท์พุทตัวคูณ ( Product Shifter ) ตัวเลื่อนบิตอินพุทจากรีจิสเตอร์ผลคูณ (PREG) ขนาด 32 บิต (ค่าของผลลัพธ์จากการคูณแบบขนาน ขนาด  $16 \times 16$  บิต แล้วเลื่อนบิตทางซ้ายได้ 0,1,4 บิต หรือเลื่อนทางขวาได้ 6 บิต โดยการกำหนดค่าของรีจิสเตอร์สถานะ STI ในโหมดเลื่อนบิตผลลัพธ์

3. ที่ตำแหน่งเอาท์พุทแอดคิวมูเลเตอร์ ( Output Shifter ) ตัวเลื่อนรับค่าอินพุทจาก ACC ขนาด 32 บิต แล้วเลื่อนไปทางซ้าย 0-7 ตำแหน่ง เมื่อค่า ACCH ถูกเลื่อนไปทางซ้าย ค่า ACCL จะเลื่อนไปทางซ้ายด้วย ขณะที่ตำแหน่งเดิมจะเติมด้วย 0 แล้วส่งเอาท์พุทที่ละ 16 บิต ไปเก็บในบัสข้อมูล

หน่วยคณิตศาสตร์และลอจิกส่วนกลาง ( Central Arithmetic Logic Unit )

โครงสร้างภายใน TMS320LF2406 มีหน่วยคำนวณทางคณิตศาสตร์และลอจิก ( ALU ) ขนาด 32 บิต เป็นหน่วยประมวลผลทางคณิตศาสตร์ทั่วไปหลังการประมวลผลจะเก็บผลไว้ที่ ( ALU ) และสำหรับข้อมูล ACC ขนาด 32 บิต หลังรับค่ามาจาก ALU จะแบ่งข้อมูลเป็น 2 ส่วน ส่วนละ 16 บิตแล้วส่งเอาท์พุทไปที่วงจรถ่ายโอนบิต เพื่อเลื่อนบิตก่อนส่งค่าไปเก็บที่บัสข้อมูล เพื่อตอบสนองการประมวลผลสัญญาณดิจิทัลที่ต้องการความละเอียดของตัวเลขมากโดยใช้เวลาการทำงานเพียง 1 รอบตัวคูณ ( Multiplier )

ภายใน TMS320LF2406 มีวงจรถ่ายโอนแบบขนาน ขนาด  $16 \times 16$  และจะกระทำได้ทั้งแบบบิตเครื่องหมายและไม่คิดเครื่องหมายได้ผลลัพธ์เอาท์พุทขนาด 32 บิต ต่อการทำงาน 1 รอบ คำสั่งการคูณทั้งหมด ( ยกเว้น MDYU ) จะกระทำแบบคิดเครื่องหมาย โดยที่ตัวคูณมาจากบัสข้อมูลและรีจิสเตอร์ TREG ใช้เก็บตัวตั้งขนาด 16 บิต และรีจิสเตอร์ PREG เก็บผลลัพธ์ของการคูณมีขนาด 32 บิต

#### 4.8 หน่วยคณิตศาสตร์รีจิสเตอร์ช่วย ( Auxiliary Register Arithmetic Unit ARAU )

TMS320LF2406 มีรีจิสเตอร์ช่วย 16 บิต 8 ตัว ได้แก่ AR0-AR7 สำหรับช่วยในการอ้างแอดเดรสทางอ้อมของหน่วยความจำข้อมูล หรือเป็นที่เก็บข้อมูลชั่วคราว โดยการชี้ตำแหน่งหน่วยความจำข้อมูลของการกระทำคำสั่งรีจิสเตอร์ 1 ตัวรีจิสเตอร์ช่วยเหล่านี้สามารถอ้างจากรีจิสเตอร์ ARP ( Auxiliary Register Pointer ) ขนาด 3 บิต และสามารถโหลดเข้าโดยตรงจากข้อมูลในหน่วยความจำหรือโหลดเข้ากับเข้าไปในหน่วยความจำข้อมูลก็ได้

หน่วยคณิตศาสตร์รีจิสเตอร์ช่วยมีโครงสร้างดังรูปที่ 6 ซึ่งเป็นส่วนช่วยคำนวณแยกอิสระจาก CALU โดยมีหน้าที่คำนวณเพิ่มหรือลดค่ารีจิสเตอร์ช่วยโดยอัตโนมัติในการใช้รีจิสเตอร์ช่วยในการอ้าง

เอกสารนี้เป็นเอกสารที่สงวนไว้สำหรับการใช้งานเพื่อการศึกษาเท่านั้น ไม่อนุญาตให้นำไปใช้ประโยชน์ด้านการค้า ไม่ว่ากรณีใดๆ ทั้งสิ้น อีกทั้งห้ามมิให้ดัดแปลงเนื้อหา และต้องอ้างอิงถึงเจ้าของเอกสารทุกครั้งที่มีการนำไปใช้

แอดเดรสทางอ้อมของหน่วยความจำข้อมูล การเพิ่มค่าหรือลดค่าแต่ละครั้งสามารถทำได้ทีละ 1 ค่าหรือกำหนดค่าทาง AR0 ด้วยการทำงานของหน่วยความจำคณิตศาสตร์รีจิสเตอร์ช่วยนี้เองจึงเป็นผลทำให้การอ้างแอดเดรสทางอ้อมเพื่อนำชุดข้อมูลลักษณะแบบตารางทำได้และรวดเร็ว

การอ้างแอดเดรสของหน่วยความจำ (Memory Addressing Mode)

TMS320LF2406 สามารถอ้างแอดเดรสได้ทั้งหมด 65 kword ของหน่วยความจำโปรแกรมและ 64 kword ของหน่วยความจำข้อมูล ROM ข้อมูลภายในจะเป็นส่วนหนึ่งบนหน่วยความจำข้อมูลและถ้ากำหนดเป็นโหมดไมโครคอมพิวเตอร์ ROM ภายในจะอยู่บนหน่วยความจำโปรแกรมการอ้างแอดเดรสจะอ้างด้วยสำคัญ 3 โหมดดังรูปที่ 7

- การอ้างแอดเดรสทางตรง จะใช้คำสั่ง 16 บิต แยกเป็น Opcode 9 บิต และอีก 7 บิตเป็น Opcode ในการทำงานจะใช้ 7 บิต วาง ทำหน้าที่รีเวิร์คบนเพจ
- การอ้างแอดเดรสทางอ้อมจะใช้รีจิสเตอร์ช่วย ARP 3 บิตในการชี้ตัวรีจิสเตอร์ AR 16 บิตที่อ้างแอดเดรสของหน่วยความจำข้อมูล
- การอ้างแอดเดรสแบบอิมมิตีเยต จะมีส่วนของ Operand ประกอบในคำสั่งโดยค่าตัวเลขนี้ เป็นได้ 2 ขนาด คือ แบบ 8 บิต หรือ 13 บิต และคำสั่งที่มีขนาด 2 เวิร์ดจะมีขนาดตัวเลขของการทำงาน ขนาด 16 บิต

#### 4.9 ชุดคำสั่งของ TMS320LF240

ชุดคำสั่งของ DSP ชุดคำสั่งของ DSP ถูกออกแบบเพื่อให้สามารถทำงานแบบขนาน ประมวลผล และประสิทธิภาพการคำนวณทางคณิตศาสตร์ ซึ่งชุดคำสั่งที่โหมคสามารถแบ่งการทำงานได้ 6 กลุ่ม คือ

- กลุ่มคำสั่งทางคณิตศาสตร์และลอจิก
- กลุ่มคำสั่งด้านรีจิสเตอร์ช่วยและตัวชี้ข้อมูล
- กลุ่มคำสั่งทางการกระโดดข้ามขั้นตอนการทำงาน
- กลุ่มคำสั่งทางการควบคุมภายใน
- กลุ่มคำสั่งด้าน Input, Output ของหน่วยความจำ

กลุ่มคำสั่งทางคณิตศาสตร์และลอจิก

Mnemonic	Description	Words	Cycles	Opcode
ABS	Absolute value of ACC	1	1	1011 1110
ADD	Add to ACC with shift of 0 to 15, direct or indirect	1	1	0000 0000
	Add to ACC with shift 0 to 15, long immediate			0010 SHIFT
	Add to ACC with shift of 16, direct or indirect	2	2	IAAA
	Add to ACC, short immediate			AAAA
	Add to ACC with carry, direct or indirect	1	1	1011 1111
	Add to LOW acc with sign-extension suppressed, direct or indirect	1	1	1001 SHIFT+1
	ADDC	Add to ACC with shift(0 to 15) specified by TREG, direct or indirect	1	1
ADDS	And ACC with data value, direct or indirect	1	1	IAAA
	AND with ACC with shift of 0 to 15, long immediate			AAAA
ADDT	AND with ACC with shift of 16, long immediate	1	1	1011 1000
	Complement ACC			III III
AND	Load ACC with shift of 0 to 15, direct or indirect	1	1	0110 0010
	Load ACC with shift of 0 to 15, long immediate			IAAA
	Load ACC with shift of 16, direct or indirect	2	2	AAAA
	Load low word of ACC, direct or indirect			0110 0010
	Load low word of ACC, short immediate	2	2	IAAA
	Load ACC with shift(0 to 15) specified by TREG, direct or indirect	1	1	AAAA
CMPL	direct or indirect	1	1	0110 0011
LACC		1	1	IAAA
	Negate ACC			AAAA
	Normalize the contents of ACC, indirect	2	2	0110 1110 IAAA
	OR ACC with data value direct or indirect	1	1	AAAA
	OR with ACC with shift of 0 to 15 long immediate			1011 1111
LACL	OR with ACC with shift of 16 long immediate	1	1	1011
	Rotate ACC left			SHIFT+1
	Rotate ACC right	1	1	word

	Store high ACC with shift of 0 to 7,			1011 1110
LACT	direct or indirect	1	1	1000
	Store low ACC with shift of 0 to 7,			0001+1
	direct or indirect			word
NEG	Shift ACC left	1	1	1011 1110
NORM	Shift ACC right	1	1	0000 0001
	Subtract from ACC with shift of 0 to 15 , direct or			0001 SHIFT
OR	indirect	1	1	IAAA
	Subtract from ACC with shift of 0 to			AAAA
	15, long immediate	2	2	1011 1111
	Subtract from ACC short immediate			1000
	Subtract from ACC with borrow direct or indirect	2	2	SHIFT+1
	Conditional subtract, direct or indirect			word
ROL		1	1	0110 1010
ROR	Subtract from ACC with sign-extension	1	1	IAAA
SACH	Suppressed ,direct or indirect	1	1	AAAA
	Subtract from ACC with shift 0 to 15			0110 1001
SACL	specified by TREG direct or indirect	1	1	IAAA
	Exclusive OR ACC with data value direct or indirect			AAAA
SFL	Exclusive OR ACC with with shift 0 to 15 direct or	1	1	1011 1001
SFR	indirect	1	1	III III
SUB		1	1	
				0110 1011
		2	2	IAAA
				AAAA
		1	1	
SUBB		1	1	1011 1110
				0000 0010
SUBC		1	1	1010 0000
				IAAA
SUBS		1	1	AAAA
				0110 1101
SUBT		1	1	IAAA
				AAAA

เอกสารนี้เป็นเอกสารที่สงวนไว้สำหรับการใช้งานเพื่อการศึกษาเท่านั้น ไม่อนุญาตให้นำไปใช้ประโยชน์ทางการค้า  
ไม่ว่ากรณีใดๆ ทั้งสิ้น อีกทั้งห้ามมิให้ตัดแปลงเนื้อหา และต้องอ้างอิงถึงเจ้าของเอกสารทุกครั้งที่มีการนำไปใช้

XOR	1	1	1011 1111 1100 SHFT
	2	2	+ 1 word 1011 1110 1000 0010 + 1 word 1011 1110 0000 1100 1011 1110 0000 1101 1001 1SHF 1AAA AAAA 1001 0SHF 1AAA AAAA 1011 1110 0000 1001 1011 1110 0000 1010 0011 SHFT 1AAA AAAA 1011 1111 1010 SHFT + 1 word 1011 1010 1111 1111 0110 0100 1AAA AAAA 0000 1010 1AAA AAAA



เอกสารนี้เป็นเอกสารที่สงวนไว้สำหรับการใช้งานเพื่อการศึกษาเท่านั้น ไม่อนุญาตให้นำไปเผยแพร่บนสื่อออนไลน์  
ไม่ว่ากรณีใดๆ ทั้งสิ้น อีกทั้งห้ามมิให้ตัดแปลงเนื้อหา และต้องอ้างอิงถึงเจ้าของเอกสารทุกครั้งที่มีการนำไปใช้

				0110 0110 1AAA AAAA 0110 0111 1AAA AAAA 0110 1100 1AAA AAAA 1011 1110 1000 SHFT + 1 word
--	--	--	--	---



เอกสารนี้เป็นเอกสารที่สงวนไว้สำหรับการใช้งานเพื่อการศึกษาเท่านั้น ไม่อนุญาตให้นำไปใช้ประโยชน์ด้านการค้า  
ไม่ว่ากรณีใดๆ ทั้งสิ้น อีกทั้งห้ามมิให้ดัดแปลงเนื้อหา และต้องอ้างอิงถึงเจ้าของเอกสารทุกครั้งที่มีการนำไปใช้

กลุ่มคำสั่งรีจิสเตอร์ช่วยและตัวชี้ข้อมูล

Mnemonic	Description	Words	Cycles	Opcode
ADRK	Add constant to current AR, short immediate	1	1	0111 1000 IIII
	Branch on current AR not 0, indirect			IIII
BANZ	Compare on current AR with ARO	2	4(true)	
	Load specified AR from specified data location,		2(false)	0111 1011
CMPR	direct or indirect	1	1	1AAA
LAR	Load specified AR with constant, short immediate	1	2	AAAA+1word 1011 1111
	Load specified AR with constant, long immediate	1	2	0100 01CM 0000 0ARX
	Modify current AR and/or ARP, indirect(performs no operation when direct)	2	2	1AAA AAAA 1011 0ARX
MAR	Store specified AR to specified data location, direct or indirect	1	1	IIII IIII 1011 1111
	Subtract constant from current AR, short immediate	1	1	0000 1ARX +1 word
SAR		1	1	1000 1011
SBRK		1	1	1AAA AAAA 1000 0ARX 1AAA AAAA 0111 1100 IIII IIII

เอกสารนี้เป็นเอกสารที่สงวนไว้สำหรับการใช้งานเพื่อการศึกษาเท่านั้น ไม่อนุญาตให้นำไปใช้ประโยชน์ด้านการค้า  
ไม่ว่ากรณีใดๆ ทั้งสิ้น อีกทั้งห้ามมิให้ตัดแปลงเนื้อหา และต้องอ้างอิงถึงเจ้าของเอกสารทุกครั้งที่มีการนำไปใช้

### กลุ่มคำสั่งทางการคูณ

Mnemonic	Description	Words	Cycles	Opcode
APAC	Add PREG to ACC	1	1	1011 1110
LPH	Load high PREG, direct or indirect	1	1	0000 0100 0111 0101
LT	Load TREG, direct or indirect	1	1	IAAA AAAA
LTA	Load TREG and accumulate previous product, direct or indirect	1	1	0111 0011 IAAA
LTD	Load TREG, accumulate previous product, and move data, direct or indirect	1	1	AAAA 0111 0000
LTP	Load TREG and store PREG in accumulator, direct or indirect	1	1	IAAA AAAA
LTS	Load TREG subtract previous product, direct or indirect	1	1	0111 0010 IAAA
MAC	Multiply and accumulate, direct or indirect	2	3	AAAA 0111 0100
MACD	Multiply TREG by data value, direct or indirect	2	3	IAAA AAAA
MPY	Multiply TREG by 13-bit constant, short immediate	1	1	0111 0100 IAAA
MPYA	Multiply and accumulate previous product, direct or indirect	1	1	AAAA 1010 0010
MPYS	Multiply and subtract previous product, direct or indirect	1	1	IAAA AAAA +1
MPYS	Multiply unsigned, direct or indirect	1	1	word 1010 0011
MPYU	Load ACC with PREG	1	1	IAAA
PAC	Subtract PREG from ACC	1	1	AAAA +1
SPAC	Store high PREG, direct or indirect	1	1	word
SPAC	Store high PREG, direct or indirect	1	1	0101 0100
SPH	Store low PREG, direct or indirect	1	1	IAAA

เอกสารนี้เป็นเอกสารที่สงวนไว้สำหรับการใช้งานเพื่อการศึกษาเท่านั้น ไม่อนุญาตให้นำไปใช้ประโยชน์ทางการค้า  
ไม่ว่ากรณีใดๆ ทั้งสิ้น อีกทั้งห้ามมิให้ตัดแปลงเนื้อหา และต้องอ้างอิงถึงเจ้าของเอกสารทุกครั้งที่มีการนำไปใช้

				AAAA
SPL	Set product shift mode	1	1	1101 IIII IIII
	Square and accumulate previous product,			IIII
SPM	direct or indirect	1	1	
SQRA	Square and subtract previous product, direct	1	1	0101 0000
	or indirect			IAAA
SQRS		1	1	AAAA
				0101 0001
				IAAA
				AAAA
				0101 0101
				IAAA
				AAAA
				1011 1110
				0000 0011
				1011 1110
				0000 0101
				1000 1101
				IAAA
				AAAA
				1000 1100
				IAAA
				AAAA
				1011 1111
				0000 00PM
				0101 0010
				IAAA
				AAAA
				0101 0011
				IAAA
				AAAA



เอกสารนี้เป็นเอกสารที่สงวนไว้สำหรับการใช้งานเพื่อการศึกษาเท่านั้น ไม่อนุญาตให้นำไปใช้ประโยชน์ด้านการค้า  
ไม่ว่ากรณีใดๆ ทั้งสิ้น อีกทั้งห้ามมิให้ตัดแปลงเนื้อหา และต้องอ้างอิงถึงเจ้าของเอกสารทุกครั้งที่มีการนำไปใช้

กลุ่มคำสั่งด้าน input และ output ของหน่วยความจำ

BLDD	Block move from data memory to data	2	3	1010	1000	IAAA
	Memory ,direct/indirect with long immediate source					AAAA+1word
	Block move from data memory to data	2	3	1010	1001	IAAA
	Memory ,direct/indirect with long immediate destination					AAAA+1word
BLPD	Block move from data memory to data	2	3	1010	0101	IAAA
	Memory ,direct/indirect with long immediate source					AAAA+1word
DMOV	Data move in data memory ,direct or indirect	2	1	0111	0111	IAAA AAAA
	Input data from I/O location, direct or indirect			1010	1111	IAAA
IN	Out put data to port ,direct or indirect	2	2			AAAA+1word
	Store long immediate to data location, direct or indirect			0000	1100	IAAA
OUT	Table read, direct or indirect	2	3			AAAA+1word
				1010	1110	IAAA
SPLK	Table write, direct or indirect	2	2			AAAA+1word
				1010	0110	IAAA
TBLR		1	3			AAAA
						1010 0111 IAAA
TBLW		1	3			AAAA

เอกสารนี้เป็นเอกสารที่สงวนไว้สำหรับการใช้งานเพื่อการศึกษาเท่านั้น ไม่อนุญาตให้นำไปใช้ประโยชน์ด้านการค้า  
ไม่ว่ากรณีใดๆ ทั้งสิ้น อีกทั้งห้ามมิให้ตัดแปลงเนื้อหา และต้องอ้างอิงถึงเจ้าของเอกสารทุกครั้งที่มีการนำไปใช้

#### 4.10 คุณสมบัติเด่นของ TMS320LF2406 ในการประยุกต์ใช้งาน

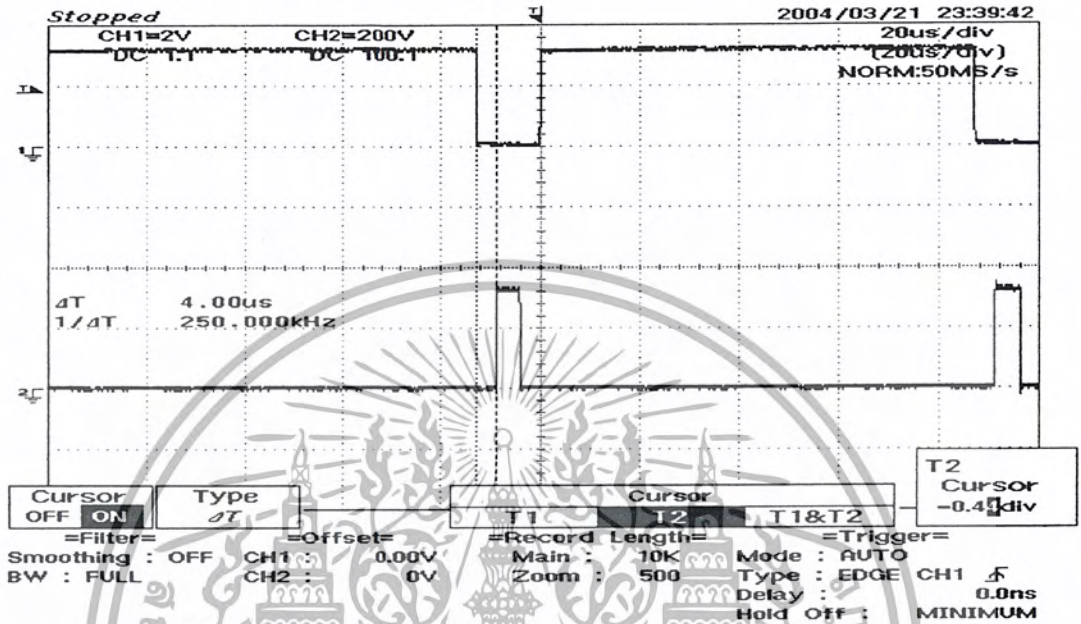
1. หน่วยประมวลผลกลางทำงานขนาน สามารถประมวลผลได้หลายอย่างในเวลาเดียวกัน เช่น คูณแล้วบวกจึงทำให้มีความเร็วกว่าตัวประมวลผลทั่วไป เมื่อเทียบ ณ ความเร็วของตัวประมวลผลที่เท่ากัน
2. มีชุดคำสั่งที่ช่วยประมวลผลสัญญาณแบบดิจิทัล เช่น คูณแล้วบวก , คูณแล้วลบ , การกรองความถี่ เป็นต้น
3. มีตัวแปลงสัญญาณอะนาลอกเป็นสัญญาณดิจิทัลความละเอียด 10 บิต 2 ชุด ( Dual 10 bit analog to digital converter ) ซึ่งสามารถอ่านค่า analog ได้ 2 สัญญาณในเวลาเดียวกัน ซึ่งจำเป็นอย่างมากในการวัดกระแสของมอเตอร์อย่างน้อย 2 เฟส
4. มีตัวสร้างสัญญาณ pwm พร้อมทั้งสร้างการประวิงเวลา ( Dead Time )
5. มีตัวนับพัลส์จากเซ็น โคลเคอร์ แบบสัญญาณต่างเฟส  $90^{\circ}$  สำหรับการประยุกต์ใช้วัดความเร็วหรือวัดตำแหน่ง
6. ภายในประกอบประกอบด้วยอุปกรณ์รอบข้างให้ใช้งานครบถ้วน จึงไม่จำเป็นต้องมีฮาร์ดแวร์เพิ่มเติม เช่น อินพุต/เอาต์พุตพอร์ท , ตัวติดต่อสื่อสารแบบอนุกรม , ตัวนับ เป็นต้น
7. สามารถใช้งานแบบซิงเกิลชิปได้เนื่องจากภายในมีหน่วยความจำแบบ Flash EEPROM ขนาด  $16\text{ K} * 16\text{ Bit}$  และ RAM ขนาด  $544 * 16\text{ B}$



# บทที่ 5

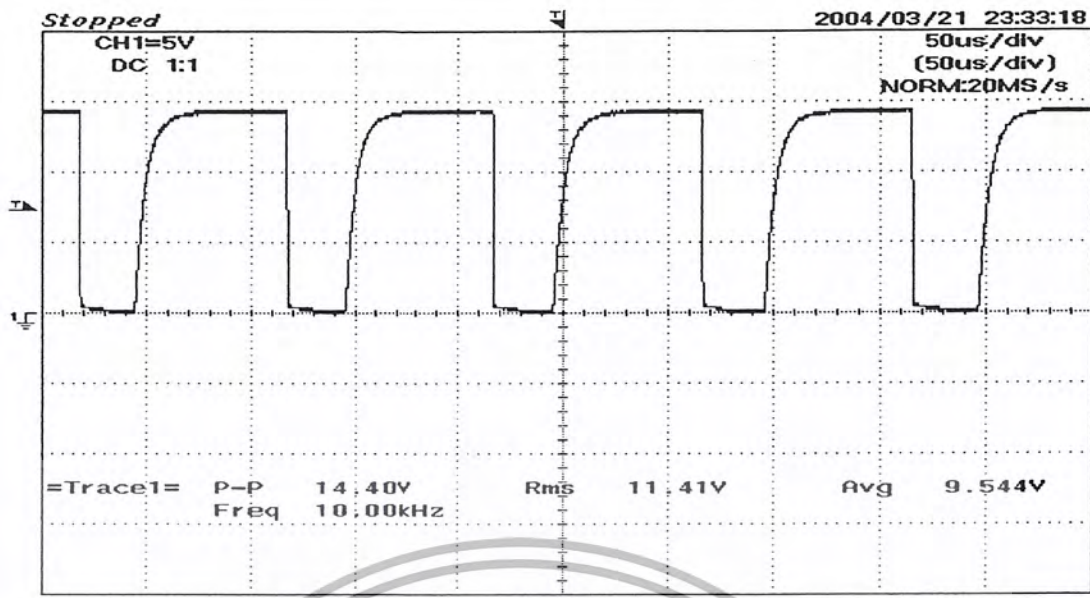
## การทดลองและผลการทดลอง

ได้ทำการทดลองขั้วมอเตอร์ขนาด 1 แรงม้าและได้ผลสัญญาณที่พิกัดความถี่ต่างๆ และฟังก์ชันการทำงานโดยใช้ storage scope โดยได้ผลการทดลองดังนี้



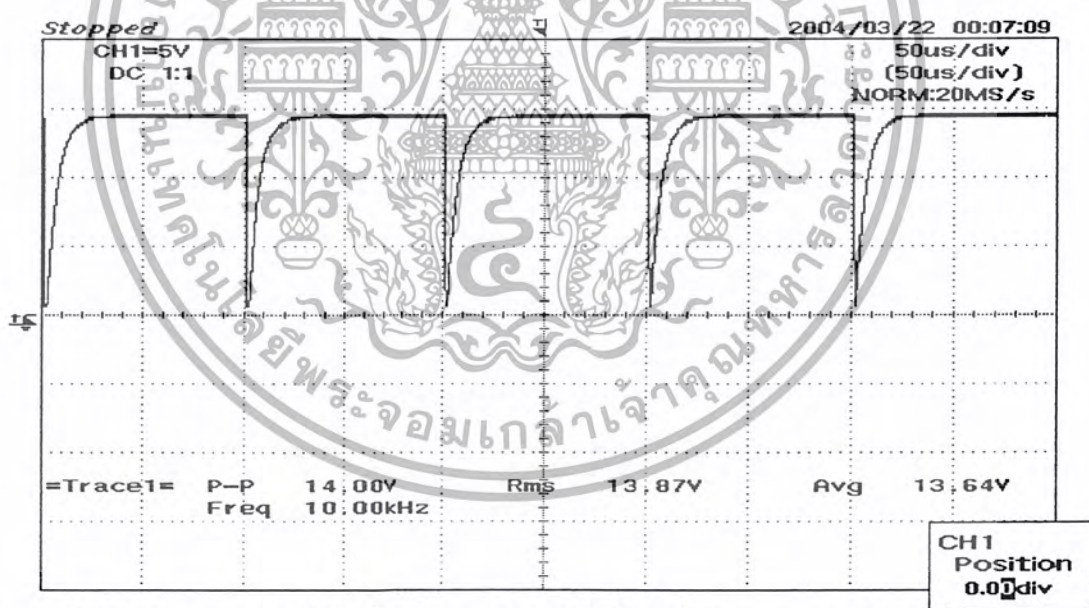
รูปที่ 5.1 ค่าการประจุเวลาของสัญญาณ pwm

เอกสารนี้เป็นเอกสารที่สงวนไว้สำหรับการใช้งานเพื่อการศึกษาเท่านั้น ไม่อนุญาตให้นำไปใช้ประโยชน์ด้านการค้า  
ไม่ว่ากรณีใดๆ ทั้งสิ้น อีกทั้งห้ามมิให้ตัดแปลงเนื้อหา และต้องอ้างอิงถึงเจ้าของเอกสารทุกครั้งที่มีการนำไปใช้



=Filter= Smoothing : OFF BW : FULL  
=Offset= CH1 : 0.00V CH2 : 0V  
=Record Length= Main : 10K Zoom : 400  
=Trigger= Mode : AUTO Type : EDGE CH1 Delay : 0.0ns Hold Off : MINIMUM

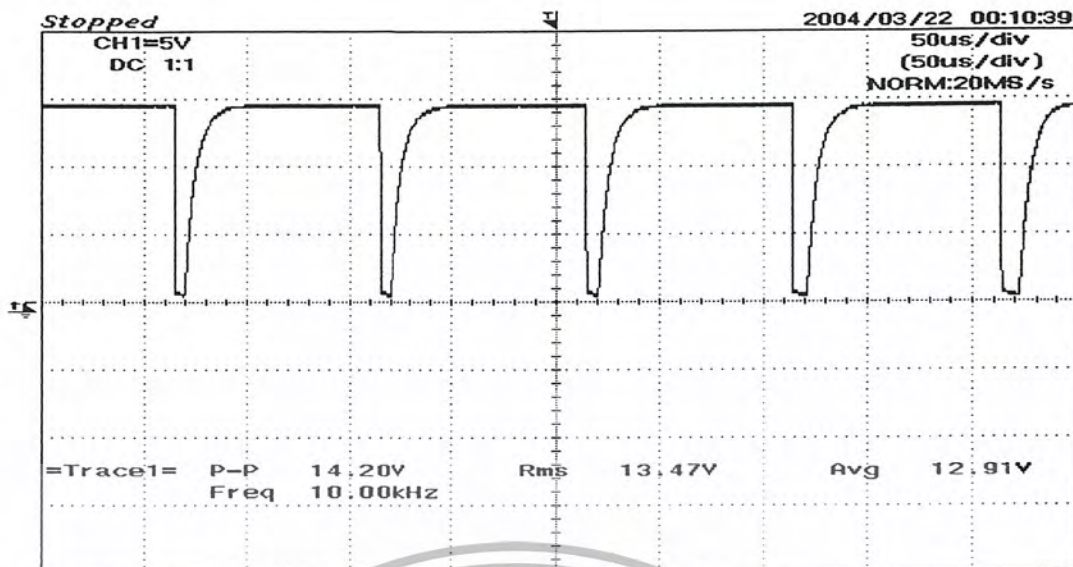
รูปที่ 5.2 รูปคลื่นของสัญญาณ pwm ที่ออกมาจากตัวประมวลผลที่ความถี่ 25 Hz



=Filter= Smoothing : OFF BW : FULL  
=Offset= CH1 : 0.00V CH2 : 0.00V  
=Record Length= Main : 10K Zoom : 400  
=Trigger= Mode : AUTO Type : EDGE CH1 Delay : 0.0ns Hold Off : MINIMUM

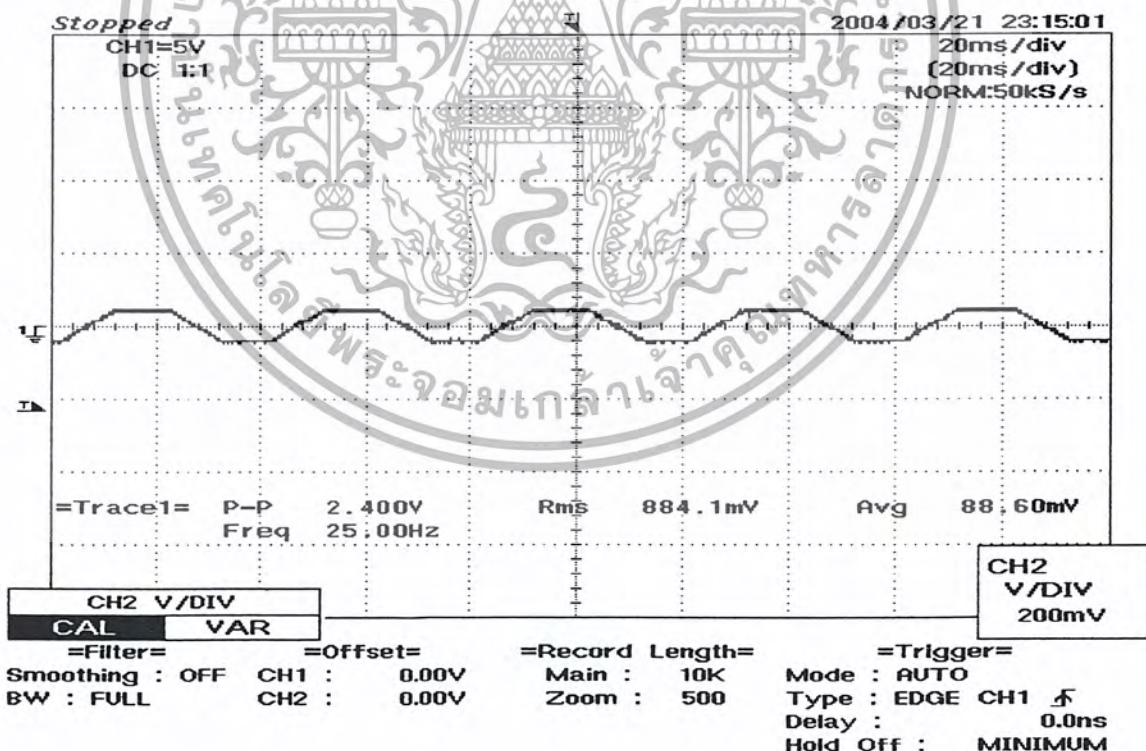
รูปที่ 5.3 รูปคลื่นของสัญญาณ pwm ที่ออกมาจากตัวประมวลผลที่ความถี่ 50 Hz

เอกสารนี้เป็นเอกสารที่สงวนไว้สำหรับการใช้งานเพื่อการศึกษาเท่านั้น ไม่อนุญาตให้นำไปใช้ประโยชน์ด้านการค้า ไม่ว่าจะกรณีใดๆ ทั้งสิ้น อีกทั้งห้ามมิให้ตัดแปลงเนื้อหา และต้องอ้างอิงถึงเจ้าของเอกสารทุกครั้งที่มีการนำไปใช้



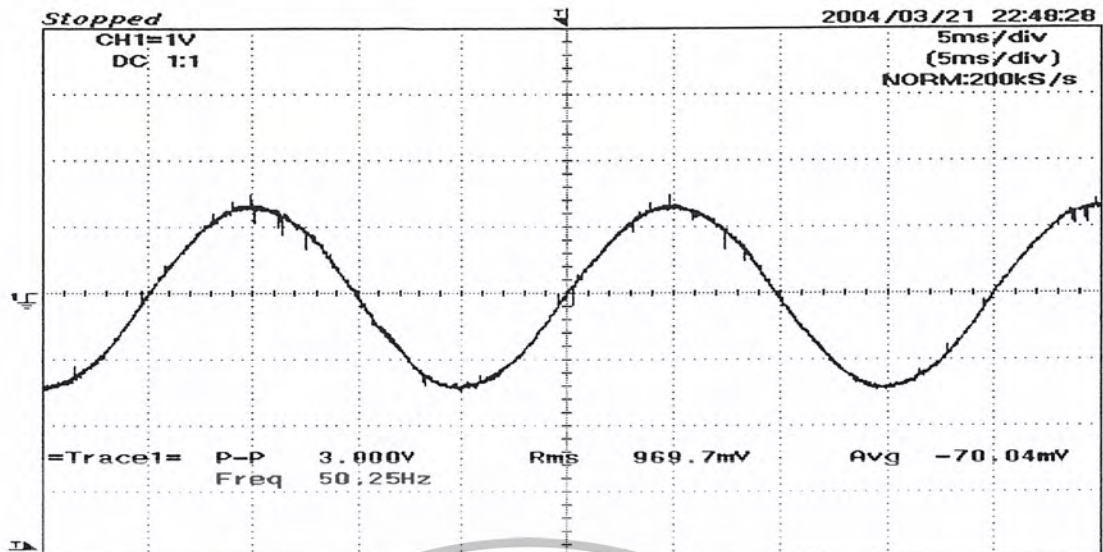
=Filter= Smoothing : OFF BW : FULL  
=Offset= CH1 : 0.00V CH2 : 0.00V  
=Record Length= Main : 10K Zoom : 400  
=Trigger= Mode : AUTO Type : EDGE CH1  Delay : 0.0ns Hold Off : MINIMUM

รูปที่ 5.4 รูปคลื่นของสัญญาณ pwm ที่ออกมาจากตัวประมวลผลที่มีความถี่ 75 Hz



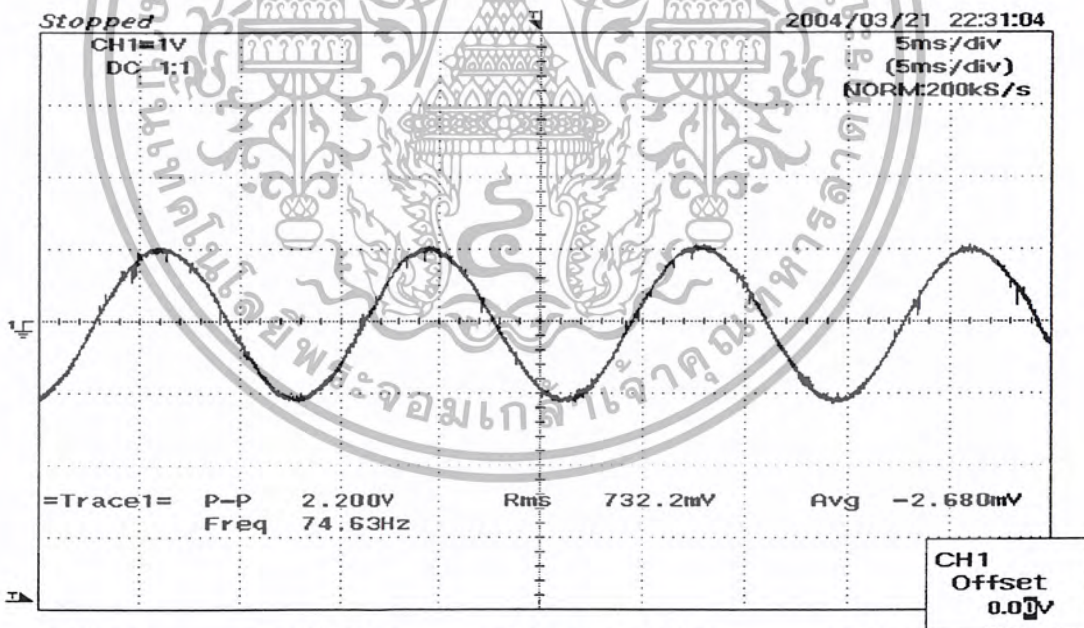
รูปที่ 5.5 รูปคลื่นของสัญญาณ กระแสที่จ่ายให้กับมอเตอร์ที่มีความถี่ 25 Hz

เอกสารนี้เป็นเอกสารที่สงวนไว้สำหรับการใช้งานเพื่อการศึกษาเท่านั้น ไม่อนุญาตให้นำไปใช้ประโยชน์ด้านการค้า  
ไม่ว่ากรณีใดๆ ทั้งสิ้น อีกทั้งห้ามมิให้ตัดแปลงเนื้อหา และต้องอ้างอิงถึงเจ้าของเอกสารทุกครั้งที่มีการนำไปใช้



=Filter= Smoothing : ON  
BW : 20MHz  
=Offset= CH1 : 0.04V  
CH2 : 0V  
=Record Length= Main : 10K  
Zoom : 400  
=Trigger= Mode : AUTO  
Type : EDGE CH1  $\neq$   
Delay : 0.0ns  
Hold Off : MINIMUM

รูปที่ 5.6 รูปคลื่นของสัญญาณ กระแสที่จ่ายให้กับมอเตอร์ที่ความถี่ 50 Hz

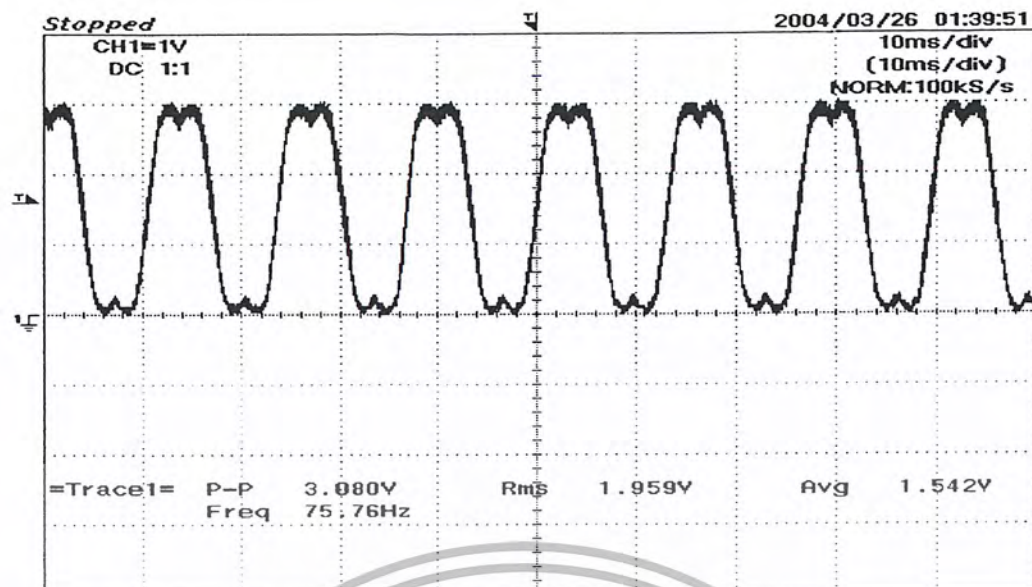


=Filter= Smoothing : ON  
BW : 20MHz  
=Offset= CH1 : 0.00V  
CH2 : 0V  
=Record Length= Main : 10K  
Zoom : 400  
=Trigger= Mode : AUTO  
Type : EDGE CH1  $\neq$   
Delay : 0.0ns  
Hold Off : MINIMUM

ด

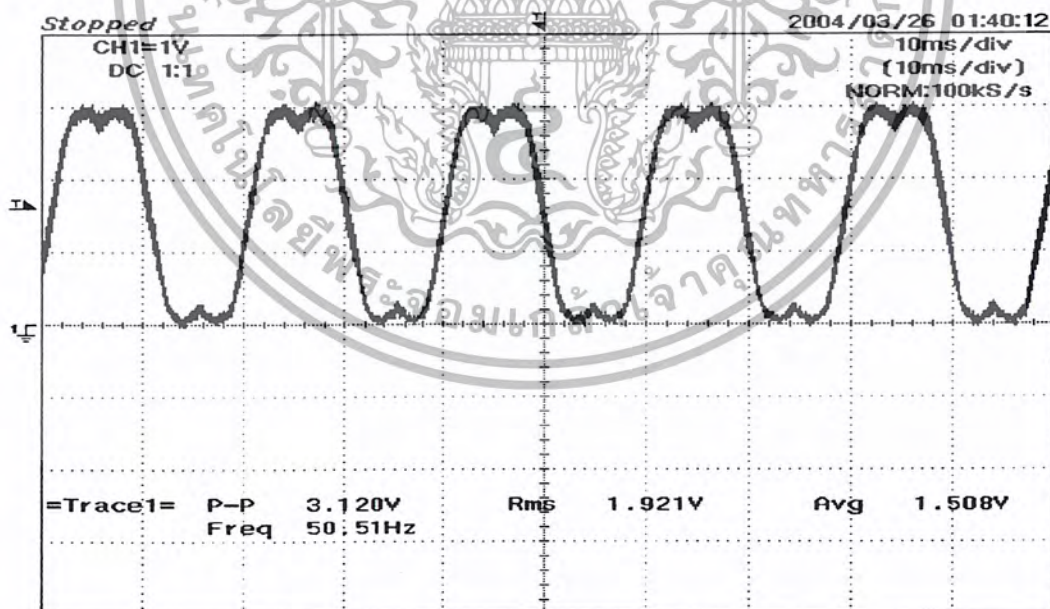
รูปที่ 5.7 รูปคลื่นของสัญญาณ กระแสที่จ่ายให้กับมอเตอร์ที่ความถี่ 75 Hz

เอกสารนี้เป็นเอกสารที่สงวนไว้สำหรับการใช้งานเพื่อการศึกษาเท่านั้น ไม่อนุญาตให้นำไปใช้ประโยชน์ด้านการค้า  
ไม่ว่ากรณีใดๆ ทั้งสิ้น อีกทั้งห้ามมิให้ตัดแปลงเนื้อหา และต้องอ้างอิงถึงเจ้าของเอกสารทุกครั้งที่มีการนำไปใช้



=Filter= Smoothing : OFF BW : FULL  
=Offset= CH1 : 0.00V CH2 : 0.00V  
=Record Length= Main : 10K Zoom : 500  
=Trigger= Mode : AUTO Type : EDGE CH1 Delay : 0.0ns Hold Off : MINIMUM

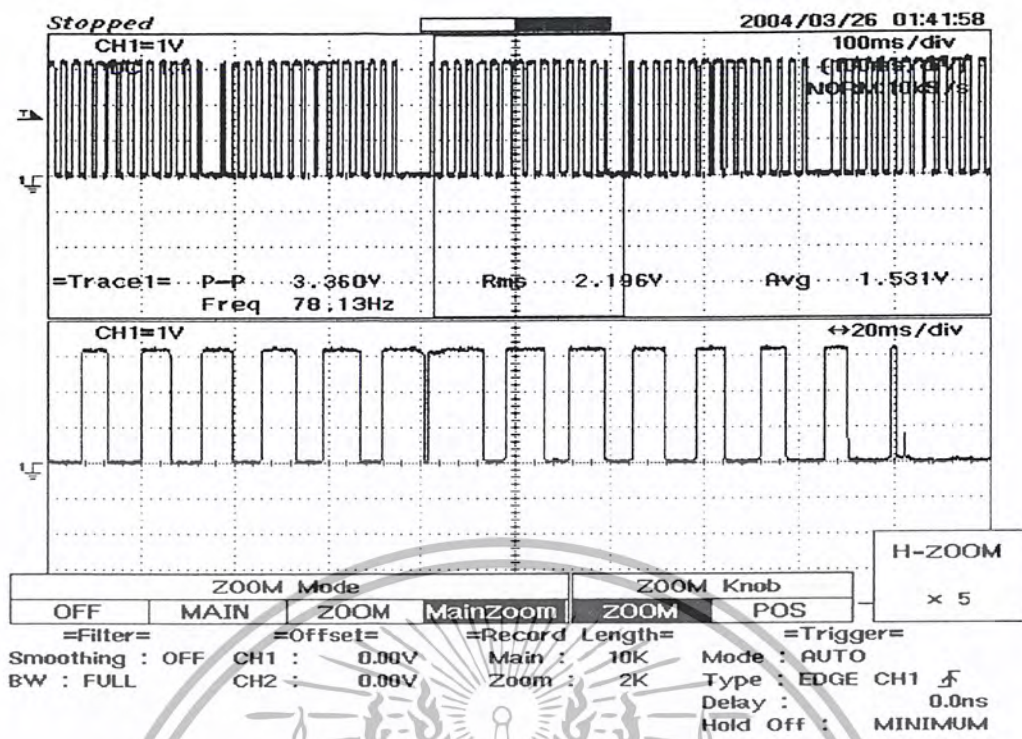
รูปที่ 5.8 แสดงสัญญาณที่ขับ ไอจีบีทีที่ผ่านวงจรรีจันทีเกรทที่ความถี่ 75 Hz



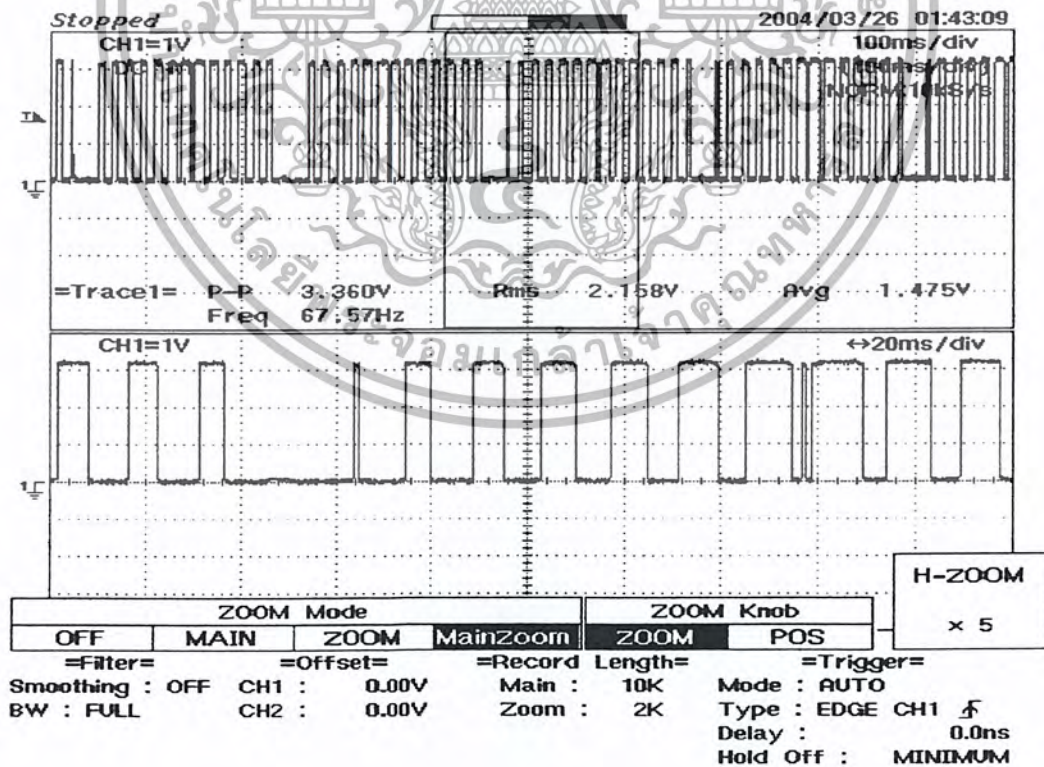
=Filter= Smoothing : OFF BW : FULL  
=Offset= CH1 : 0.00V CH2 : 0.00V  
=Record Length= Main : 10K Zoom : 500  
=Trigger= Mode : AUTO Type : EDGE CH1 Delay : 0.0ns Hold Off : MINIMUM

รูปที่ 5.9 แสดงสัญญาณที่ขับ ไอจีบีทีที่ผ่านวงจรรีจันทีเกรทที่ความถี่ 50 Hz

เอกสารนี้เป็นเอกสารที่สงวนไว้สำหรับการใช้งานเพื่อการศึกษาเท่านั้น ไม่อนุญาตให้นำไปใช้ประโยชน์ด้านการค้า  
ไม่ว่ากรณีใดๆ ทั้งสิ้น อีกทั้งห้ามมิให้ตัดแปลงเนื้อหา และต้องอ้างอิงถึงเจ้าของเอกสารทุกครั้งที่มีการนำไปใช้



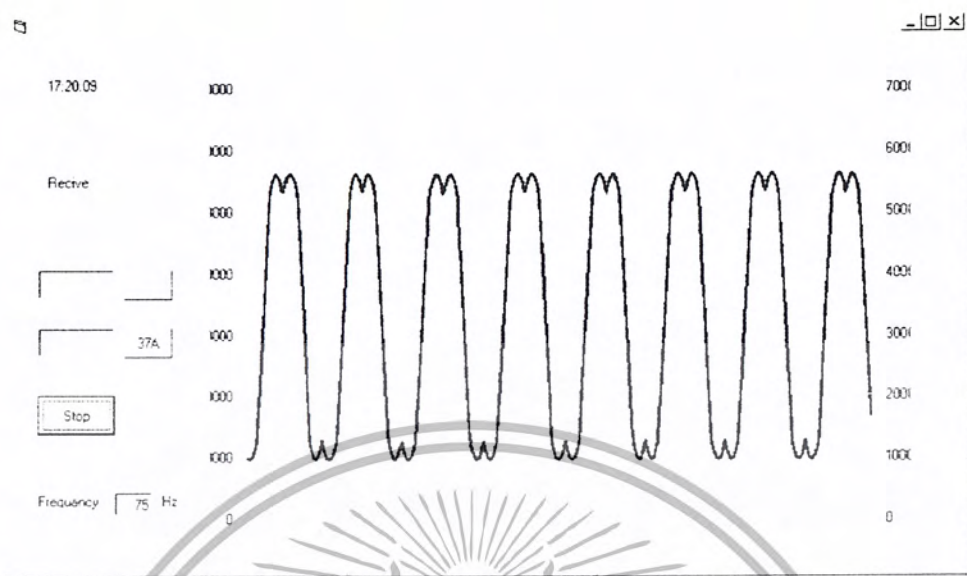
รูปที่ 5.9 แสดงสัญญาณที่ขับ ไอจีบีทีที่ความถี่ 78 Hz



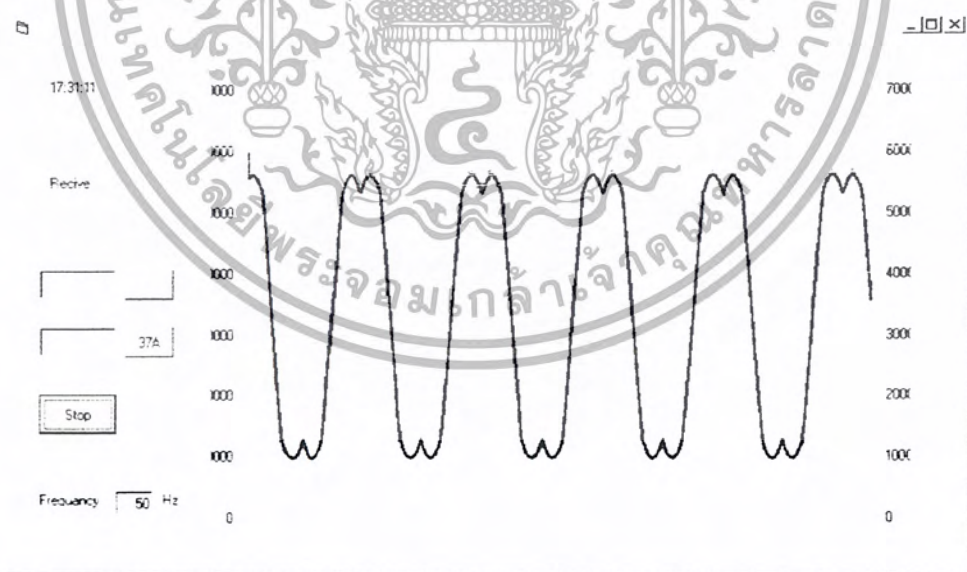
รูปที่ 5.10 แสดงสัญญาณที่ขับ ไอจีบีทีที่ความถี่ 67

เอกสารนี้เป็นเอกสารที่สงวนไว้สำหรับการใช้งานเพื่อการศึกษาเท่านั้น ไม่อนุญาตให้นำไปใช้ประโยชน์ด้านการค้า  
 ไม่ว่าจะกรณีใดๆ ทั้งสิ้น อีกทั้งห้ามมิให้ดัดแปลงเนื้อหา และต้องอ้างอิงถึงเจ้าของเอกสารทุกครั้งที่มีการนำไปใช้

### การแสดงผลผ่านทางหน้าคอมพิวเตอร์

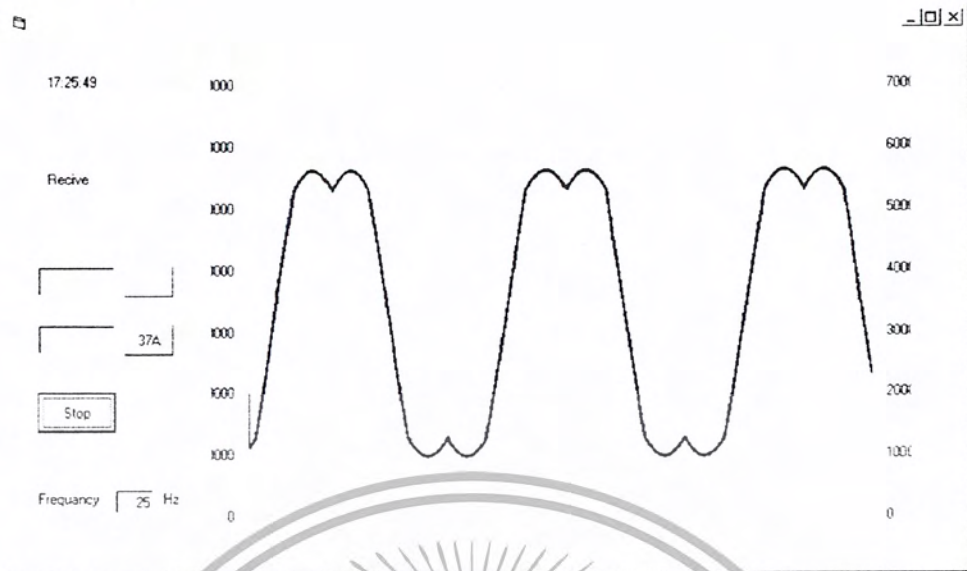


รูปที่ 5.11 แสดงสัญญาณที่ผ่านวงจรอินทิเกรตที่ 75 Hz

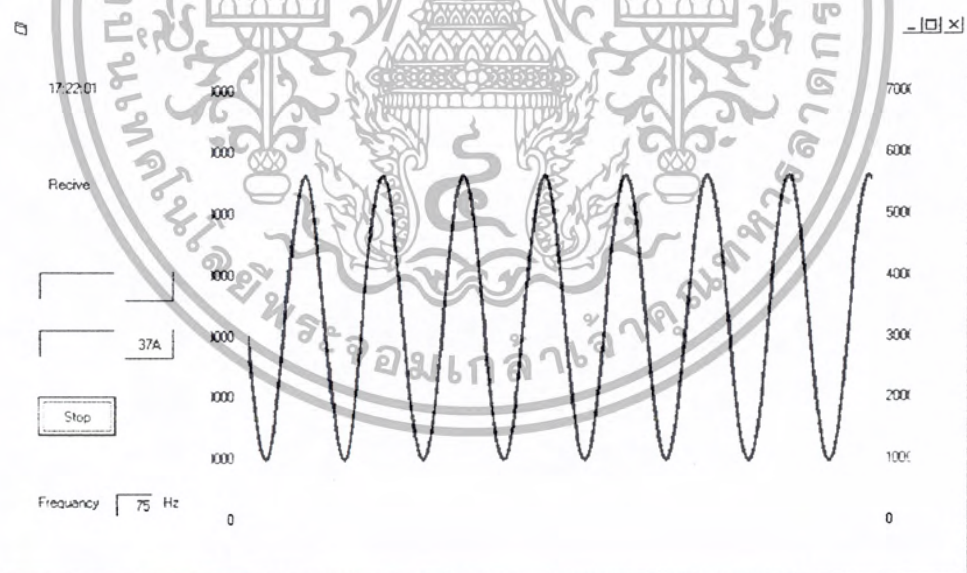


รูปที่ 5.12 แสดงสัญญาณที่ผ่านวงจรอินทิเกรตที่ 50 Hz

เอกสารนี้เป็นเอกสารที่สงวนไว้สำหรับการใช้งานเพื่อการศึกษาเท่านั้น ไม่อนุญาตให้นำไปใช้ประโยชน์ด้านการค้า  
ไม่ว่ากรณีใดๆ ทั้งสิ้น อีกทั้งห้ามมิให้ตัดแปลงเนื้อหา และต้องอ้างอิงถึงเจ้าของเอกสารทุกครั้งที่มีการนำไปใช้

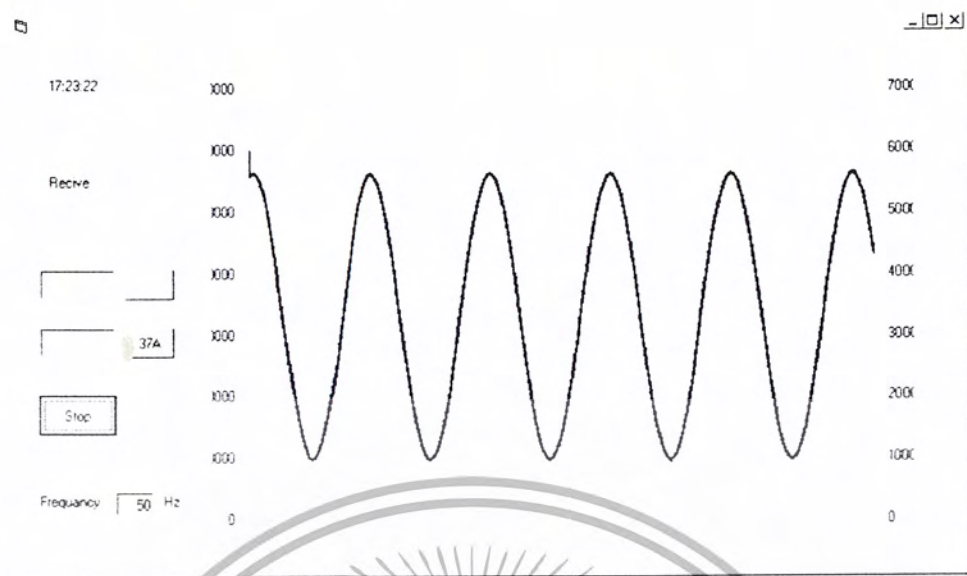


รูปที่ 5.13 แสดงสัญญาณที่ผ่านวงจรอินทิเกรตที่ 25 Hz

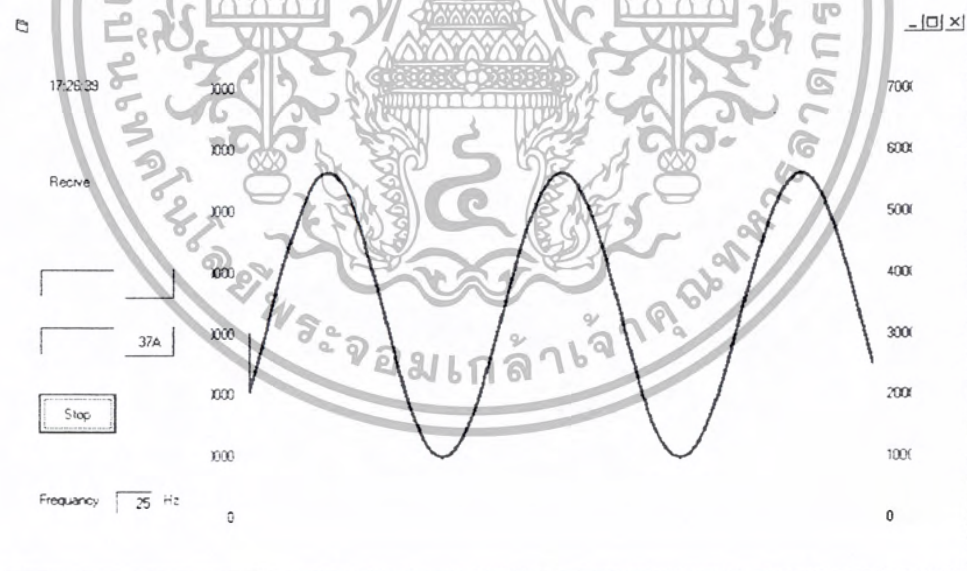


รูปที่ 5.14 แสดงสัญญาณที่ผ่านตัวตรวจจับกระแสที่ 75 Hz

เอกสารนี้เป็นเอกสารที่สงวนไว้สำหรับการใช้งานเพื่อการศึกษาเท่านั้น ไม่อนุญาตให้นำไปใช้ประโยชน์ด้านการค้า  
ไม่ว่ากรณีใดๆ ทั้งสิ้น อีกทั้งห้ามมิให้ตัดแปลงเนื้อหา และต้องอ้างอิงถึงเจ้าของเอกสารทุกครั้งที่มีการนำไปใช้



รูปที่ 5.15 แสดงสัญญาณที่ผ่านตัวตรวจจذبกระแสที่ 50 Hz



รูปที่ 5.15 แสดงสัญญาณที่ผ่านตัวตรวจจذبกระแสที่ 25 Hz

เอกสารนี้เป็นเอกสารที่สงวนไว้สำหรับการใช้งานเพื่อการศึกษาเท่านั้น ไม่อนุญาตให้นำไปใช้ประโยชน์ด้านการค้า  
ไม่ว่ากรณีใดๆ ทั้งสิ้น อีกทั้งห้ามมิให้ตัดแปลงเนื้อหา และต้องอ้างอิงถึงเจ้าของเอกสารทุกครั้งที่มีการนำไปใช้

## บทที่ 6

### บทสรุปโครงการอินเวอร์เตอร์

จากวัตถุประสงค์ที่เริ่มต้นทำโครงการนี้ เพื่อสร้างอินเวอร์เตอร์ที่สามารถควบคุมความเร็วมอเตอร์ได้ตามต้องการ โดยชิ้นงานในวิทยานิพนธ์ฉบับนี้จะทำการขับมอเตอร์ที่มีขนาด 1 แรงม้า 380 โวลต์

#### 6.1 ข้อดีของอินเวอร์เตอร์นี้

6.1.1 เนื่องจากใช้ความถี่ในการสวิตช์สูงจึงไม่มีเสียงรบกวน

6.1.2 หน่วยประมวลผลมีขนาด 16 บิต ดังนั้นทำให้การประมวลผล ทำได้เร็ว จึงสามารถทำคำสั่งได้มากกว่าในช่วงเวลาที่เท่ากัน ( โดยเปรียบเทียบกับไมโครคอนโทรลเลอร์ขนาด 8 บิต )

6.1.3 การสร้างสัญญาณพัลส์วิดมอดูเลชัน เกิดจากการประมวลผลด้วยหน่วยประมวลผล จึงดีกว่าวิธีการสร้างสัญญาณด้วยวิธีการทางอิเล็กทรอนิกส์ เพื่อสามารถหลีกเลี่ยงสัญญาณรบกวนได้

6.1.4 การมีไมโครคอนโทรลเลอร์เป็นตัวควบคุมการทำงานของอินเวอร์เตอร์ ทำให้สามารถเพิ่มฟังก์ชันการติดต่อกับคอมพิวเตอร์เพื่อดูฟังก์ชันการทำงานได้ด้วย

6.1.5 วงจรกำลัง ใช้ไอซีบีที ที่สร้างขึ้นสำหรับการทำอินเวอร์เตอร์โดยเฉพาะ สามารถทำงานที่ความถี่สูงได้ และสามารถทนกระแสได้สูงอีกด้วย

#### 6.2 ปัญหาในการทำโครงการนี้

6.2.1 ทางด้านวงจรอิเล็กทรอนิกส์ เนื่องจากผู้ร่วมงาน ไม่มีประสบการณ์ในการต่อวงจรทำไร่นักจึงทำให้ช่วงเริ่มต้นมีปัญหาอยู่บ้าง

6.2.2 เนื่องจากไม่มีวงจรจำกัดกระแส อินรัชเวลาจะทำการทดลองอินเวอร์เตอร์จึงต้องใช้ variac 3 เฟส

6.2.3 ทางด้านการเขียนโปรแกรม เนื่องจากผู้ร่วมงานไม่เคย สร้างวงจรไมโครคอนโทรลเลอร์ และเขียนโปรแกรมด้วย dsp มาก่อน ประกอบกับ ไมโครคอนโทรลเลอร์ที่ใช้มีบอร์ดทดลองสำเร็จรูป ทำให้ต้องหาข้อมูลที่เกี่ยวข้องทั้งหมดและการทดลองใช้งานฟังก์ชันต่างๆ ที่มีในตัวไมโครคอนโทรลเลอร์ ทำให้ต้องเสียเวลาในการเริ่มต้นอย่างมาก

6.2.4 อุปกรณ์บางตัวมีราคาแพงและไม่มีขายตามท้องตลาดทำให้มีความล่าช้าในการสั่งซื้อ

#### 6.3 สิ่งที่ควรพัฒนาต่อไปสำหรับโครงการนี้

6.3.1 ควรมียังจรีเงินเนอเรทิฟเพื่อให้อินเวอร์เตอร์วิทยานิพนธ์ฉบับนี้ใช้งาน ได้สมบูรณ์ยิ่งขึ้น

6.3.2 ควรมียังจรีจำกัดกระแสอินรัช เพื่อจำกัดกระแสคอนเข้าอินเวอร์เตอร์ เพราะจะไม่ต้องใช้ variac 3 เฟส เวลาทดลอง

6.3.3 โปรแกรมชดเชย เดลไทม์ จะช่วยแก้ปัญหาคาเรนไม่เรียบของมอเตอร์ที่ความถี่ต่ำซึ่ง

วิทยานิพนธ์ฉบับนี้ไม่ได้สร้างขึ้น แต่ได้ทำการศึกษาไว้ดังนี้

เอกสารนี้เป็นเอกสารที่สงวนไว้สำหรับการใช้งานเพื่อการศึกษาเท่านั้น ไม่อนุญาตให้นำไปใช้ประโยชน์ด้านการค้า ไม่ว่าจะกรณีใดๆ ทั้งสิ้น อีกทั้งห้ามมิให้ดัดแปลงเนื้อหา และต้องอ้างอิงถึงเจ้าของเอกสารทุกครั้งที่มีการนำไปใช้

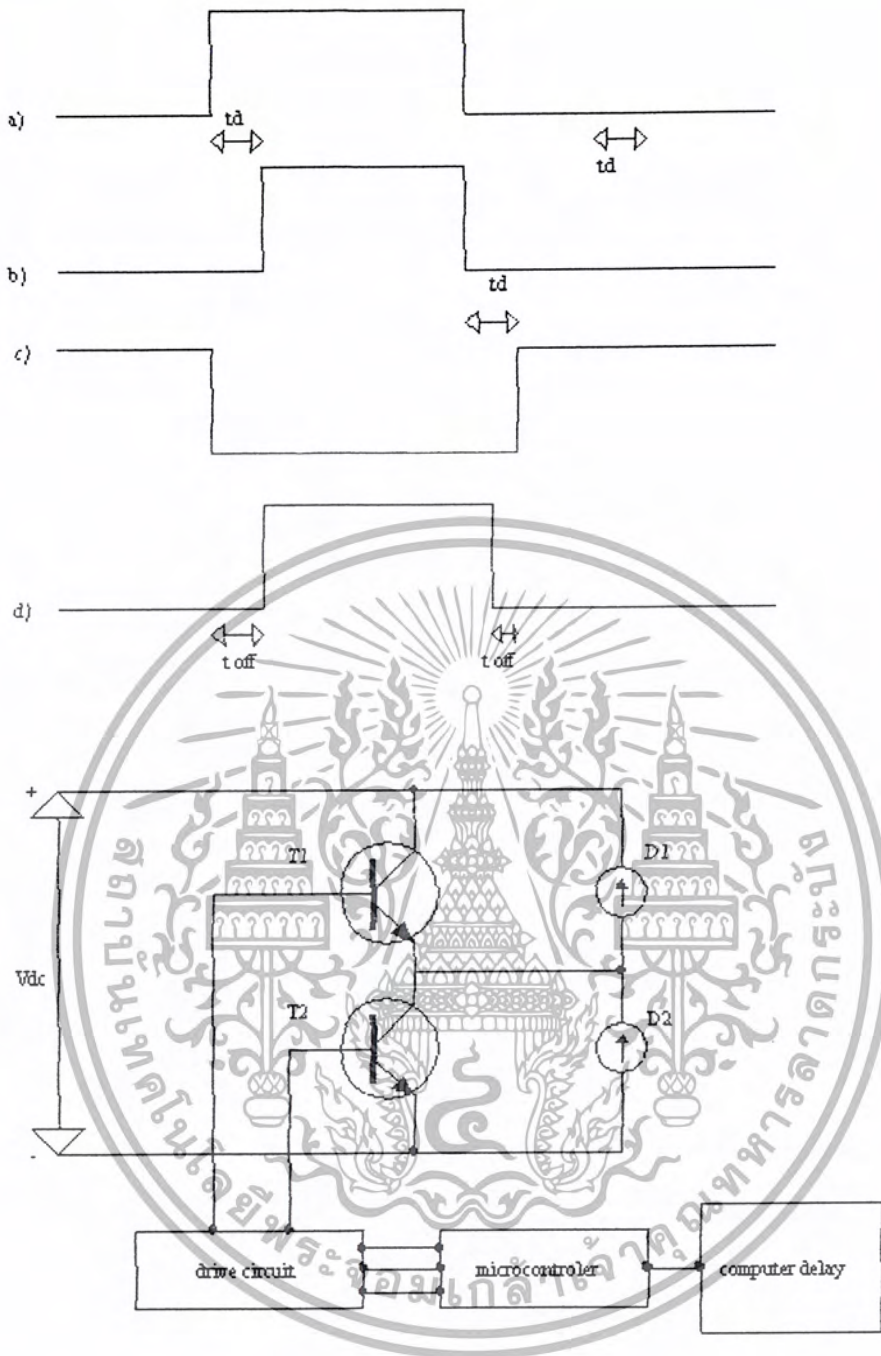
#### 6.4 ปัญหาจากผลของการผิดเพี้ยน ( distortion ) ของกราฟกระแสที่ความถี่ต่ำ

เนื่องจากความเป็นจริงของพวกอุปกรณ์ จำพวกสวิตช์อิเล็กทรอนิกส์ ที่มีขีดจำกัดในด้านความเร็ว และความแม่นยำในการเปิด - ปิด ได้สนิทเมื่ออุปกรณ์ได้รับสัญญาณควบคุมเข้ามาเรียกว่า ดีไวซ์สตอเรจ ไทม์ ( device storage time ) ด้วยเหตุนี้ทำให้เราไม่สามารถที่ทำให้  $t_1$  และ  $t_2$  เปิด - ปิดสลับกันได้ทันทีเพราะทำให้เกิดปัญหา short through ขึ้นในระบบเกิดความเสียหายขึ้นกับอุปกรณ์ในอินเวอร์เตอร์เพื่อหลีกเลี่ยงการเกิดปัญหาเช่นนี้

โดยทั่วไปแล้วในอินเวอร์เตอร์ ต้องมีการเผื่อเวลาไว้ช่วงหนึ่งเพื่อให้ ไอจีบีทีตัวหนึ่งปิดสนิทเสียก่อนจึงเริ่มให้ไอจีบีทีอีกตัวเริ่ม เปิดได้ช่วงเวลาที่เร เผื่อความปลอดภัยเรียกว่าเดดไทม์ ( dead time )

ในวิทยานิพนธ์ฉบับนี้จะใช้ฟังก์ชันในคัวโมโครคอนโทรลเลอร์ในการสร้างเดดไทม์ ปัญหาที่เกิดขึ้นมาหลังจากการมีเดดไทม์ ทำให้แรงดันที่โวลต์จะผิดเพี้ยนจากสัญญาณพัลส์วิดมอดูเลชั่น ที่สร้างโดยไมโครคอนโทรลเลอร์ นั่นคือเกิดการสทอนสัญญาณ ( wave form distortion ) ซึ่งจะมีผลอย่างมากในช่วงที่ไมโครคอนโทรลเลอร์ทำการสร้างสัญญาณสเปกเทออร์พัลส์วิดมอดูเลชั่นที่ความถี่ต่ำ





รูปที่ 6.1 a รูปกราฟสัญญาณพัลส์วิดตมอูลต

รูปที่ 6.1 b สัญญาณลอจิก สำหรับ T1

รูปที่ 6.1 c สัญญาณลอจิก สำหรับ T2

รูปที่ 6.1 d รูปกราฟแรงดันเอาต์พุตจริง

จากรูปไมโครคอนโทรลเลอร์ทำหน้าที่สร้างสเปซเวกเตอร์ดังรูป 6.1 a ซึ่งสัญญาณพัลส์วิดตมอูลตนี้

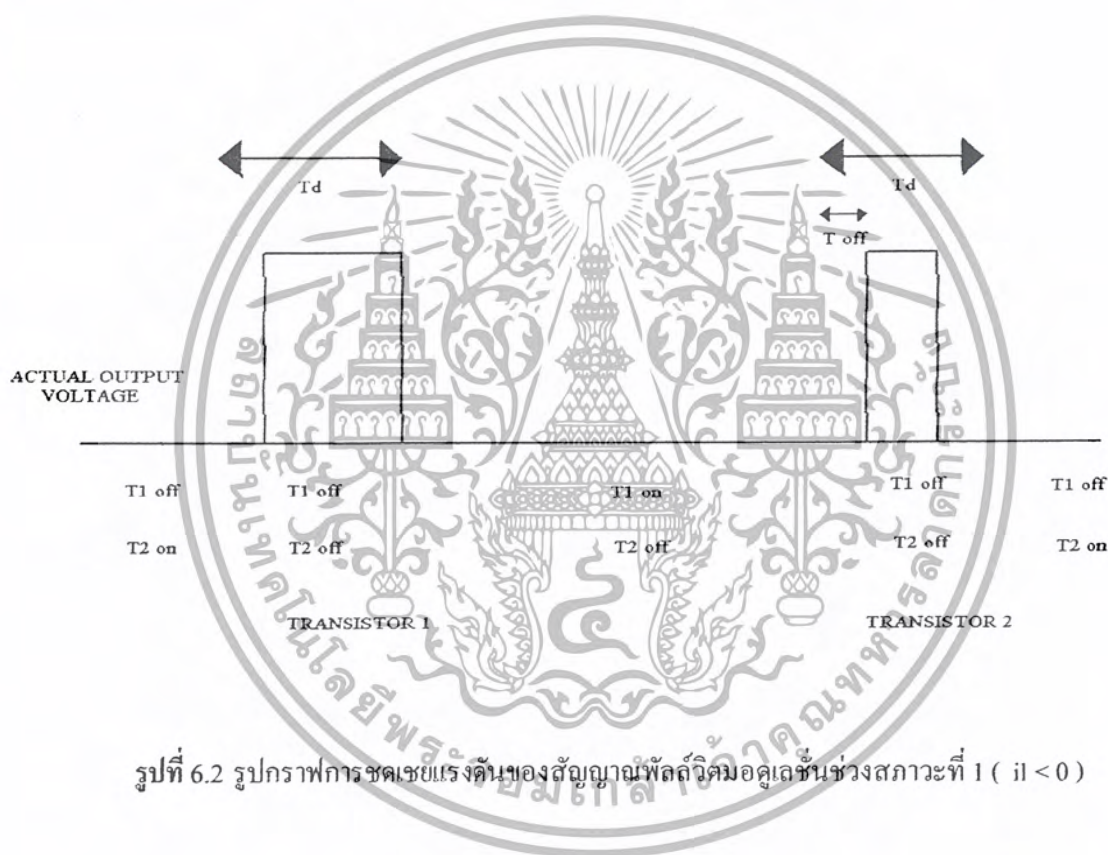
ถูกส่งเข้าวงจรหม่่วงเพื่อควบคุมการปิด  $t_1$  และ  $t_2$  ให้ปลอดภัยโดยมีเดดไทม์เท่ากับ  $T_d$  ดังรูป 6.1b และ

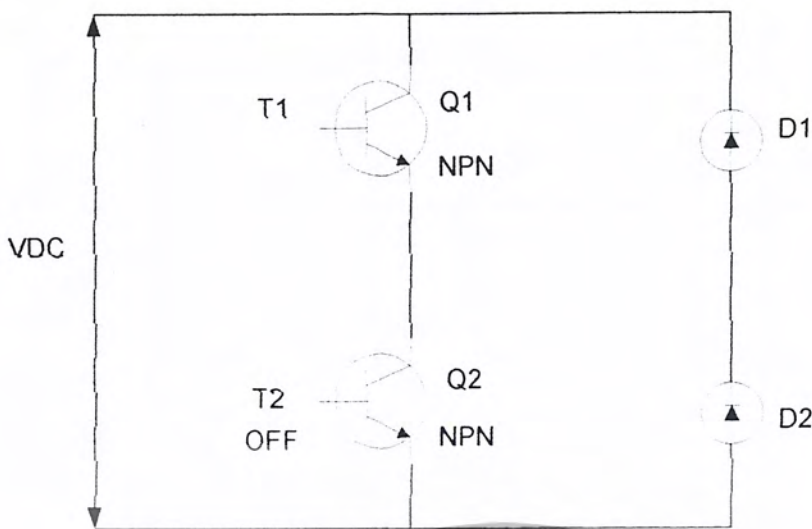
เอกสารนี้เป็นเอกสารที่สงวนไว้สำหรับการใช้งานเพื่อการศึกษาเท่านั้น ไมออนุญาตให้นำไปใช้ประโยชน์ด้านการค้า  
ไม่ว่ากรณีใดๆ ทั้งสิ้น อีกทั้งห้ามมิให้ดัดแปลงเนื้อหา และต้องอ้างอิงถึงเจ้าของเอกสารทุกครั้งที่มีการนำไปใช้

6.1c ตามลำดับ และสัญญาณเหล่านี้จะถูกส่งเข้าวงจรขับเบสเพื่อขับการเปิด-ปิด  $t_1$  และ  $t_2$  ส่วนรูป 6.1d แสดงรูปคลื่นแรงดันขาออกที่เกิดขึ้นจริงเปรียบเทียบกับรูป 6.1a กับรูป 6.1d เราจะเห็นได้ว่ารูปคลื่นแรงดันขาออกจริง ที่ได้มีความกว้างการเปิด - ปิด ไม่เท่ากับสัญญาณที่ได้จาก ส่วนประมวลผลทำให้แรงดันที่กลับเฟส จำรูปคลื่นไม่เป็นพัลส์วิดมอดูเลชัน ที่สมบูรณ์คือเกิด การผิดเพี้ยนของรูปคลื่นและแรงดันตก

#### หมายเหตุ

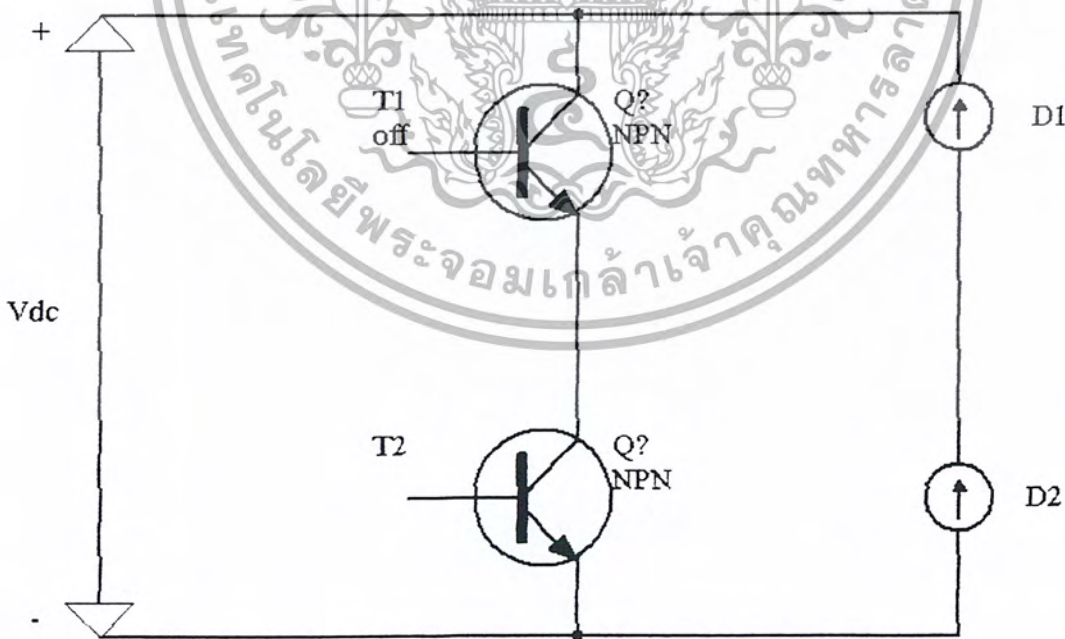
ในกรณีของโหลดเหนี่ยวนำรูปคลื่นแรงดันที่แท้จริงที่ได้อาจจะแตกต่างจากรูป 6.1d โดยทั้งนี้ส่วนเปลี่ยนแปลงไปในช่วงสภาวะจะเกิดขึ้นกับทิศทางการไหลของกระแสโหลดดังรูปต่อไปนี้





รูปที่ 6.3 ช่วงสลับการทำงานของทรานซิสเตอร์และไดโอดสถานะที่ 1

ในช่วงขณะนี้ ขณะที่  $v_2$  กำลังขีล กระแสไหลลงจะเปลี่ยนทางการไหลจากไหลผ่าน  $v_2$  มาเป็นการไหลจากไหลผ่านเข้าฟรีวีลิ่งไดโอด (free wheeling diode)  $d1$  เนื่องจากกระแสไหลลงเป็นกระแสต่อเนื่องจึงทำให้ระดับแรงดันที่จุด  $a$  เปลี่ยนเป็นระดับสูงขึ้นก่อนที่  $T1$  จะถูกสั่งให้เปิดจริงๆ ช่วงสภาวะที่ 2



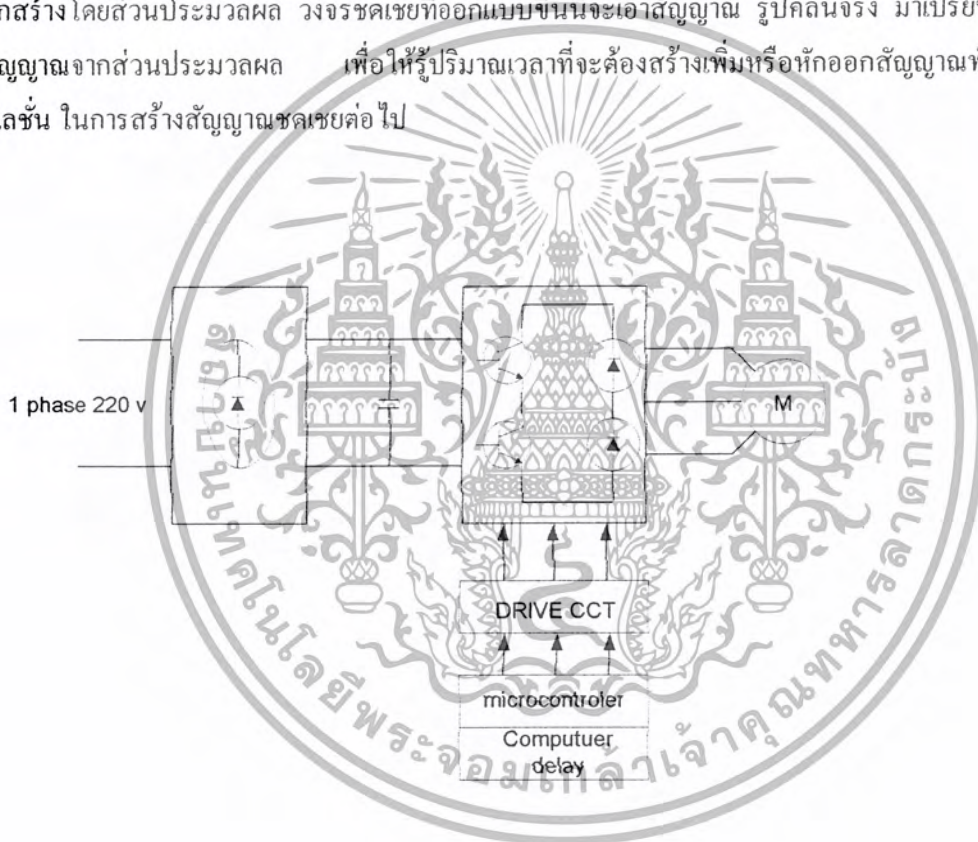
รูปที่ 6.4 ช่วงสลับการทำงานของทรานซิสเตอร์และไดโอดสถานะที่ 2

เอกสารนี้เป็นเอกสารที่สงวนไว้สำหรับการใช้งานเพื่อการศึกษาเท่านั้น ไม่อนุญาตให้นำไปใช้ประโยชน์ด้านการค้า ไม่ว่าจะกรณีใดๆ ทั้งสิ้น อีกทั้งห้ามมิให้ตัดแปลงเนื้อหา และต้องอ้างอิงถึงเจ้าของเอกสารทุกครั้งที่มีการนำไปใช้

ในช่วงสภาวะนี้ ขณะที่  $t_1$  กำลังปิด กระแสไหลจะเปลี่ยนทางการไหลผ่าน  $t_1$  ไปยังโหลด มาเป็นการไหลผ่านฟิวส์ลิ่งไดโอด  $d_2$  ไปยังโหลด อันเนื่องจากกระแสไหล เป็นกระแสต่อเนื่องเช่นกัน จึงทำให้ระดับแรงดันที่จุด  $a$  เป็นระดับต่ำ ช้าลง

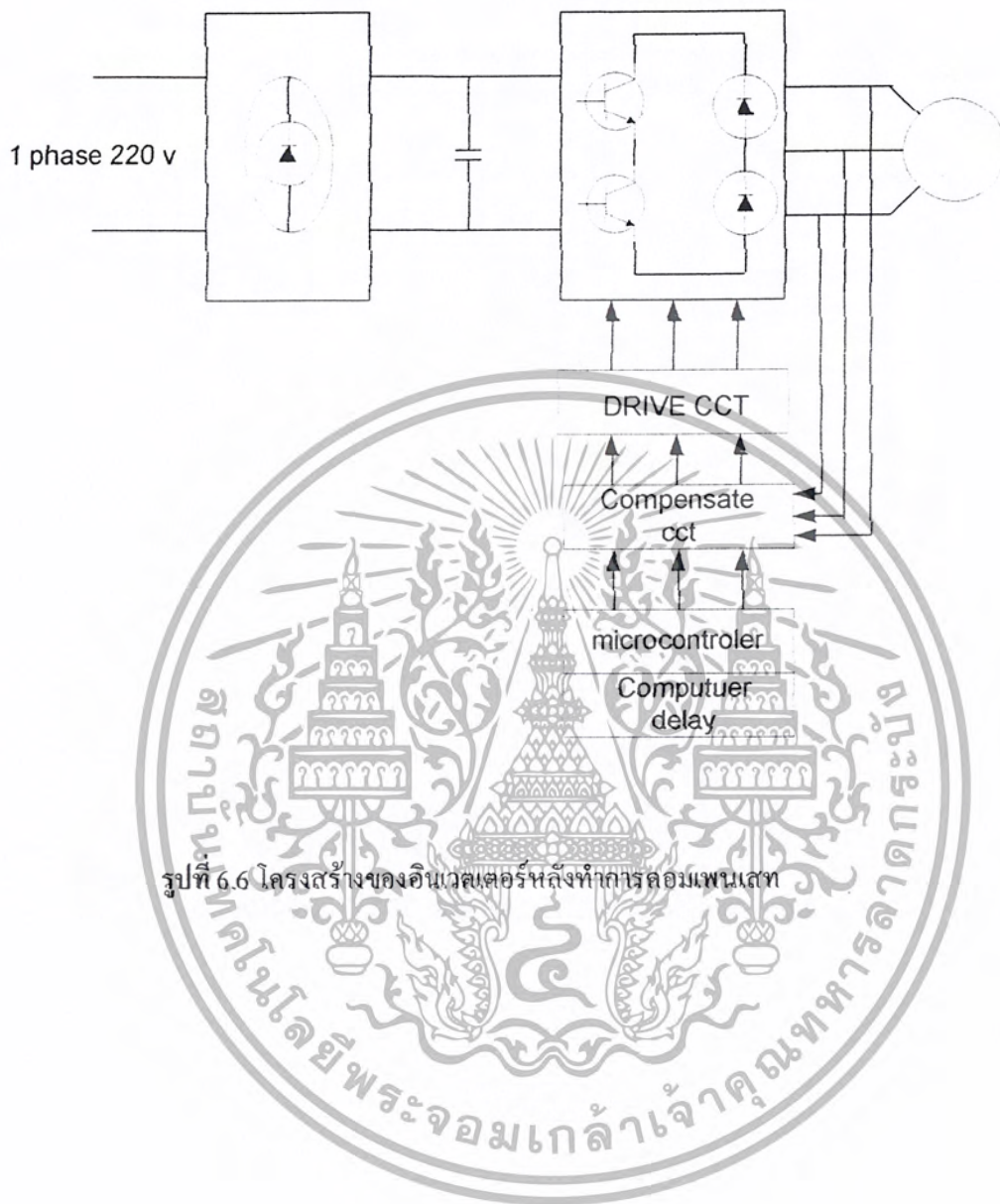
### แนวทางการแก้ปัญหา

เราจะแก้ปัญหาค่าการผิดเพี้ยนของสัญญาณที่เกิดขึ้น โดยการออกแบบ วงจรชดเชยที่มีหน้าที่สร้างสัญญาณชดเชยสัญญาณจริงจากตัวประมวลผล เพื่อให้ถูกต้องตามแบบของสัญญาณพัลส์วิดิมอดูเลชันที่ถูกสร้างโดยส่วนประมวลผล วงจรชดเชยที่ออกแบบขึ้นนี้จะเอาสัญญาณ รูปคลื่นจริง มาเปรียบเทียบกับสัญญาณจากส่วนประมวลผล เพื่อให้รู้ปริมาณเวลาที่จะต้องสร้างเพิ่มหรือหักออกสัญญาณพัลส์วิดิมอดูเลชัน ในการสร้างสัญญาณชดเชยต่อไป



รูปที่ 6.5 โครงสร้างของอินเวอร์เตอร์ก่อนทำการคอมเพนเซต

เอกสารนี้เป็นเอกสารที่สงวนไว้สำหรับการใช้งานเพื่อการศึกษาเท่านั้น ไม่อนุญาตให้นำไปใช้ประโยชน์ด้านการค้า  
ไม่ว่ากรณีใดๆ ทั้งสิ้น อีกทั้งห้ามมิให้ตัดแปลงเนื้อหา และต้องอ้างอิงถึงเจ้าของเอกสารทุกครั้งที่มีการนำไปใช้



รูปที่ 6.6 โครงสร้างของอินเวอร์เตอร์หลังทำการคอมเพนเสต

เอกสารนี้เป็นเอกสารที่สงวนไว้สำหรับการใช้งานเพื่อการศึกษาเท่านั้น ไม่อนุญาตให้นำไปใช้ประโยชน์ด้านการค้า  
 ไม่ว่ากรณีใดๆ ทั้งสิ้น อีกทั้งห้ามมิให้ตัดแปลงเนื้อหา และต้องอ้างอิงถึงเจ้าของเอกสารทุกครั้งที่มีการนำไปใช้

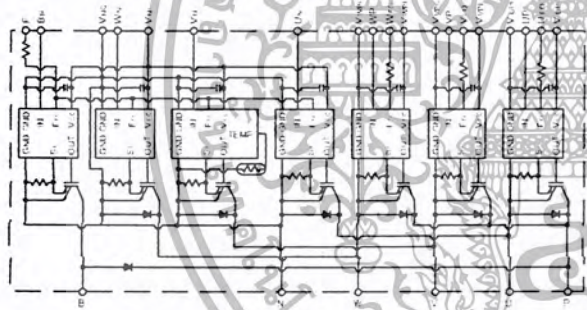
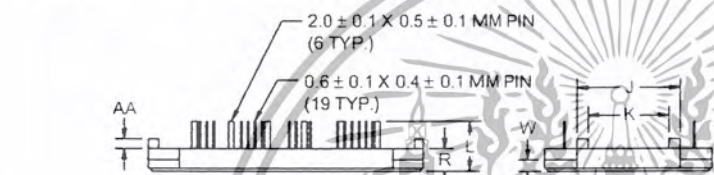
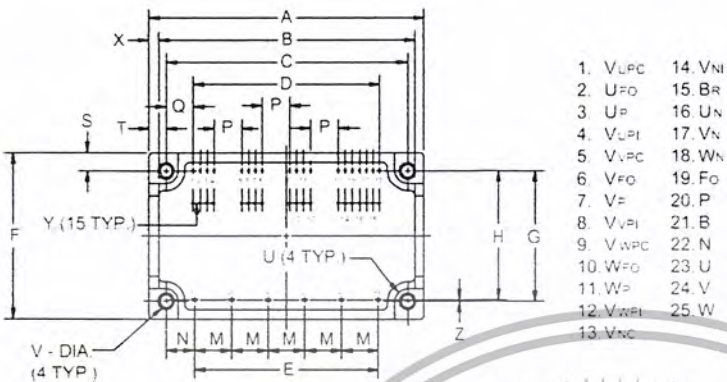
## ภาคผนวก ก. ข้อมูลของโมดูลชุดชั้นเบท



เอกสารนี้เป็นเอกสารที่สงวนไว้สำหรับการใช้งานเพื่อการศึกษาเท่านั้น ไม่อนุญาตให้นำไปใช้ประโยชน์ด้านการค้า  
ไม่ว่ากรณีใดๆ ทั้งสิ้น อีกทั้งห้ามมิให้ตัดแปลงเนื้อหา และต้องอ้างอิงถึงเจ้าของเอกสารทุกครั้งที่มีการนำไปใช้

# PM10RSH120

FLAT-BASE TYPE  
INSULATED PACKAGE



**Description:**

Mitsubishi Intelligent Power Modules are isolated base modules designed for power switching applications operating at frequencies to 20kHz. Built-in control circuits provide optimum gate drive and protection for the IGBT and free-wheel diode power devices.

**Features:**

- Complete Output Power Circuit
- Gate Drive Circuit
- Protection Logic
  - Short Circuit
  - Over Current
  - Over Temperature
  - Under Voltage

**Applications:**

- Inverters
- UPS
- Motion/Servo Control
- Power Supplies

**Ordering Information:**

Example: Select the complete part number from the table below -i.e. PM10RSH120 is a 1200V, 10 Ampere Intelligent Power Module.

Type	Current Rating Amperes	V <sub>CES</sub> Volts (x 10)
PM	10	120

**Outline Drawing and Circuit Diagram**

Dimensions	Inches	Millimeters	Dimensions	Inches	Millimeters
A	3.98±0.04	101.0±1.0	N	0.41	10.5
B	3.78	96.0	P	0.400	10.16
C	3.48±0.03	88.5±0.8	Q	0.392	9.96
D	2.700±0.03	68.58±0.8	R	0.31	8.0
E	2.66±0.02	67.5±0.5	S	0.26	6.5
F	2.36±0.04	60.0±1.0	T	0.246	6.25
G	1.85±0.02	47.0±0.5	U	0.18 Rad.	Rad. 4.5
H	1.83±0.03	46.5±0.8	V	0.18 Dia.	Dia. 4.5
J	1.28	32.6	W	0.17±0.02	4.4±0.5
K	0.97	24.6	X	0.10	2.5
L	0.71±0.04	18.0±1.0	Y	0.100±0.01	2.54±0.25
M	0.53±0.01	13.5±0.3	Z	0.02	0.5
			AA	0.14	3.5



**PM10RSH120**

**FLAT-BASE TYPE  
INSULATED PACKAGE**

**Absolute Maximum Ratings,  $T_j = 25^\circ\text{C}$  unless otherwise specified**

	Symbol	Ratings	Units
Power Device Junction Temperature	$T_j$	-20 to 150	$^\circ\text{C}$
Storage Temperature	$T_{\text{stg}}$	-40 to 125	$^\circ\text{C}$
Case Operating Temperature	$T_C$	-20 to 100	$^\circ\text{C}$
Mounting Torque, M4 Mounting Screws	—	0.98 ~ 1.47	N · m
Module Weight (Typical)	—	100	Grams
Supply Voltage Protected by OC and SC ( $V_D = 13.5 - 16.5\text{V}$ , Inverter Part, $T_j = 125^\circ\text{C}$ )	$V_{\text{CC(prot.)}}$	800	Volts
Isolation Voltage (Main Terminal to Baseplate, AC 1 min.)	$V_{\text{iso}}$	2500	Vrms

**Control Sector**

Supply Voltage (Applied between $V_{UP1}-V_{UPC}$ , $V_{VP1}-V_{VPC}$ , $V_{WP1}-V_{WPC}$ , $V_{N1}-V_{NC}$ )	$V_D$	20	Volts
Input Voltage (Applied between $U_P-V_{UPC}$ , $V_P-V_{VPC}$ , $W_P-V_{WPC}$ , $U_N \cdot V_N$ , $W_N \cdot B_r-V_{NC}$ )	$V_{\text{CIN}}$	20	Volts
Fault Output Supply Voltage Applied between ( $U_{FO}-V_{UPC}$ , $V_{FO}-V_{VPC}$ , $W_{FO}-V_{WPC}$ , $F_O-V_{NC}$ )	$V_{\text{FO}}$	20	Volts
Fault Output Current (Sink Current at $U_{FO}$ , $V_{FO}$ , $W_{FO}$ and $F_O$ Terminal)	$I_{\text{FO}}$	20	mA

**IGBT Inverter Sector**

Collector-Emitter Voltage ( $V_D = 15\text{V}$ , $V_{\text{CIN}} = 15\text{V}$ )	$V_{\text{CES}}$	1200	Volts
Collector Current, ( $T_C = 25^\circ\text{C}$ )	$I_C$	10	Amperes
Peak Collector Current, ( $T_C = 25^\circ\text{C}$ )	$I_{\text{CP}}$	20	Amperes
Supply Voltage (Applied between P - N)	$V_{\text{CC}}$	900	Volts
Supply Voltage, Surge (Applied between P - N)	$V_{\text{CC(surge)}}$	1000	Volts
Collector Dissipation	$P_C$	62	Watts

**Brake Sector**

Collector-Emitter Voltage ( $V_D = 15\text{V}$ , $V_{\text{CIN}} = 15\text{V}$ )	$V_{\text{CES}}$	1200	Volts
Collector Current, ( $T_C = 25^\circ\text{C}$ )	$I_C$	10	Amperes
Peak Collector Current, ( $T_C = 25^\circ\text{C}$ )	$I_{\text{CP}}$	20	Amperes
Supply Voltage (Applied between P - N)	$V_{\text{CC}}$	900	Volts
Supply Voltage, Surge (Applied between P - N)	$V_{\text{CC(surge)}}$	1000	Volts
Collector Dissipation	$P_C$	41	Watts
Diode Forward Current	$I_F$	10	Amperes
Diode DC Reverse Voltage	$V_{\text{R(DC)}}$	1200	Volts

เอกสารนี้เป็นเอกสารที่สงวนไว้สำหรับการใช้งานที่ออกจากรายชื่อเท่านั้น ไม่อนุญาตให้นำไปใช้ประโยชน์ด้านการค้า  
ไม่ว่ากรณีใดๆ ทั้งสิ้น อีกทั้งห้ามมิให้ดัดแปลงเนื้อหา และต้องอ้างอิงถึงเจ้าของเอกสารทุกครั้งที่มีการนำไปใช้



PM10RSH120

FLAT-BASE TYPE  
INSULATED PACKAGE

Electrical and Mechanical Characteristics,  $T_j = 25^\circ\text{C}$  unless otherwise specified

Characteristics	Symbol	Test Conditions	Min.	Typ.	Max.	Units
<b>Control Sector</b>						
Over Current Trip Level Inverter Part	OC	$-20^\circ\text{C} \leq T \leq 125^\circ\text{C}, V_D = 15\text{V}$	15	27	—	Amperes
Over Current Trip Level Brake Part			15	27	—	Amperes
Short Circuit Trip Level Inverter Part	SC	$-20^\circ\text{C} \leq T \leq 125^\circ\text{C}, V_D = 15\text{V}$	—	41	—	Amperes
Short Circuit Trip Level Brake Part			—	41	—	Amperes
Over Current Delay Time	$t_{\text{off}}(\text{OC})$	$V_D = 15\text{V}$	—	10	—	$\mu\text{s}$
Over Temperature Protection	OT	Trip Level	100	110	125	$^\circ\text{C}$
	$\text{OT}_r$	Reset Level	—	90	—	$^\circ\text{C}$
Supply Circuit Under Voltage Protection	UV	Trip Level	11.5	12.0	12.5	Volts
	$\text{UV}_r$	Reset Level	—	12.5	—	Volts
Supply Voltage	$V_D$	Applied between $V_{\text{UP}1}-V_{\text{UPC}}, V_{\text{VP}1}-V_{\text{VPC}}, V_{\text{WP}1}-V_{\text{WPC}}, V_{\text{N}1}-V_{\text{NC}}$	13.5	15	16.5	Volts
Circuit Current	$I_D$	$V_D = 15\text{V}, V_{\text{CIN}} = 15\text{V}, V_{\text{N}1}-V_{\text{NC}}$	—	25	35	mA
		$V_D = 15\text{V}, V_{\text{CIN}} = 15\text{V}, V_{\text{XP}1}-V_{\text{XPC}}$	—	7	10	mA
Input ON Threshold Voltage	$V_{\text{th}}(\text{on})$	Applied between	1.2	1.5	1.8	Volts
Input OFF Threshold Voltage	$V_{\text{th}}(\text{off})$	$U_P-V_{\text{UPC}}, V_P-V_{\text{VPC}}, W_P-V_{\text{WPC}}, U_N \cdot V_N \cdot W_N \cdot B_r-V_{\text{NC}}$	1.7	2.0	2.3	Volts
PWM Input Frequency	$f_{\text{PWM}}$	3- $\phi$ Sinusoidal	—	15	20	kHz
Fault Output Current	$I_{\text{FO}}(\text{H})$	$V_D = 15\text{V}, V_{\text{FO}} = 15\text{V}$	—	—	0.01	mA
	$I_{\text{FO}}(\text{L})$	$V_D = 15\text{V}, V_{\text{FO}} = 15\text{V}$	—	10	15	mA
Minimum Fault Output Pulse Width	$t_{\text{FO}}$	$V_D = 15\text{V}$	1.0	1.8	—	ms



**PM10RSH120**

FLAT-BASE TYPE  
INSULATED PACKAGE

**Electrical and Mechanical Characteristics,  $T_j = 25^\circ\text{C}$  unless otherwise specified**

Characteristics	Symbol	Test Conditions	Min.	Typ.	Max.	Units
<b>IGBT Inverter Sector</b>						
Collector Cutoff Current	$I_{CES}$	$V_{CE} = V_{CES}, T_j = 25^\circ\text{C}$	—	—	1.0	mA
		$V_{CE} = V_{CES}, T_j = 125^\circ\text{C}$	—	—	10	mA
Emitter-Collector Voltage	$V_{EC}$	$-I_C = 10\text{A}, V_D = 15\text{V}, V_{CIN} = 5\text{V}$	—	2.5	3.5	Volts
Collector-Emitter Saturation Voltage	$V_{CE(sat)}$	$V_D = 15\text{V}, V_{CIN} = 0\text{V}, I_C = 10\text{A}$	—	2.3	3.3	Volts
		$V_D = 15\text{V}, V_{CIN} = 0\text{V}, I_C = 10\text{A}, T_j = 125^\circ\text{C}$	—	2.1	3.1	Volts
Inductive Load Switching Times	$t_{on}$		0.4	0.7	1.5	$\mu\text{s}$
	$t_{rr}$	$V_D = 15\text{V}, V_{CIN} = 0\text{V} \leftrightarrow 15\text{V}$	—	0.15	0.3	$\mu\text{s}$
	$t_{C(on)}$	$V_{CC} = 600\text{V}, I_C = 10\text{A}$	—	0.3	1.0	$\mu\text{s}$
	$t_{off}$	$T_j = 125^\circ\text{C}$	—	1.7	2.9	$\mu\text{s}$
	$t_{C(off)}$		—	0.6	1.2	$\mu\text{s}$
<b>Brake Sector</b>						
Collector-Emitter Saturation Voltage	$V_{CE(sat)}$ $T_j = 25^\circ\text{C}$	$V_D = 15\text{V}, V_{CIN} = 0\text{V}, I_C = 10\text{A}$	—	2.8	3.8	Volts
		$V_D = 15\text{V}, V_{CIN} = 0\text{V}, I_C = 10\text{A}, T_j = 125^\circ\text{C}$	—	2.5	3.5	Volts
Diode Forward Voltage	$V_{FM}$	$I_F = 10\text{A}, V_D = 15\text{V}, V_{CIN} = 5\text{V}$	—	2.5	3.5	Volts
Collector Cutoff Current	$I_{CES}$	$V_{CE} = V_{CES}, T_j = 25^\circ\text{C}$	—	—	1	mA
		$V_{CE} = V_{CES}, T_j = 125^\circ\text{C}$	—	—	10	mA



**PM10RSH120**

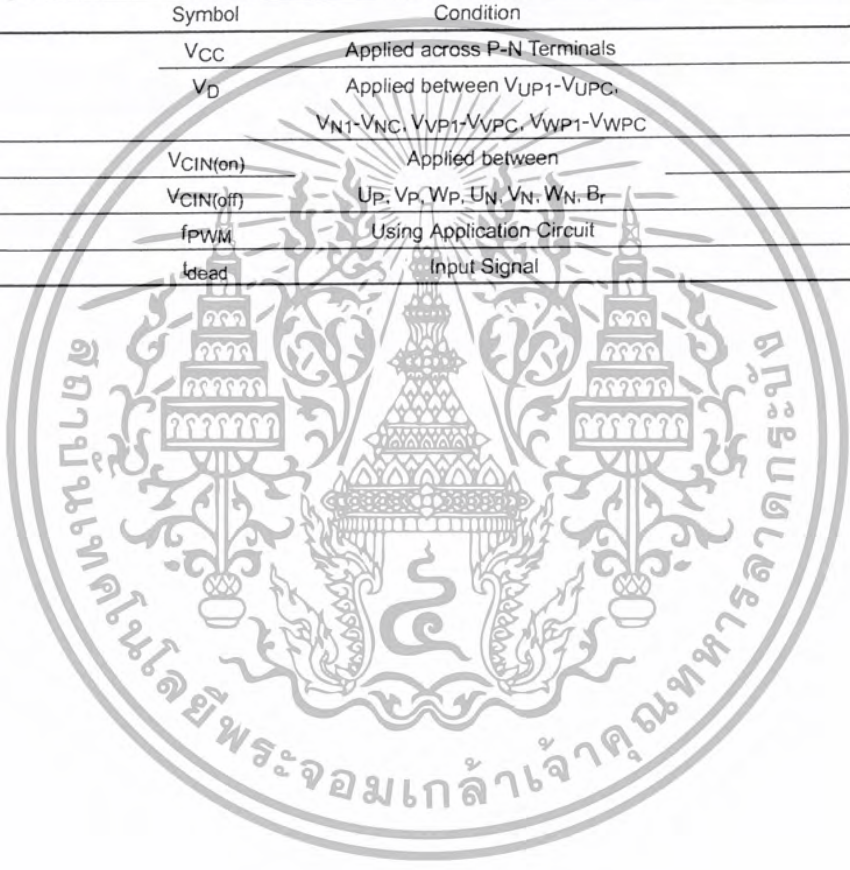
**FLAT-BASE TYPE  
INSULATED PACKAGE**

**Thermal Characteristics**

Characteristic	Symbol	Condition	Min.	Typ.	Max.	Units
Junction to Case Thermal Resistance	$R_{th(j-c)Q}$	Each Inverter IGBT	—	—	2.0	°C/Watt
	$R_{th(j-c)F}$	Each Inverter FWDi	—	—	5.5	°C/Watt
	$R_{th(c-f)Q}$	Each Brake IGBT	—	—	3.0	°C/Watt
	$R_{th(c-f)F}$	Each Brake FWDi	—	—	5.5	°C/Watt
Contact Thermal Resistance	$R_{th(c-f)}$	Case to Fin Per Module, Thermal Grease Applied	—	—	0.044	°C/Watt

**Recommended Conditions for Use**

Characteristic	Symbol	Condition	Value	Units
Supply Voltage	$V_{CC}$	Applied across P-N Terminals	0 ~ 800	Volts
	$V_D$	Applied between $V_{UP1}$ - $V_{UPC}$ , $V_{N1}$ - $V_{NC}$ , $V_{VP1}$ - $V_{VPC}$ , $V_{WP1}$ - $V_{WPC}$	$15 \pm 1.5$	Volts
Input ON Voltage	$V_{CIN(on)}$	Applied between $U_p, V_p, W_p, U_N, V_N, W_N, B_r$	0 ~ 0.8	Volts
Input OFF Voltage	$V_{CIN(off)}$	Using Application Circuit	4.0 ~ $V_D$	Volts
PWM Input Frequency	$f_{PWM}$	Input Signal	5 ~ 20	kHz
Minimum Dead Time	$t_{dead}$		$\geq 2.5$	$\mu s$



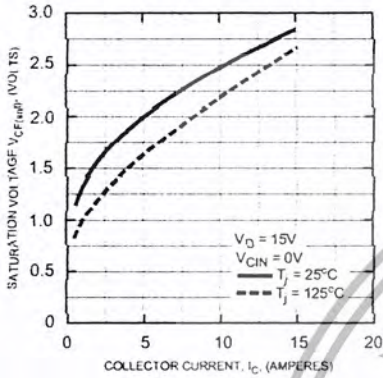
เอกสารนี้เป็นเอกสารที่สงวนไว้สำหรับการใช้งานที่องค์กรของคุณเท่านั้น ไม่อนุญาตให้นำไปใช้ประโยชน์ด้านการค้า  
ไม่ว่ากรณีใดๆ ทั้งสิ้น อีกทั้งห้ามมิให้ดัดแปลงเนื้อหา และต้องอ้างอิงถึงเจ้าของเอกสารทุกครั้งที่มีการนำไปใช้

PM10RSH120

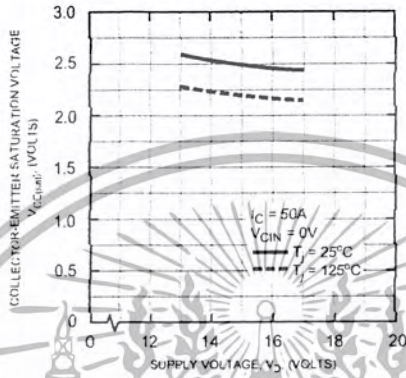
FLAT-BASE TYPE  
INSULATED PACKAGE

Inverter Part

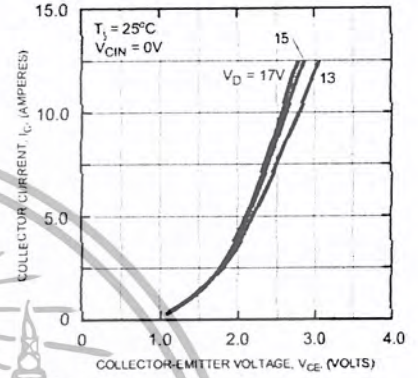
SATURATION VOLTAGE CHARACTERISTICS (TYPICAL)



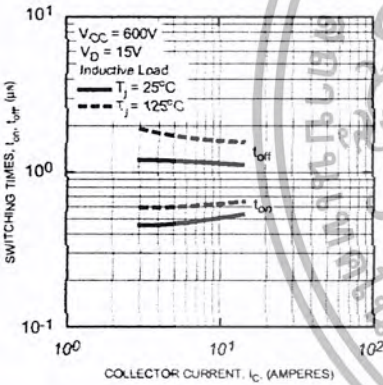
COLLECTOR-EMITTER SATURATION VOLTAGE CHARACTERISTICS (TYPICAL)



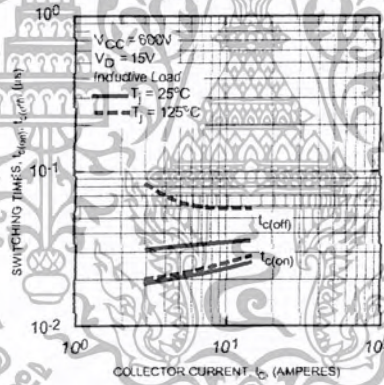
OUTPUT CHARACTERISTICS (TYPICAL)



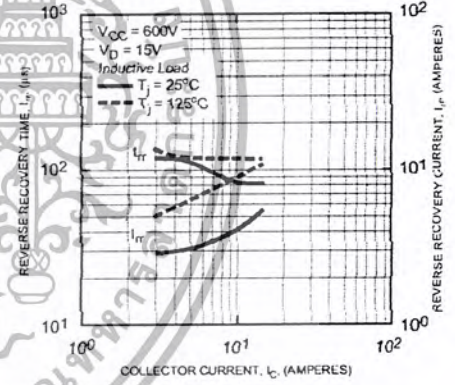
SWITCHING TIME VS. COLLECTOR CURRENT (TYPICAL)



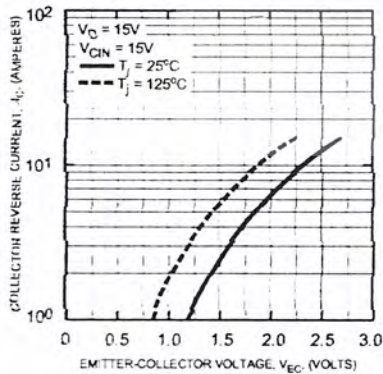
SWITCHING TIME VS. COLLECTOR CURRENT (TYPICAL)



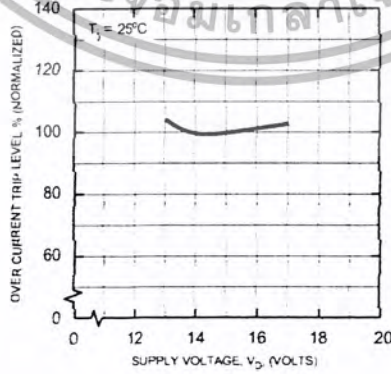
REVERSE RECOVERY CURRENT VS. COLLECTOR CURRENT (TYPICAL)



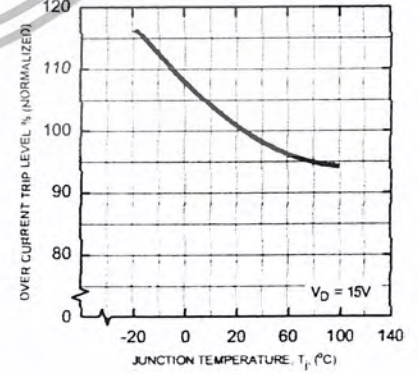
DIODE FORWARD CHARACTERISTICS



OVER CURRENT TRIP LEVEL VS. SUPPLY VOLTAGE (TYPICAL)

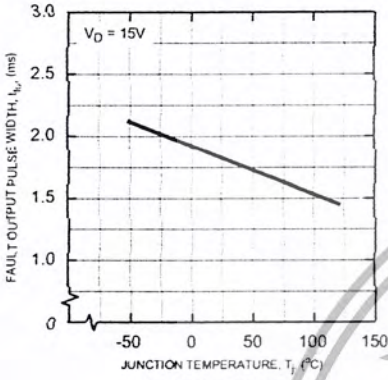


OVER CURRENT TRIP LEVEL VS. TEMPERATURE (TYPICAL)

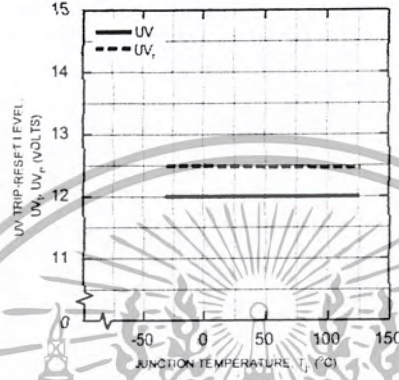


Inverter Part

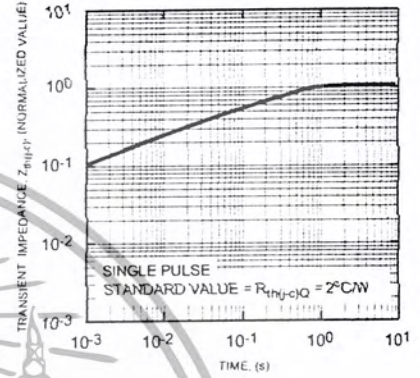
FAULT OUTPUT PULSE WIDTH VS. TEMPERATURE (TYPICAL)



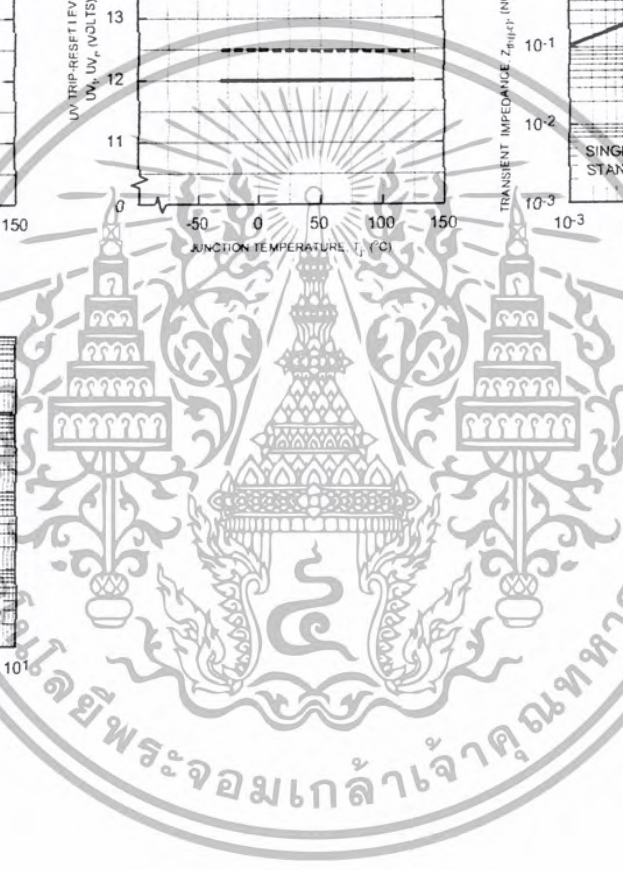
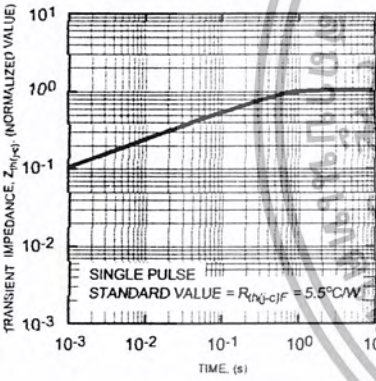
CONTROL SUPPLY VOLTAGE TRIP-RESET LEVEL TEMPERATURE DEPENDENCY (TYPICAL)



TRANSIENT THERMAL IMPEDANCE CHARACTERISTICS (Each IGBT)



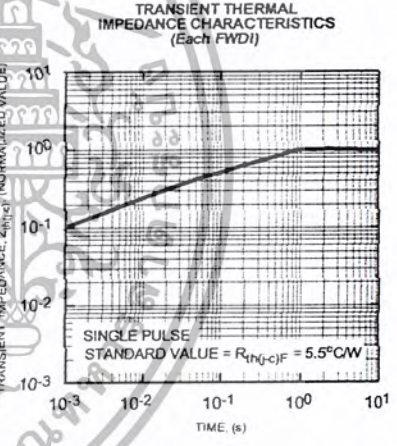
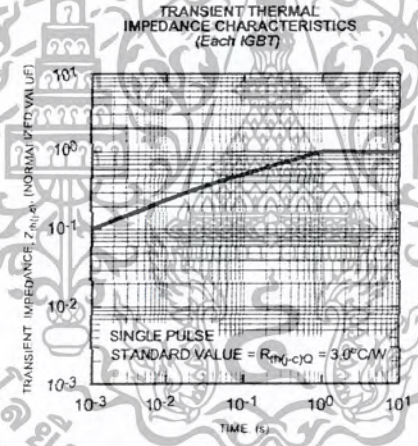
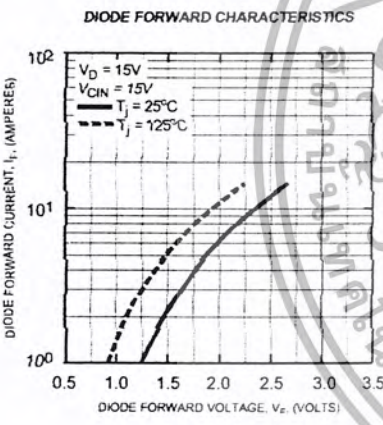
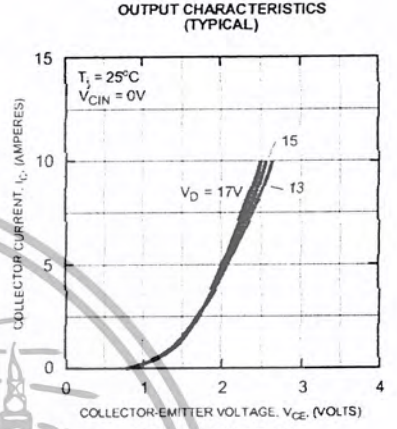
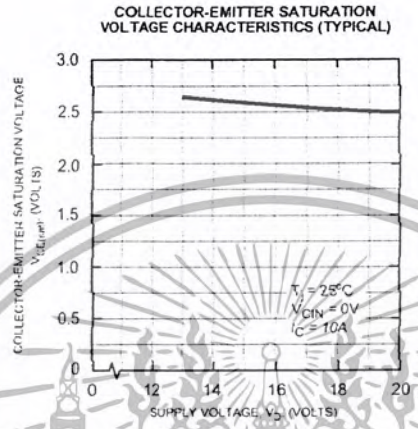
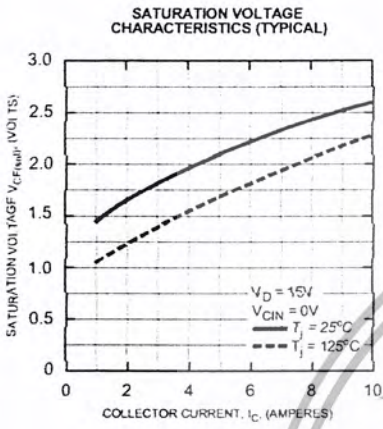
TRANSIENT THERMAL IMPEDANCE CHARACTERISTICS (Each FWD)



# PM10RSH120

FLAT-BASE TYPE  
INSULATED PACKAGE

Brake Part



เอกสารนี้เป็นเอกสารที่สงวนไว้สำหรับการใช้งานเพื่อการศึกษาเท่านั้น ไม่อนุญาตให้นำไปใช้ประโยชน์ทางการค้า  
ไม่ว่ากรณีใดๆ ทั้งสิ้น อีกทั้งห้ามมิให้ดัดแปลงเนื้อหา และต้องอ้างอิงถึงเจ้าของเอกสารทุกครั้งที่มีการนำไปใช้



## Stromwandler LA 25-NP

$I_{PN} = 5-6-8-12-25 \text{ A}$

Für die elektronische Strommessung : DC, AC, Impuls...,  
mit galvanischer Trennung zwischen dem Primärkreis  
(Starkstromkreis) und dem Sekundärkreis (elektronischer Kreis).



### Elektrische Daten

$I_{PN}$	Primärnennstrom, effektiv	25	At
$I_p$	Primärstrom, Messbereich	0 .. ± 36	At
$R_M$	Messwiderstand	$R_{M, \min}$ $R_{M, \max}$	
	mit ± 15 V	@ ± 25 At $R_{M, \max}$	100 320 Ω
		@ ± 36 At $R_{M, \min}$	100 190 Ω
$I_{SN}$	Sekundärnennstrom, effektiv	25	mA
$K_N$	Übersetzungsverhältnis	1-2-3-4-5 : 1000	
$V_C$	Versorgungsspannung (± 5 %)	± 15	V
$I_C$	Stromaufnahme	10 + $I_S$	mA
$V_d$	Prüfspannung, effektiv, 50 Hz, 1 mn	2.5	kV
$V_b$	Bemessungsspannung <sup>1)</sup> , sichere Trennung	600	V
	Basisisolierung	1700	V

### Eigenschaften

- Halleffekt - Mehrbereichskompensationswandler
- Gehäuse aus isolierendem selbstlöschendem Material UL 94-V0.

### Vorteile

- Hervorragende Messgenauigkeit
- Sehr gute Linearität
- Geringe Temperaturdrift
- Kurze Ansprechzeit
- Weiter Frequenzbereich
- Keine Zusatzverluste im Messkreis
- Geringe Störanfälligkeit gegenüber Fremdfeldern
- Überstehen Überströme ohne Schaden.

### Anwendungen

- Drehstrom- und Servoantriebe, Generatoren
- Stromrichter für Gleichstromantriebe
- Batteriebetriebene Anwendungen
- Unterbrechungsfreie Stromversorgungen (USV)
- Schaltnetzteile
- Stromversorgungen für Schweissanlagen.

### Genauigkeit - Dynamisches Verhalten

$X$	Genauigkeit @ $I_{PN}, T_A = 25^\circ\text{C}$	± 0.5	%
$\epsilon_L$	Linearität	< 0.2	%
$I_O$	Offsetstrom <sup>2)</sup> @ $I_p = 0, T_A = 25^\circ\text{C}$	Typ ± 0.05	Max ± 0.15 mA
$I_{OM}$	Reststrom <sup>3)</sup> @ $I_p = 0$ , als Folge eines Primärstroms von $3 \times I_{PN}$	± 0.05	± 0.15 mA
$I_{OT}$	Temperaturdrift von $I_O$	0°C .. + 25°C ± 0.06	± 0.25 mA
		+ 25°C .. + 70°C ± 0.10	± 0.35 mA
$t_r$	Ansprechzeit <sup>4)</sup> @ 90 % von $I_{p, \max}$	< 1	µs
$d/dt$	$d/dt$ bei optimaler Kopplung	> 50	A/µs
$f$	Frequenzbereich (-1 dB)	DC .. 150	kHz

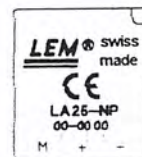
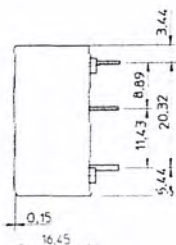
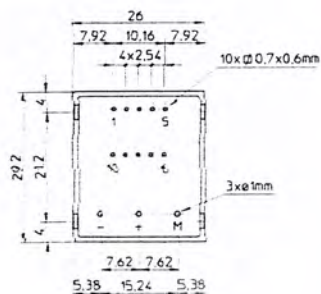
### Allgemeine Daten

$T_A$	Umgebungstemperatur	0 .. + 70	°C
$T_S$	Lagertemperatur	- 25 .. + 85	°C
$R_p$	Widerstand einer Primärwindung @ $T_A = 25^\circ\text{C}$	< 1.25	mΩ
$R_s$	Sekundärspulenwiderstand @ $T_A = 70^\circ\text{C}$	110	Ω
$R_{iS}$	Isolationswiderstand @ 500 V, $T_A = 25^\circ\text{C}$	> 1500	MΩ
$m$	Masse	22	g
	Normen <sup>5)</sup>	EN 50178	

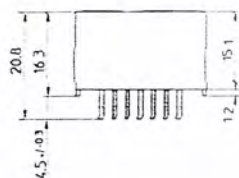
- Anmerkungen : <sup>1)</sup> Verschmutzungsgrad 2  
<sup>2)</sup> 15 mn nach Anlegen der Speisespannung gemessen  
<sup>3)</sup> Folge des Koerzitivfeldes des Magnetkreises  
<sup>4)</sup> Mit einem  $d/dt$  von 100 A/µs  
<sup>5)</sup> Die Liste der durchgeführten Versuche ist auf Anfrage erhältlich

980908/8

# Abmessungen LA 25-NP (in mm)



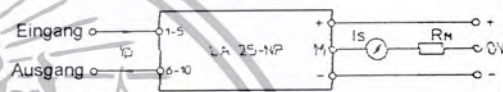
Standard 00  
oder N° SP...  
Jahr Woche



## Sekundäranschlüsse

## Anschlussbeispiel

Klemme + : Versorgungsspannung +15 V  
Klemme M : Messausgang  
Klemme - : Versorgungsspannung -15 V



Anzahl Primärwindungen	Primärstrom		Ausgangsstrom nominal $I_{SN}$ [mA]	Übersetzungsverhältnis $K_N$	Primärwiderstand $R_p$ [ $m\Omega$ ]	Primärinduktivität $L_p$ [ $\mu H$ ]	Empfohlene Verbindungen
	nominal $I_{PN}$ [A]	maximal $I_p$ [A]					
1	25	36	25	1/1000	0.3	0.023	5 4 3 2 1 IN OUT 6 7 8 9 10
2	12	18	24	2/1000	1.1	0.09	5 4 3 2 1 IN OUT 6 7 8 9 10
3	8	12	24	3/1000	2.5	0.21	5 4 3 2 1 IN OUT 6 7 8 9 10
4	6	9	24	4/1000	4.4	0.37	5 4 3 2 1 IN OUT 6 7 8 9 10
5	5	7	25	5/1000	6.3	0.58	5 4 3 2 1 IN OUT 6 7 8 9 10

## Mechanische Eigenschaften

## Bemerkungen

- Allgemeine Toleranz:  $\pm 0.2$  mm
- Befestigung und Primäranschlüsse: 10 Stifte, 0.7 x 0.6 mm
- Befestigung und Sekundäranschlüsse: 3 Stifte,  $\emptyset 1$  mm
- Empfohlener Bohrungsdurchmesser: 1.2 mm

- $I_s$  ist positiv, wenn  $I_p$  von den Anschlüssen 1, 2, 3, 4, 5 zu den Anschlüssen 10, 9, 8, 7, 6 fließt.
- Dieser Wandler ist ein Standardmodell. Sollten davon abweichende Parameter (Versorgungsspannung, Übersetzungsverhältnis, unipolare Messungen...) benötigt werden, nehmen Sie bitte Kontakt mit uns auf.

LEM behält sich das Recht vor, Änderungen im Sinne einer Verbesserung vorzunehmen, ohne Sie zu informieren.

เอกสารนี้เป็นเอกสารที่สงวนไว้สำหรับการใช้งานเพื่อการศึกษาเท่านั้น ไม่อนุญาตให้นำไปใช้ประโยชน์ด้านการค้า ไม่ว่ากรณีใดๆ ทั้งสิ้น อีกทั้งห้ามมิให้ดัดแปลงเนื้อหา และต้องอ้างอิงถึงเจ้าของเอกสารทุกครั้งที่มีการนำไปใช้

# ภาคผนวก ข.โปรแกรมรวม



เอกสารนี้เป็นเอกสารที่สงวนไว้สำหรับการใช้งานเพื่อการศึกษาเท่านั้น ไม่อนุญาตให้นำไปใช้ประโยชน์ด้านการค้า  
ไม่ว่ากรณีใดๆ ทั้งสิ้น อีกทั้งห้ามมิให้ตัดแปลงเนื้อหา และต้องอ้างอิงถึงเจ้าของเอกสารทุกครั้งที่มีการนำไปใช้

```

;*****
; File Name      :      nntest.asm
; Originator    :      nn_9@hotmail.com
; Target System  :      TMS320LF2406
;
; Description    :      Pulse Width Modulator (Basic)
;
;                                     for an symmetric PWM output. The output is a
;
;                                     square wave PWM mod with sinwave.
;
;                                     Period of Fs is 100.0us => 10kHz
;*****

```

```

.title "pwmsin"

.include 2406.h

.ref SYS_INIT

.ref PORT_INIT

.ref system_flag

.ref SEND_DATA

.ref data_out0,data_out1,data_out2
.ref data_out3,data_out4,data_out5
.ref data_out6,data_out7

.ref RAMP_GEN, RAMP_GEN_INIT           ;function call
    .ref  rmp_gain, rmp_offset, rmp_freq ;Inputs
.ref  step_angle_max                    ;Input
.ref  rmp_out                            ;Outputs

.ref  I_PARK, I_PARK_INIT                ;function call
.ref  ipark_D, ipark_Q, theta_ip         ;Inputs
.ref  ipark_d, ipark_q                   ;Outputs

```



เอกสารนี้เป็นเอกสารที่สงวนไว้สำหรับการใช้งานเพื่อการศึกษาเท่านั้น ไม่อนุญาตให้นำไปใช้ประโยชน์ด้านการค้า  
 ไม่ว่ากรณีใดๆ ทั้งสิ้น อีกทั้งห้ามมิให้ตัดแปลงเนื้อหา และต้องอ้างอิงถึงเจ้าของเอกสารทุกครั้งที่มีการนำไปใช้

```

;ref DAC_VIEW_DRV,DAC_VIEW_DRV_INIT ; function call
;ref DAC_IPTR0,DAC_IPTR1,DAC_IPTR2,DAC_IPTR3 ; Inputs

.ref SVGEN_DQ,SVGEN_DQ_INIT ;function call
.ref Ualfa,Ubeta ;Inputs
.ref Ta,Tb,Tc ;Outputs

.ref FC_PWM_DRV,FC_PWM_DRV_INIT ;function calls
.ref Mfunc_c1,Mfunc_c2,Mfunc_c3,Mfunc_p ;Inputs
.ref n_period ;Input

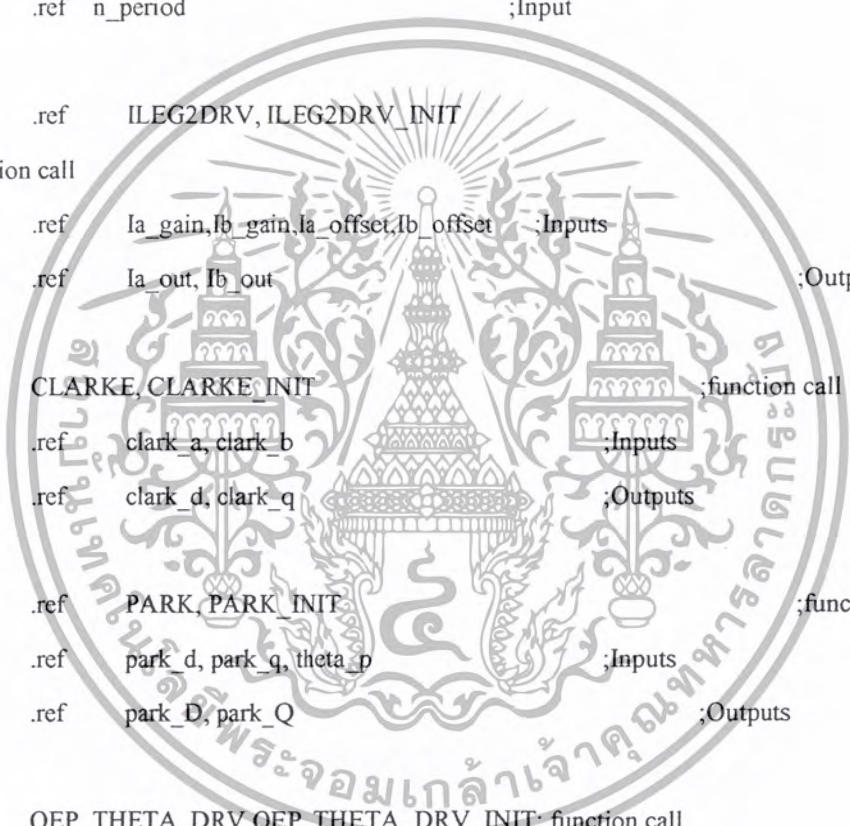
.ref ILEG2DRV, ILEG2DRV_INIT
;function call
.ref Ia_gain,Ib_gain,Ia_offset,Ib_offset ;Inputs
.ref Ia_out, Ib_out ;Outputs
.ref CLARKE, CLARKE_INIT ;function call
.ref clark_a, clark_b ;Inputs
.ref clark_d, clark_q ;Outputs
.ref PARK, PARK_INIT ;function call
.ref park_d, park_q, theta_p ;Inputs
.ref park_D, park_Q ;Outputs

.ref QEP_THETA_DRV,QEP_THETA_DRV_INIT; function call
.ref polepairs,cal_angle,mech_scale ; Inputs
.ref theta_elec,theta_mech,dir_QEP ; Outputs

.ref QEP_INDEX_ISR_DRV ; function call
.ref index_sync_flg,QEP_cnt_idx ; Output

.ref SPEED_FRQ, SPEED_FRQ_INIT ;function call
.ref shaft_angle, direction ;Inputs
.ref speed_frq, speed_frq_rpm ;Outputs

```



เอกสารนี้เป็นเอกสารที่สงวนไว้สำหรับการใช้งานเพื่อการศึกษาเท่านั้น ไม่อนุญาตให้นำไปใช้ประโยชน์ด้านการค้า  
 ไม่ว่ากรณีใดๆ ทั้งสิ้น อีกทั้งห้ามมิให้ตัดแปลงเนื้อหา และต้องอ้างอิงถึงเจ้าของเอกสารทุกครั้งที่มีการนำไปใช้

```
.def GPR0 ;General purpose registers.
```

```
.bss GPR0,1 ;General purpose register
```

```
.bss my_iq_ref,1
```

```
.bss my_id_ref,1
```

```
.bss speed_reference,1
```

```
.bss isr_ticker,1
```

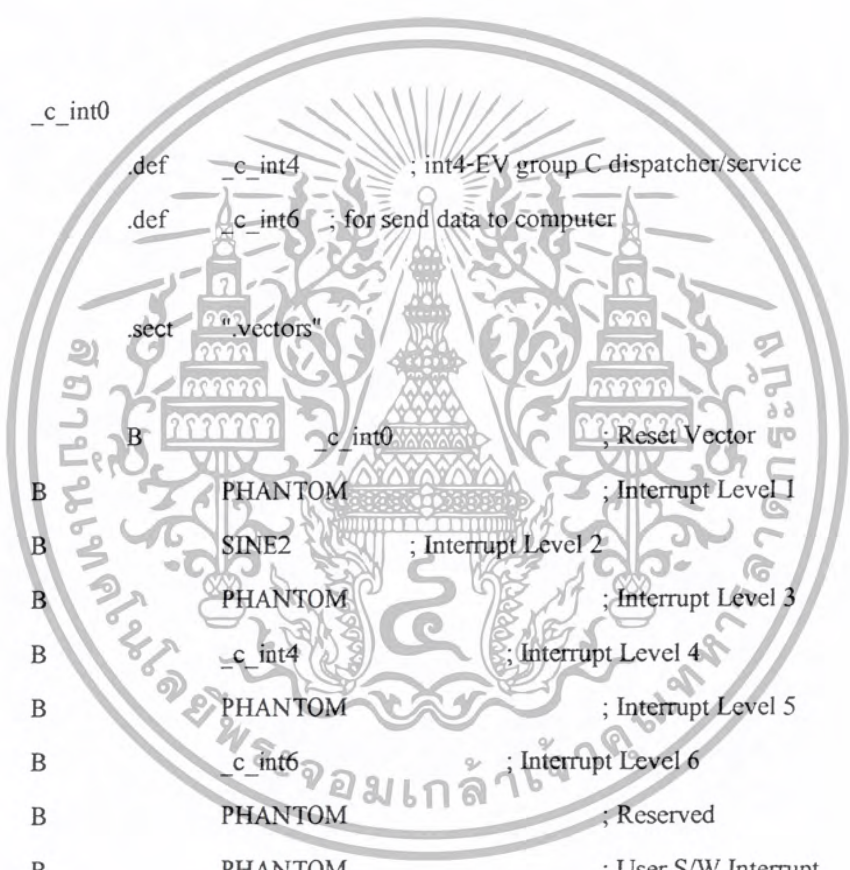
```
.def _c_int0
```

```
.def _c_int4 ; int4-EV group C dispatcher/service
```

```
.def _c_int6 ; for send data to computer
```

```
.sect ".vectors"
```

```
RSVECT B _c_int0 ; Reset Vector
INT1 B PHANTOM ; Interrupt Level 1
INT2 B SINE2 ; Interrupt Level 2
INT3 B PHANTOM ; Interrupt Level 3
INT4 B _c_int4 ; Interrupt Level 4
INT5 B PHANTOM ; Interrupt Level 5
INT6 B _c_int6 ; Interrupt Level 6
RESERVED B PHANTOM ; Reserved
SW_INT8 B PHANTOM ; User S/W Interrupt
SW_INT9 B PHANTOM ; User S/W Interrupt
SW_INT10 B PHANTOM ; User S/W Interrupt
SW_INT11 B PHANTOM ; User S/W Interrupt
SW_INT12 B PHANTOM ; User S/W Interrupt
SW_INT13 B PHANTOM ; User S/W Interrupt
SW_INT14 B PHANTOM ; User S/W Interrupt
SW_INT15 B PHANTOM ; User S/W Interrupt
SW_INT16 B PHANTOM ; User S/W Interrupt
```



เอกสารนี้เป็นเอกสารที่สงวนไว้สำหรับการใช้งานเพื่อการศึกษาเท่านั้น ไม่อนุญาตให้นำไปใช้ประโยชน์ด้านการค้า  
ไม่ว่ากรณีใดๆ ทั้งสิ้น อีกทั้งห้ามมิให้ตัดแปลงเนื้อหา และต้องอ้างอิงถึงเจ้าของเอกสารทุกครั้งที่มีการนำไปใช้

```

TRAP      B          PHANTOM          ; Trap vector
NMINT     B          PHANTOM          ; Non-maskable Interrupt
EMU_TRAP  B          PHANTOM          ; Emulator Trap
SW_INT20  B          PHANTOM          ; User S/W Interrupt
SW_INT21  B          PHANTOM          ; User S/W Interrupt
SW_INT22  B          PHANTOM          ; User S/W Interrupt
SW_INT23  B          PHANTOM          ; User S/W Interrupt

```

```

;=====
; M A C R O - Definitions
;=====

```

```

KICK_DOG  .macro          ; Watchdog reset macro
LDP #00E0h ; DP=>7000h-707Fh
SPLK #05555h,WDKEY
SPLK #0AAAAh,WDKEY
LDP #0h ; DP=>0000h-007Fh
.endm

```

```

;=====
; M A I N C O D E - starts here
;=====

```

```

; CNF = 1. B0 is used for program space.
; CNF = 0. B0 is used for data space.

```

```

.text

```

```

_c_int0:  CALL SYS_INIT
;        CALL PORT_INIT

```

```

PWM_PERIOD .set 200 ; PWM period in uS (10KHz)

```

เอกสารนี้เป็นเอกสารที่สงวนไว้สำหรับการใช้งานเพื่อการศึกษาเท่านั้น ไม่อนุญาตให้นำไปใช้ประโยชน์ด้านการค้า  
ไม่ว่ากรณีใดๆ ทั้งสิ้น อีกทั้งห้ามมิให้ตัดแปลงเนื้อหา และต้องอ้างอิงถึงเจ้าของเอกสารทุกครั้งที่มีการนำไปใช้

```
TIPER_ .set PWM_PERIOD*10 ; *1000nS/(2*50nS)
;TIPER_ .set PWM_PERIOD*20 ; *1000nS/(2*25nS)
```

```
*****
```

```
CALL RAMP_GEN_INIT
CALL FC_PWM_DRV_INIT
```

```
CALL I_PARK_INIT
CALL SVGEN_DQ_INIT
CALL ILEG2DRV_INIT
CALL CLARKE_INIT
CALL PARK_INIT
CALL QEP_THETA_DRV_INIT
CALL SPEED_FRQ_INIT
```

```
; DAC display
```

```
; LDP #DAC_IPTR0
; SPLK #rmp_out,DAC_IPTR0
; LDP #DAC_IPTR1
; SPLK #ipark_d,DAC_IPTR1
; LDP #DAC_IPTR2
; SPLK #ipark_q,DAC_IPTR2
; LDP #DAC_IPTR3
; SPLK #Ta,DAC_IPTR3
```

```
LDP #n_period
```

```
SPLK #TIPER_n_period; initialize the PWM period to 10kHz
```

```
LDP #rmp_freq
```

```
;SPLK #5400h,rmp_freq; 100Hz frequency for RAMPGEN
```



เอกสารนี้เป็นเอกสารที่สงวนไว้สำหรับการใช้งานเพื่อการศึกษาเท่านั้น ไม่อนุญาตให้นำไปใช้ประโยชน์ด้านการค้า  
ไม่ว่ากรณีใดๆ ทั้งสิ้น อีกทั้งห้ามมิให้ตัดแปลงเนื้อหา และต้องอ้างอิงถึงเจ้าของเอกสารทุกครั้งที่มีการนำไปใช้

```
;SPLK #3F00h,rmp_freq; 75Hz frequency for RAMPGEN
```

```
SPLK #2A00h,rmp_freq; 50Hz frequency for RAMPGEN
```

```
;SPLK #1500h,rmp_freq; 25Hz frequency for RAMPGEN
```

```
LDP #my_iq_ref
```

```
SPLK #0000h,my_iq_ref
```

```
LDP #my_id_ref
```

```
SPLK #0000h,my_id_ref
```

```
LDP #speed_reference
```

```
SPLK #0000h,speed_reference
```

```
CALL PORT_INIT
```

```
-----  
; Generate Sine Wave Modulated PWM  
-----
```

```
lo_freq .set 5376 ; 1500
```

```
hi_freq .set 16128 ;3F00
```

```
.text
```

```
LDP #system_flag
```

```
SPLK #0FFFh,system_flag
```

```
LDP #0
```

```
; DP
```

```
= 0
```

```
CLRC INTM
```

```
; Enable
```

```
interrupts
```

```
LDP #0E8h
```

```
;5432109876543210
```

เอกสารนี้เป็นเอกสารที่สงวนไว้สำหรับการใช้งานเพื่อการศึกษาเท่านั้น ไม่อนุญาตให้นำไปใช้ประโยชน์ด้านการค้า  
ไม่ว่ากรณีใดๆ ทั้งสิ้น อีกทั้งห้ามมิให้ตัดแปลงเนื้อหา และต้องอ้างอิงถึงเจ้าของเอกสารทุกครั้งที่มีการนำไปใช้

```
; SPLK #1000100001000010b,TICON
;END B END ; End of
Program
```

```
=====
MAIN: ;Main system background loop
=====
```

```
M_1 NOP
NOP
NOP
CLRC XF
B MAIN
```

```
=====
; Routine Name: T1_PERIOD_ISR Routine Type: ISR
```

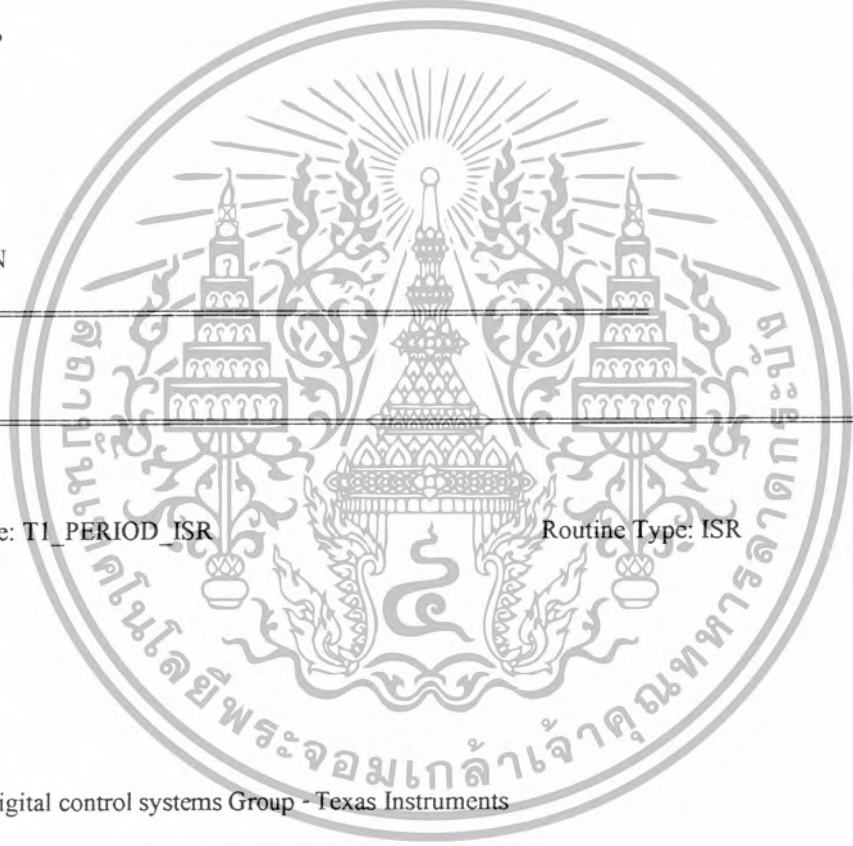
```
; Description:
```

```
; Originator: Digital control systems Group - Texas Instruments
```

```
; History:
```

```
; Last Update: 13-Jan 00
=====
```

```
SINE2:
;Context save regs
```



เอกสารนี้เป็นเอกสารที่สงวนไว้สำหรับการใช้งานเพื่อการศึกษาเท่านั้น ไม่อนุญาตให้นำไปใช้ประโยชน์ด้านการค้า  
ไม่ว่ากรณีใดๆ ทั้งสิ้น อีกทั้งห้ามมิให้ตัดแปลงเนื้อหา และต้องอ้างอิงถึงเจ้าของเอกสารทุกครั้งที่มีการนำไปใช้

## POINT\_PG0

MAR \*,ARI ;ARI is stack pointer

MAR \*+ ;skip one position

SST #1, \*+ ;save ST1

SST #0, \*+ ;save ST0

SACH \*+ ;save acc high

SACL \* ;save acc low

## POINT\_EV

SPLK #0FFFFh,IFRA ; Clear all Group A interrupt flags (T1 ISR)

SETC XF

SETC SXM ; set sign extension mode

CLRC OVM ; clear overflow mode

## POINT\_B0

;verifying the ISR

LDP #isr\_ticker

LACC isr\_ticker

ADD #0001h

SACL isr\_ticker

;2710 as 1 cycle for 10khz

;4e20 as 2 cycle for 10khz

;7530 as 3 cycle for 10khz

## POINT\_PF2

LACL PFDATDIR

AND #000FFh

LDP #system\_flag

AND system\_flag

SACL system\_flag

## POINT\_PF2

SPLK #0h,PFDATDIR



```

LDP          #isr_ticker
LACC isr_ticker
SUB          #3000h
BCND NEQ_20K,NEQ
LDP          #isr_ticker
SPLK #0h,isr_ticker

```

```

LDP          #system_flag

```

```

CHK_INC:          ;chk_inc for increment motor frequency

```

```

LDP          #system_flag

```

```

BIT          system_flag,BIT1

```

```

BCND CHK_DEC,TC

```

```

LDP          #rmp_freq

```

```

LACL rmp_freq

```

```

SUB          #hi_freq

```

```

BCND NO_CHG_FREQ,GEQ

```

```

LACL rmp_freq

```

```

ADD          #00D7h

```

```

SACL rmp_freq

```

```

LDP          #system_flag

```

```

SPLK #0FFFh,system_flag

```

```

B          OUT_CHG_FREQ

```

```

CHK_DEC:          ;chk_dec for decrement motor frequency

```

```

LDP          #system_flag

```

```

BIT          system_flag,BIT0

```

```

BCND OUT_CHG_FREQ,TC

```

```

LDP          #rmp_freq

```

```

LACL rmp_freq

```

```

SUB          #lo_freq

```

```

BCND NO_CHG_FREQ,LEQ

```

```

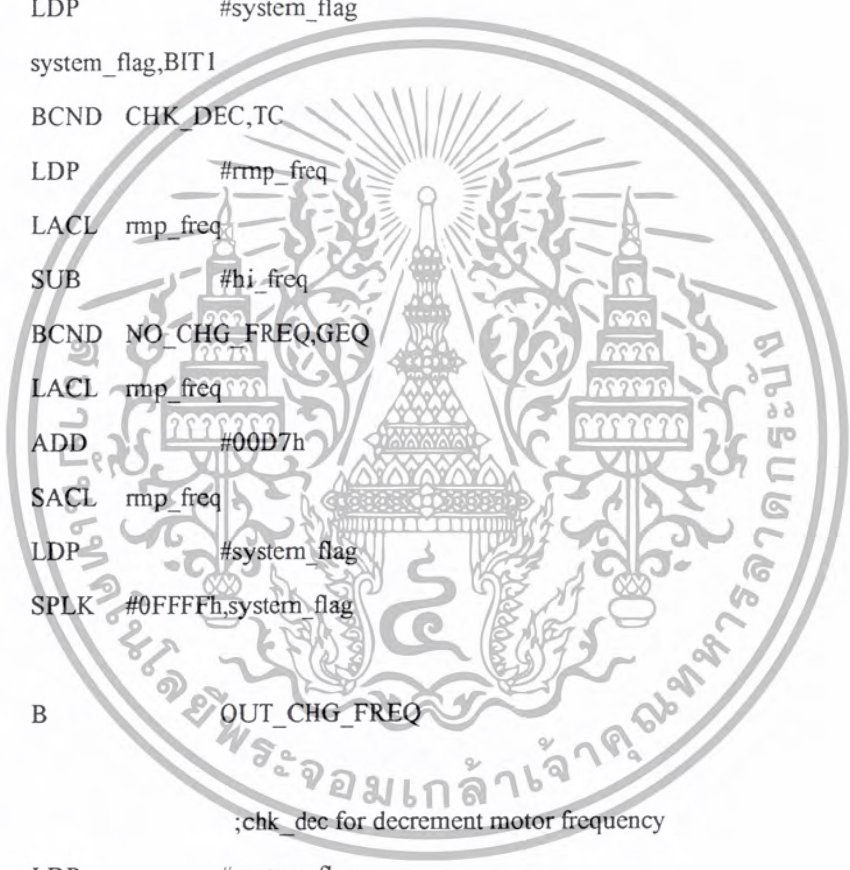
LACL rmp_freq

```

```

SUB          #00D7h

```



เอกสารนี้เป็นเอกสารที่สงวนไว้สำหรับการใช้งานเพื่อการศึกษาเท่านั้น ไม่อนุญาตให้นำไปใช้ประโยชน์ด้านการค้า  
 ไม่ว่ากรณีใดๆ ทั้งสิ้น อีกทั้งห้ามมิให้ตัดแปลงเนื้อหา และต้องอ้างอิงถึงเจ้าของเอกสารทุกครั้งที่มีการนำไปใช้

SACL rmp\_freq

OUT\_CHG\_FREQ:

NO\_CHG\_FREQ:

LDP #system\_flag

SPLK #0FFFFh,system\_flag

NEQ\_20K:

=====

;Start main section of ISR

=====

; Current leg measurement, Ileg2drv module

CALL ILEG2DRV

; Clarke module

LDP #clark\_a

BLDD #Ia\_out,clark\_a

BLDD #Ib\_out,clark\_b

CALL CLARKE

; QEP Module

CALL QEP\_THETA\_DRV

; SPEED\_FR Module

LDP #shaft\_angle

BLDD #theta\_mech,shaft\_angle

BLDD #dir\_QEP,direction

CALL SPEED\_FRQ

; PARK module

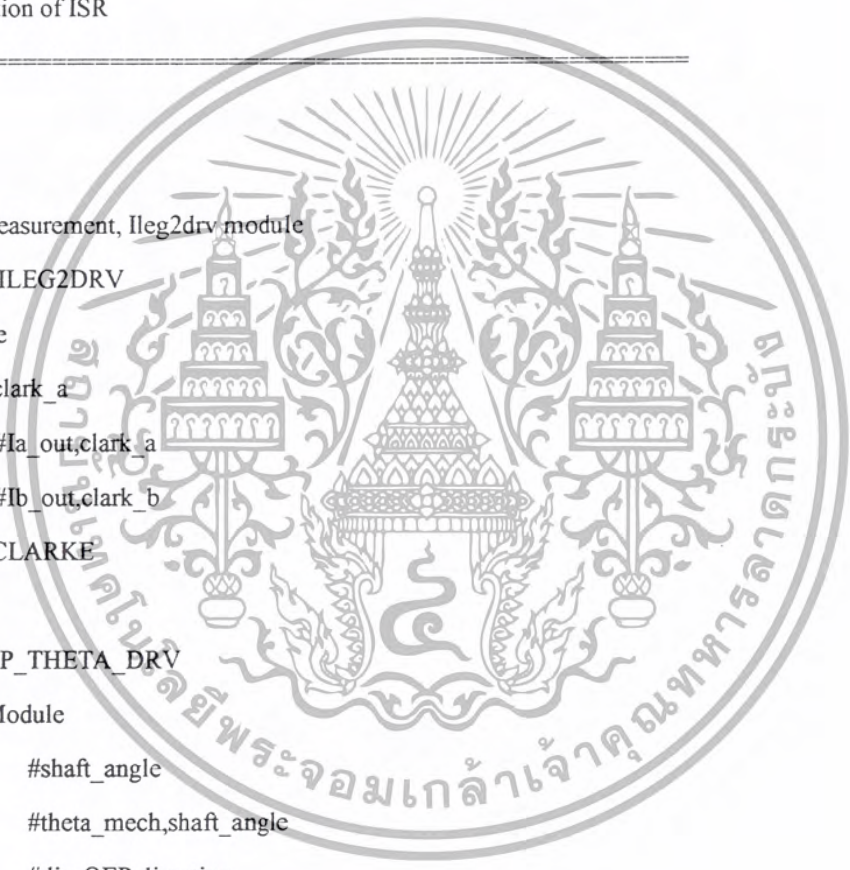
LDP #park\_d

BLDD #clark\_d,park\_d

BLDD #clark\_q,park\_q

BLDD #rmp\_out,theta\_p

CALL PARK



เอกสารนี้เป็นเอกสารที่สงวนไว้สำหรับการใช้งานเพื่อการศึกษาเท่านั้น ไม่อนุญาตให้นำไปใช้ประโยชน์ด้านการค้า  
ไม่ว่ากรณีใดๆ ทั้งสิ้น อีกทั้งห้ามมิให้ตัดแปลงเนื้อหา และต้องอ้างอิงถึงเจ้าของเอกสารทุกครั้งที่มีการนำไปใช้

```

; Ramp generation module
    CALL RAMP_GEN

; Inverse-Park module
    LDP          #theta_ip
    BLDD #rmp_out,theta_ip

    CALL I_PARK

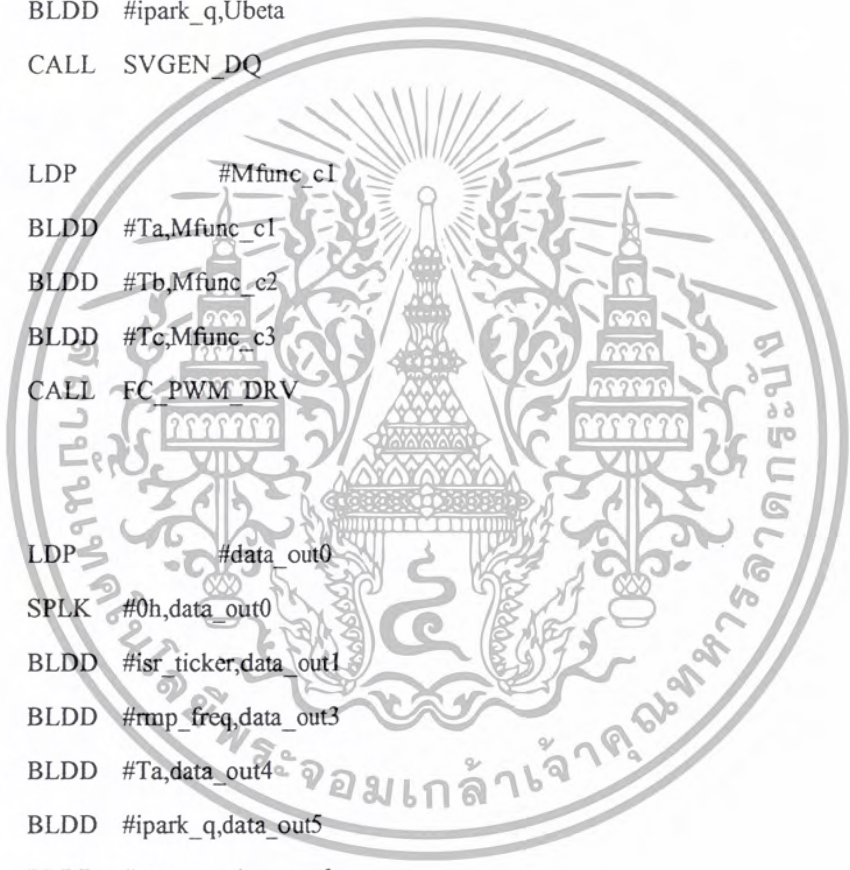
; Space-Vector DQ module
    LDP          #Ualfa
    BLDD #ipark_d,Ualfa
    BLDD #ipark_q,Ubeta
    CALL SVGEN_DQ

; PWM driver
    LDP          #Mfunc_c1
    BLDD #Ta,Mfunc_c1
    BLDD #Tb,Mfunc_c2
    BLDD #Tc,Mfunc_c3
    CALL FC_PWM_DRV

;DATA OUT
    LDP          #data_out0
    SPLK #0h,data_out0
    BLDD #isr_ticker,data_out1
    BLDD #rmp_freq,data_out3
    BLDD #Ta,data_out4
    BLDD #ipark_q,data_out5
    BLDD #rmp_out,data_out6
    BLDD #rmp_out,data_out7
    CALL READ_DATA
    CALL SEND_DATA

END_ISR:
    POINT_PG0

```



เอกสารนี้เป็นเอกสารที่สงวนไว้สำหรับการใช้งานเพื่อการศึกษาเท่านั้น ไม่อนุญาตให้นำไปใช้ประโยชน์ด้านการค้า  
 ไม่ว่ากรณีใดๆ ทั้งสิ้น อีกทั้งห้ามมิให้ตัดแปลงเนื้อหา และต้องอ้างอิงถึงเจ้าของเอกสารทุกครั้งที่มีการนำไปใช้

```
MAR *,ARI ;make stack pointer active
```

```
LACL *- ;Restore Acc low
```

```
ADDH *- ;Restore Acc high
```

```
LST #0, *- ;load ST0
```

```
LST #1, *- ;load ST1
```

```
EINT
```

```
RET
```

```
*****
```

```
* INT4 - EV group C Ints
```

```
* Enabled: Capture 3 int as QEP index
```

```
*****
```

```
CAP3_ID .set 035H ; Capture 3 int vector ID
```

```
CAP3_CLR .set 04H ; Capture 3 int flag clear
```

```
_c_int4
```

```
MAR *,ARI ; Save context
```

```
MAR *+ ; point to a guaranteed unused location
```

```
SST #1, *+ ; save ST1
```

```
SST #0, *+ ; save ST0
```

```
SACH *+ ; save acc high
```

```
SACL *+ ; save acc low and point to an unused loca.
```

```
;More context save if needed
```

```
.if x243 | x2407
```

```
LDP #PIVR>>7 ; set DP
```

```
LACC PIVR ; load peripheral int vector/ID/offset
```

```
.endif
```

```
.if x240
```

```
LDP #EVIVRC>>7
```

เอกสารนี้เป็นเอกสารที่สงวนไว้สำหรับการใช้งานเพื่อการศึกษาเท่านั้น ไม่อนุญาตให้นำไปใช้ประโยชน์ด้านการค้า  
ไม่ว่ากรณีใดๆ ทั้งสิ้น อีกทั้งห้ามมิให้ดัดแปลงเนื้อหา และต้องอ้างอิงถึงเจ้าของเอกสารทุกครั้งที่มีการนำไปใช้

```

IACC  EVIVRC
.endif

SUB   #CAP3_ID           ; Capture I int?
BCND  CAP3_INT,EQ       ; to PDPISR if zero
CALL  PHANTOM           ; got a phantom int if not
B     REST_INT4         ; return

```

CAP3\_INT

```

.if   x243 | x2407

LDP   #EVIFRC>>7
SPLK  #CAP3_CLR,EVIFRC  ; Clear Capture I int flag
.endif

```

```

CALL  QEP_INDEX_ISR_DRV ; QEP index routine

```

=====  
;End main section of ISR INT4 -EV GROUP C INTS  
=====

;Context restore regs

REST\_INT4

```

;More context restore if needed
MAR   *,AR1             ; make stack pointer active
MAR   *-                ; point to top of stack
LACL  *-                ; Restore Acc low
add   *-,16             ; Restore Acc high
LST   #0, *-            ; restore ST0
LST   #1, *-            ; restore ST1 and pointer
EINT
RET                                       ; return

```

\*\*\*\*\*

\* INT6 - XINT2 Ints

\* Enabled: External 2 int as IOPD0,MCRB.8

เอกสารนี้เป็นเอกสารที่สงวนไว้สำหรับการใช้งานเพื่อการศึกษาเท่านั้น ไม่อนุญาตให้นำไปใช้ประโยชน์ด้านการค้า  
ไม่ว่ากรณีใดๆ ทั้งสิ้น อีกทั้งห้ามมิให้ตัดแปลงเนื้อหา และต้องอ้างอิงถึงเจ้าของเอกสารทุกครั้งที่มีการนำไปใช้

\* For send data form dsp up to computer

\*\*\*\*\*

\_c\_int6

```
MAR    *,ARI          ; Save context
MAR    *+             ; point to a guaranteed unused location
SST    #1, *+        ; save ST1
SST    #0, *+        ; save ST0
SACH   *+            ; save acc high
SACL   *+             ; save acc low and point to an unused loca.
```

```
;More context save if needed
```

```
=====
;End main section of send data to computer
```

```
=====
;Context restore regs
```

```
REST_INT6 ;More context restore if needed
MAR    *,ARI          ; make stack pointer active
MAR    *-             ; point to top of stack
LACL   *-             ; Restore Acc low
add    *-,16          ; Restore Acc.high
LST    #0, *-        ; restore ST0
LST    #1, *-        ; restore ST1 and pointer
EINT
RET                    ; return
```

```
=====
; I S R - PHANTOM
```

เอกสารนี้เป็นเอกสารที่สงวนไว้สำหรับการใช้งานเพื่อการศึกษาเท่านั้น ไม่อนุญาตให้นำไปใช้ประโยชน์ด้านการค้า  
ไม่ว่ากรณีใดๆ ทั้งสิ้น อีกทั้งห้ามมิให้ตัดแปลงเนื้อหา และต้องอ้างอิงถึงเจ้าของเอกสารทุกครั้งที่มีการนำไปใช้

; Description: Dummy ISR, used to trap spurious interrupts.

;

; Modifies: Nothing

;

; Last Update: 9/11/2002

```
PHANTOM    KICK_DOG                ;Resets WD counter
           B    PHANTOM
```

READ\_DATA

```
POINT_PF2
LACC  PEDATDIR,4
AND   #0F00h
LDP   #data_out2
SACH  data_out2

LACC  data_out2
SUB   #01h
BCND  NOT_1,NEQ
BLDD  #ipark_d,data_out2
B     END_READ
```

NOT\_1:

```
LACC  #data_out2
SUB   #02h
BCND  NOT_2,NEQ
BLDD  #ipark_q,data_out2
B     END_READ
```

NOT\_2:

```
LACC  #data_out2
SUB   #03h
BCND  NOT_3,NEQ
```

เอกสารนี้เป็นเอกสารที่สงวนไว้สำหรับการใช้งานเพื่อการศึกษาเท่านั้น ไม่อนุญาตให้นำไปใช้ประโยชน์ด้านการค้า  
ไม่ว่ากรณีใดๆ ทั้งสิ้น อีกทั้งห้ามมิให้ดัดแปลงเนื้อหา และต้องอ้างอิงถึงเจ้าของเอกสารทุกครั้งที่มีการนำไปใช้

```
BLDD #Ta,data_out2
B END_READ
```

NOT\_3:

```
LACC #data_out2
SUB #04h
BCND NOT_4,NEQ
BLDD #Tb,data_out2
B END_READ
```

NOT\_4:

```
LACC #data_out2
SUB #05h
BCND NOT_5,NEQ
BLDD #Tc,data_out2
B END_READ
```

NOT\_5:

```
LACC #data_out2
SUB #06h
BCND NOT_6,NEQ
BLDD #Ia_out,data_out2
B END_READ
```

NOT\_6:

```
LACC #data_out2
SUB #07h
BCND NOT_7,NEQ
BLDD #Ib_out,data_out2
B END_READ
```

NOT\_7:

;recive command

```
LACC #data_out2
SUB #09h
BCND NOT_9,NEQ
LDP #system_flag
```



เอกสารนี้เป็นเอกสารที่สงวนไว้สำหรับการใช้งานเพื่อการศึกษาเท่านั้น ไม่อนุญาตให้นำไปใช้ประโยชน์ด้านการค้า  
ไม่ว่ากรณีใดๆ ทั้งสิ้น อีกทั้งห้ามมิให้ตัดแปลงเนื้อหา และต้องอ้างอิงถึงเจ้าของเอกสารทุกครั้งที่มีการนำไปใช้

LACC system\_flag  
AND #00FEh  
SACL system\_flag  
B END\_READ

NOT\_9:

LACC #data\_out2  
SUB #0Ah  
BCND NOT\_A,NEQ  
LDP #system\_flag  
LACC system\_flag  
AND #00FDh  
SACL system\_flag  
B END\_READ

NOT\_A:

LACC #data\_out2  
SUB #0Bh  
BCND NOT\_B,NEQ  
LDP #ipark\_D  
LACC ipark\_D  
SUB #0001h  
SACL ipark\_D  
BCND NOT\_IPD\_0,NEQ  
SPLK #0001h,ipark\_D

NOT\_IPD\_0:

B END\_READ

NOT\_B:

LACC #data\_out2  
SUB #0Ch  
BCND NOT\_C,NEQ  
LDP #ipark\_D  
LACC ipark\_D  
SUB #0FFFEh  
BCND NOT\_IPD\_F,NEQ  
SPLK #0FFFEh,ipark\_D



เอกสารนี้เป็นเอกสารที่สงวนไว้สำหรับการใช้งานเพื่อการศึกษาเท่านั้น ไม่อนุญาตให้นำไปใช้ประโยชน์ด้านการค้า  
ไม่ว่ากรณีใดๆ ทั้งสิ้น อีกทั้งห้ามมิให้ตัดแปลงเนื้อหา และต้องอ้างอิงถึงเจ้าของเอกสารทุกครั้งที่มีการนำไปใช้

```

B      END_READ
NOT_IPD_F:
      LACC  ipark_D
      ADD   #0001h
      SACL  ipark_D
      B      END_READ
NOT_C:
      LACC  #data_out2
      SUB   #0Dh
      BCND  NOT_D,NEQ
      LDP   #ipark_Q
      LACC  ipark_Q
      SUB   #0001h
      BCND  NOT_IPQ_0,NEQ
      SPLK  #0001h,ipark_Q
NOT_IPQ_0:
      B      END_READ
NOT_D:
      LACC  #data_out2
      SUB   #0Eh
      BCND  NOT_E,NEQ
      LDP   #ipark_Q
      LACC  ipark_Q
      SUB   #0FFFEh
      BCND  NOT_IPQ_F,NEQ
      SPLK  #0FFFEh,ipark_Q
      B      END_READ
NOT_IPQ_F:
      LACC  #ipark_Q
      ADD   #0001h
      SACL  ipark_Q
      B      END_READ
NOT_E:
      LACC  #data_out2

```



เอกสารนี้เป็นเอกสารที่สงวนไว้สำหรับการใช้งานเพื่อการศึกษาเท่านั้น ไม่อนุญาตให้นำไปใช้ประโยชน์ด้านการค้า  
 ไม่ว่ากรณีใดๆ ทั้งสิ้น อีกทั้งห้ามมิให้ตัดแปลงเนื้อหา และต้องอ้างอิงถึงเจ้าของเอกสารทุกครั้งที่มีการนำไปใช้

SUB #0Fh  
BCND NOT\_F,NEQ  
LDP #system\_flag  
LACC system\_flag  
AND #00FBh  
SACL system\_flag  
B END\_READ

NOT\_F:

END\_READ:

RET



เอกสารนี้เป็นเอกสารที่สงวนไว้สำหรับการใช้งานเพื่อการศึกษาเท่านั้น ไม่อนุญาตให้นำไปใช้ประโยชน์ด้านการค้า  
ไม่ว่ากรณีใดๆ ทั้งสิ้น อีกทั้งห้ามมิให้ตัดแปลงเนื้อหา และต้องอ้างอิงถึงเจ้าของเอกสารทุกครั้งที่มีการนำไปใช้

## เอกสารอ้างอิง

- (1) กฤษดา วิศวกรรมรานนท์ , “ Inverter หลักการทำงานและเทคนิคการใช้งาน ”, คณะวิศวกรรมศาสตร์ จุฬาลงกรณ์มหาวิทยาลัย , 2536
- (2) เชมิดคอนดักเตอร์ อิเล็กทรอนิกส์ , “ เข้าใจ/สร้าง/เล่น ไมโครโปรเซสเซอร์ ” , 2538
- (3) Umiversal Cross-Asseblers, “ Cross-32 Meta-Assembler for MS-DOS User's guide ” , Canada , 1993
- (4) Yi Zhang , Saed Sobhani , Rahul Chokhawala , “ Snubber Considerations for IGBT Applications ” , International Rectifier , 1993
- (5) โสภณ สมัยรัฐ , “ ระบบควบคุมมอเตอร์เหนี่ยวนำแบบเวกเตอร์ด้วยไมโครคอนโทรลเลอร์ ” , คณะวิศวกรรมศาสตร์ จุฬาลงกรณ์มหาวิทยาลัย , 2541



เอกสารนี้เป็นเอกสารที่สงวนไว้สำหรับการใช้งานเพื่อการศึกษาเท่านั้น ไม่อนุญาตให้นำไปใช้ประโยชน์ด้านการค้า  
ไม่ว่ากรณีใดๆ ทั้งสิ้น อีกทั้งห้ามมิให้ตัดแปลงเนื้อหา และต้องอ้างอิงถึงเจ้าของเอกสารทุกครั้งที่มีการนำไปใช้